

Milano Serravalle Milano Tangenziali S.p.A.



Tronco

A52 - TANGENZIALE NORD DI MILANO

Oggetto

Potenziamento interconnessione A4-A52 ramo di svincolo tra A4 dir. Torino e A52 dir. Rho e svincolo Monza S. Alessandro - Opera connessa Olimpiadi 2026

CUP: -

Fase progettuale

PROGETTO ESECUTIVO

LA CONCEDENTE



Ministero delle Infrastrutture e dei Trasporti
DIPARTIMENTO PER LE INFRASTRUTTURE, GLI AFFARI GENERALI ED IL PERSONALE
STRUTTURA DI VIGILANZA SULLE CONCESSIONARIE AUTOSTRADALI

LA CONCESSIONARIA



MILANO SERRAVALLE
MILANO TANGENZIALI S.p.A
IL DIRETTORE TECNICO
dott. ing. Giuseppe Colombo

Il progettista



Descrizione elaborato

STR - PARTE STRUTTURALE E GEOTECNICA

Relazione di calcolo tratto TR02 interferenza con galleria esistente

REV.	DATA	DESCRIZIONE	REDATTO	VERIFICATO	APPROVATO
A	28/02/2023	EMISSIONE	Ext	M.Mariani	M.Mariani
B	30/11/2023	REVISIONE	Ext	M.Tomasin	M.Mariani
C	-	-	-	-	-
D	-	-	-	-	-
E	-	-	-	-	-

Codifica elaborato

5	0	2	3	E	S	T	R	1	0	2	R	0	X	X	T	R	0	2	X	B
Codice	Fase	Ambito	Progressivo	Tipo	Lotto	Zona	Opera	Tratto	Rev											

Scala

-

IL PRESENTE DOCUMENTO NON POTRA' ESSERE COPIATO, RIPRODOTTO O ALTRIMENTI PUBBLICATO, IN TUTTO O IN PARTE, SENZA IL CONSENSO SCRITTO DELLA MILANO SERRAVALLE MILANO TANGENZIALI S.p.A..
OGNI UTILIZZO NON AUTORIZZATO SARÀ PERSEGUITO A NORMA DI LEGGE.

THIS DOCUMENT MAY NOT BE COPIED, REPRODUCED OR PUBLISHED, EITHER IN PART OR IN ITS ENTIRETY, WITHOUT THE WRITTEN PERMISSION OF MILANO SERRAVALLE MILANO TANGENZIALI S.p.A..
UNAUTHORIZED USE WILL BE PROSECUTE BY LAW.

POTENZIAMENTO INTERCONNESSIONE A52 – A4 RAMO DI SVINCOLO
 TRA A4 DIR. TORINO E A52 DIR. RHO E SVINCOLO MONZA S.
 ALESSANDRO – OPERA CONNESSA OLIMPIADI 2026

POTENZIAMENTO INTERCONNESSIONE A52 – A4

Relazione di calcolo tratto TR02 interferenza con galleria esistente

	Description	Phase
Project	POTENZIAMENTO INTERCONNESSIONE A52 – A4	-
Client	Milano Serravalle Engineering S.r.l.	-
Document ID		B

	Author	Rev
Written	Michele Civiero	B
Verified	Michele Civiero	B
Approved	Paolo Cucino	B

This document is the property of SWS and may only be used for the purpose for which it is supplied. Reproduction or use of the information thereon, in whole or in part, is strictly prohibited without the express written permission of SWS.

SWS Template ver.01

Status and History of the Document		
Revision	Description of main modifications	Date
B	Seconda emissione	03/11/2023
00A	Preliminary delivery of the document	08/03/2023

INDICE

1 GENERALITA'	5
1.1 Inquadramento generale dell'opera	5
1.2 Oggetto specifico della relazione	5
2 DOCUMENTI DI RIFERIMENTO	6
2.1 Normativa di riferimento	6
2.2 Elaborati di riferimento	6
2.3 Software utilizzati	6
3 INDAGINI STORICA DELLA GALLERIA esistente	7
4 CARATTERISTICHE DEI MATERIALI	14
4.1 Specifiche tecniche dei materiali esistenti	14
4.2 Specifiche tecniche dei materiali utilizzati	15
4.3 Classe di esposizione e copriferri	17
5 CARATTERIZZAZIONE GEOLOGICA – GEOTECNICA	18
5.1 Inquadramento geologico	18
5.2 Inquadramento geomorfologico	18
5.3 Inquadramento idrogeologico	19
5.4 Indagini geotecniche	19
6 CARATTERIZZAZIONE SISMICA DEL SITO	21
6.1 Pericolosità sismica	21
6.2 RISPOSTA SISMICA	23
6.2.1 <i>Categoria di sottosuolo e categoria topografica</i>	25
6.2.2 <i>Azione sismica di progetto</i>	26
7 ANALISI STRUTTURALE	27
7.1 SEZIONE DI CALCOLO	27
7.2 MODELLAZIONE STRUTTURALE	27
7.3 Azioni della neve	30
7.4 Azione sismica	31
7.5 AZIONI	32
7.6 RESISTENZE	32
7.7 ANALISI CARICHI	33
7.8 RISULTATI DELLE ANALISI	35
7.8.1 <i>Verifiche STR – trave di copertura</i>	40
7.8.2 <i>Verifiche STR – piedritto laterale</i>	41

7.8.3 Verifiche STR – piedritto centrale	43
7.8.4 Verifiche STR – muro.....	43
7.8.5 Verifiche – puntone.....	45
8 CONCLUSIONI	47
9 ALLEGATI	48
9.1 OUTPUT MIDAS GEN	48
9.1.1 Fase 1 – con puntone.....	48
9.1.2 Fase finale.....	82
9.2 AFFIDABILITA' DEL CODICE DI CALCOLO MIDAS GEN	118

1 GENERALITA'

1.1 INQUADRAMENTO GENERALE DELL'OPERA

Oggetto della presente relazione è la progettazione degli interventi di potenziamento dell'interconnessione A52 – A4 relativamente allo snodo di collegamento tra la A4 e la SS36 funzionale alle Olimpiadi del 2026. In particolare, sono stati sintetizzati gli aspetti progettuali principali per la tratta di opera compresa tra le progressive km. 0+580 e km. 0+613 circa, analizzando l'interferenza con le strutture esistenti della galleria San Rocco Per un tratto di circa 24m.

L'andamento del tracciato risulta pressoché parallelo all'attuale galleria San Rocco, lungo il ramo 1 del corpo stradale principale. L'opera consiste in un tratto a trincea con diaframmi in c.a. gettati in opera per il lato nord, soletta di fondo che costituisce la fondazione del muro di irrigidimento da realizzarsi in corrispondenza del piedritto laterale della Galleria esistente San Rocco.

Per quanto concerne le fasi costruttive, si prevede di realizzare l'opera mediante il metodo Milano, consentendo di minimizzare i volumi di scavo e di conseguenza le interferenze con la viabilità locale.

1.2 OGGETTO SPECIFICO DELLA RELAZIONE

Nel presente documento si riportano le caratteristiche delle opere esistenti interferenti le fasi realizzative degli interventi di potenziamento dell'interconnessione A52 -A4 relativamente allo snodo di collegamento tra A4 e la SS36, e le relative soluzioni progettuali proposte nell'ambito della progettazione. Vengono descritte e verificate le parti strutturali costituenti l'opera sopraccitata e vengono definite le modalità di esecuzione della stessa.

Le verifiche sono state condotte in accordo con il metodo semiprobabilistico degli stati limite secondo quanto indicato dalle NTC2018 (Rif. [1]) e dalla relativa circolare applicativa del 2019 (Rif. [2]).

L'elaborato in oggetto è stato realizzato con lo scopo di definire nella zona di interesse:

- Le soluzioni progettuali e soddisfare le verifiche di dimensionamento delle opere di sostegno e della galleria artificiale e le verifiche sulle opere esistenti nella configurazione di scavo e finale dell'opera nel suo complesso;

2 DOCUMENTI DI RIFERIMENTO

2.1 NORMATIVA DI RIFERIMENTO

- [1] D.M. 17 gennaio 2018 Aggiornamento delle “Norme tecniche per le costruzioni”;
- [2] Circolare 21 gennaio 2018 Istruzione per l’applicazione dell’aggiornamento delle “Norme tecniche per le costruzioni”;

2.2 ELABORATI DI RIFERIMENTO

- [3] Elaborato 5023 P GEO 001 R 0 XX XXXX X A “Relazione geologica – geotecnica – sismica” a supporto dello studio di fattibilità tecnica ed economica;
- [4] Elaborato “Sezioni geotecniche parallele al tracciato LA, LB, LC e LD” - “Consulenza geologica ed esecuzioni indagini geognostiche da espletarsi nell’ambito della progettazione definitiva - esecutiva per il Potenziamento interconnessione A52-A4 ramo di svincolo tra A4 dir. Torino e A52 dir. Rho e svincolo Monza S. Alessandro - opera connessa Olimpiadi 2026”, Rev. 0 – Aprile 2022;
- [5] Elaborato 4115 E STR 103R 5 D0 GA01 2 A “Analisi di vulnerabilità statica e sismica San Rocco – pk. 4+603 – Relazione interpretativa delle indagini”;
- [6] Elaborato 4115 E STR 101R 5 D0 GA01 2 A “Analisi di vulnerabilità statica e sismica San Rocco – pk. 4+603 – Relazione di Vulnerabilità”.

Costituiscono parte integrante di quanto esposto nel presente documento, l’insieme degli elaborati di progetto specifici relativi alle opere in esame e riportati in elenco elaborati.

2.3 SOFTWARE UTILIZZATI

I documenti correlati, la cui lettura è consigliata per allargare la conoscenza dell’ambito del quale il presente documento si inquadra, sono:

- [7] MIDAS Gen 2022– Manuale d’uso

3 INDAGINI STORICA DELLA GALLERIA ESISTENTE

La galleria artificiale San Rocco fa parte della Tangenziale Nord di Milano (AA52) ed è lunga circa 500 metri. La viabilità in copertura non ha subito modifiche significative rispetto al progetto originale. Ci sono quattro attraversamenti in copertura, di cui tre stradali e uno ferroviario che utilizza un sovrappasso strutturale. Nel documento [5] è presentata l'analisi di vulnerabilità della galleria artificiale e le analisi hanno preso in considerazione l'attraversamento di Via Guglielmo Marconi identificandolo come la sezione più critica su cui condurre le verifiche. La scelta risulta tale in quanto la strada, a due corsie per senso di marcia, attraversa la galleria trasversalmente nel punto in cui gli elementi strutturali della copertura hanno maggiore luce. Dalle verifiche svolte i carichi del traffico costituiscono una delle sfide maggiori per la struttura esistente. L'analisi condotte in precedenza si sono occupate di analizzare la sezione trasversale corrente, che è caratterizzata da larghezza totale paria a 28.5m con due canne identiche costituite da diaframmi laterali, piedritti centrali, posizionati in modo speculare, e due travi di copertura prefabbricate di luce 12.5m. La nuova costruzione, necessaria per il potenziamento comporta l'interferenza con una porzione di tale manufatto. In particolare, l'interferenza è localizzata nel tratto più a ovest della galleria, in prossimità dell'attraversamento ferroviario. In questa zona, a causa della preesistente presenza dell'infrastruttura ferroviaria si rese necessario adottare l'installazione di un manufatto a spinta, costruito in due conci e spinti uno dal lato Est (Milano) e l'altro dal lato ovest (Meda).

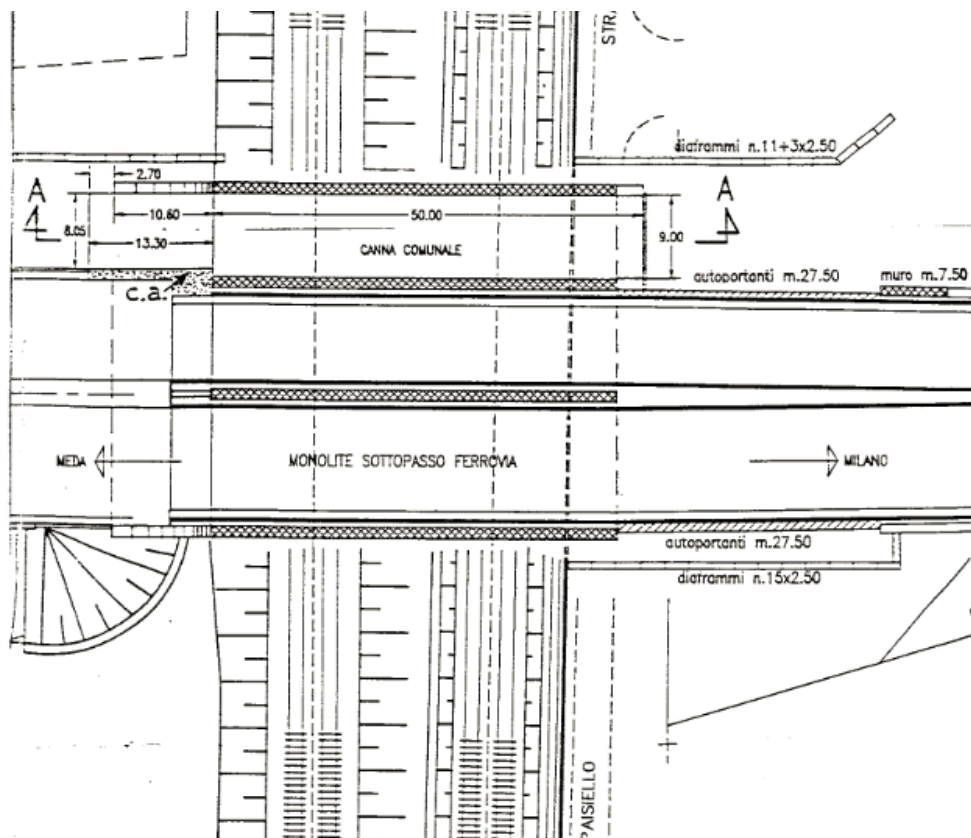


Figura 3-1: Estratto tavole di progetto originali con indicazione della zona di installazione dei monoliti.

Mentre il lato indicato in figura 3 come Meda, nel layout stradale definitivo si trovava a cielo aperto il tratto direzione Milano faceva già parte del tratto in galleria. La realizzazione della galleria artificiale in questa zona è

caratterizzata da una zona di transizione geometrica di raccordo tra le dimensioni del monolite e le dimensioni della sezione a correre realizzata con la tecnica top down. Questo tratto di artificiale è stato realizzato mediante l'impiego di piedritti autoportanti, con prefabbricazione ibrida costituita da due piedritti laterali, con post tensione, un piedritto centrale costituito da due casseri a perdere resi solidali con un getto di completamento e la copertura costituita da travi prefabbricate, pre e post tese, a nervatura rovescia con getto di completamento in opera. Nella immagine che segue si riportano le due sezioni di progetto caratterizzate da luci differenti che si raccordano appunto tra i due manufatti principali.

Sezione tipo tratto compreso tra sez. 259b-259c

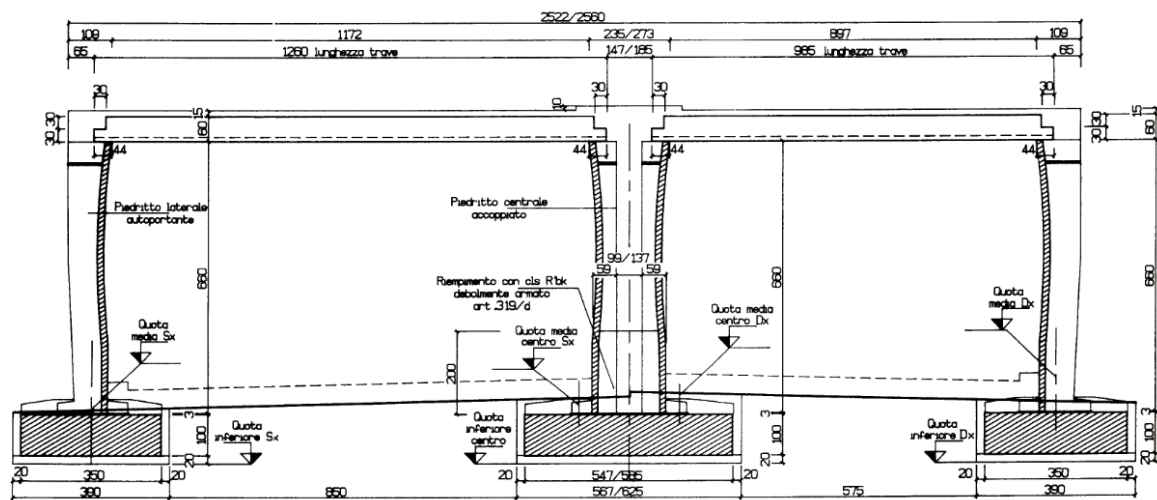


Figura 3-2: Estratto tavole di progetto originali Sezione tipo tratto con elementi prefabbricati autoportanti

Sezione tipo tratto compreso tra sez. 259c-259d

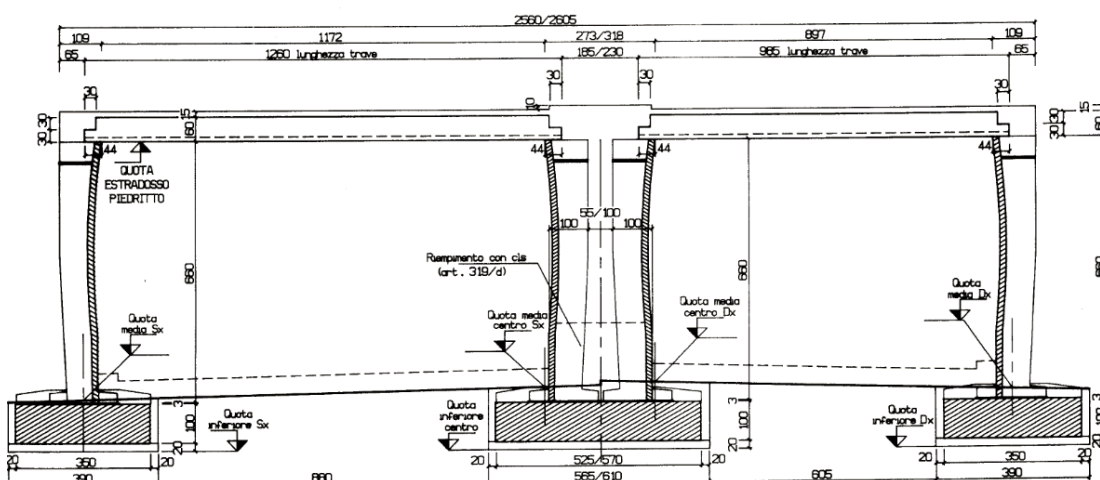
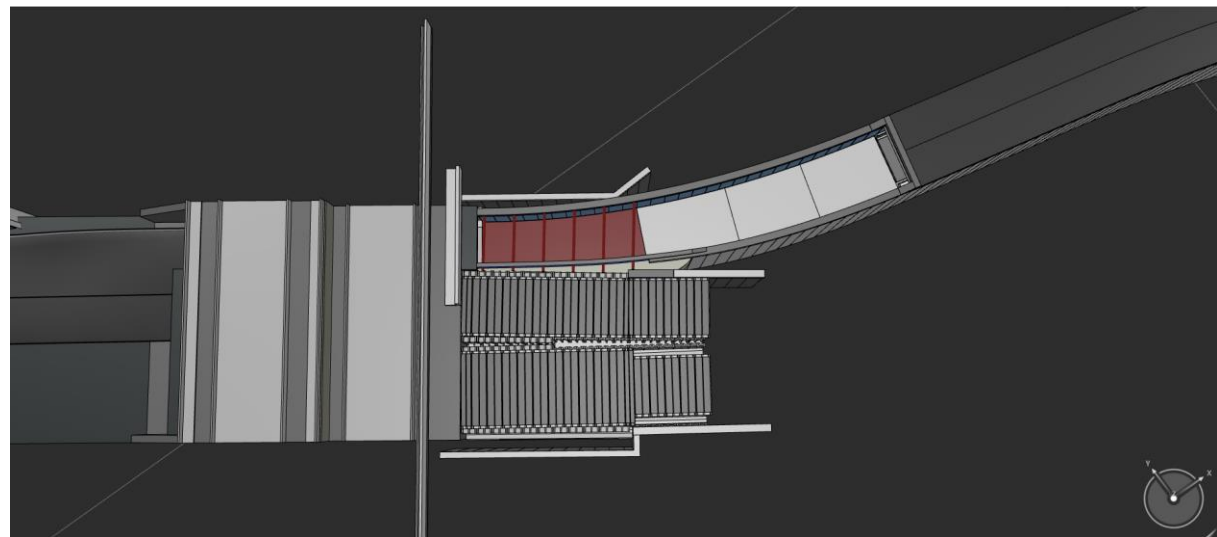
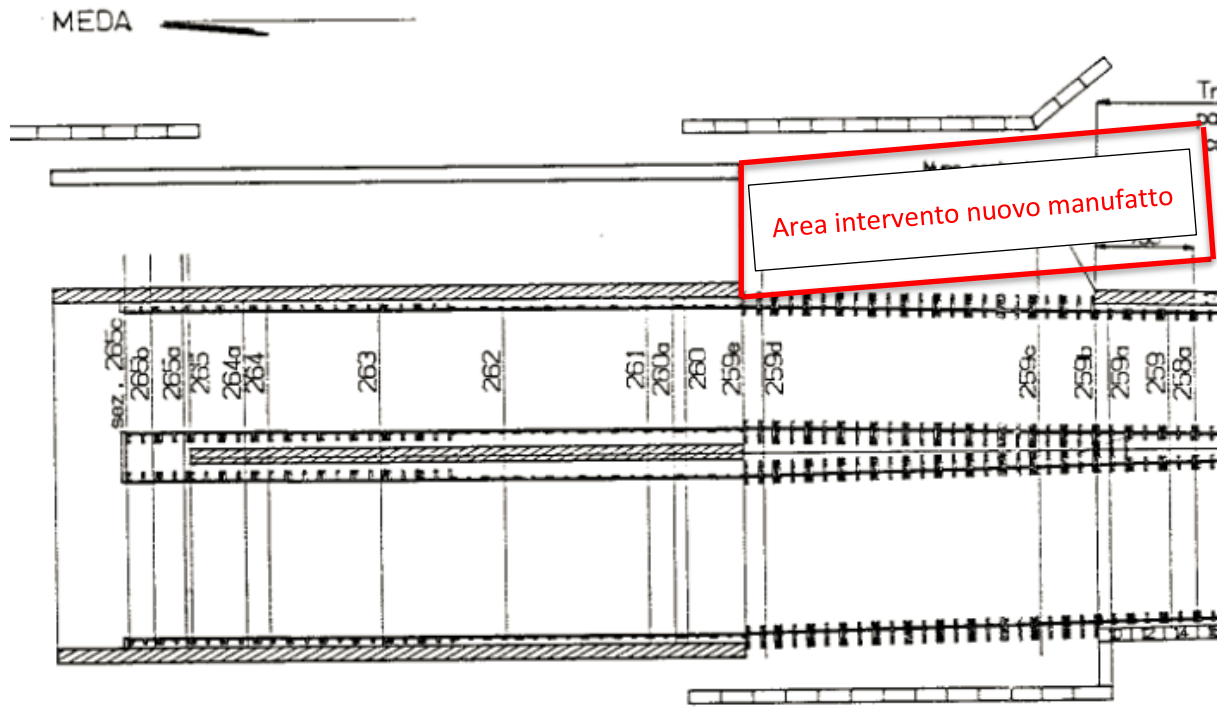


Figura 3-3: Estratto tavole di progetto originali Sezione tipo tratto con elementi prefabbricati autoportanti

Il nuovo manufatto si va ad inserire tra i diaframmi esistenti posti a Nord ed il piedritto laterale sino ad andare in tangenza con lo stesso raccordandosi con canna comunale esistente, come schematizzato nell'immagine che segue.



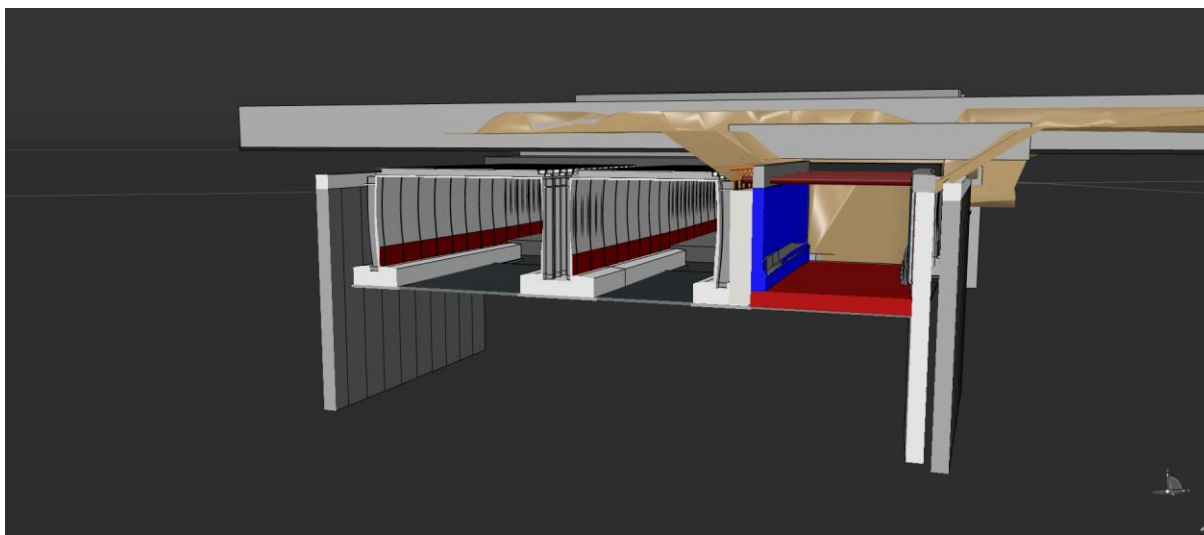
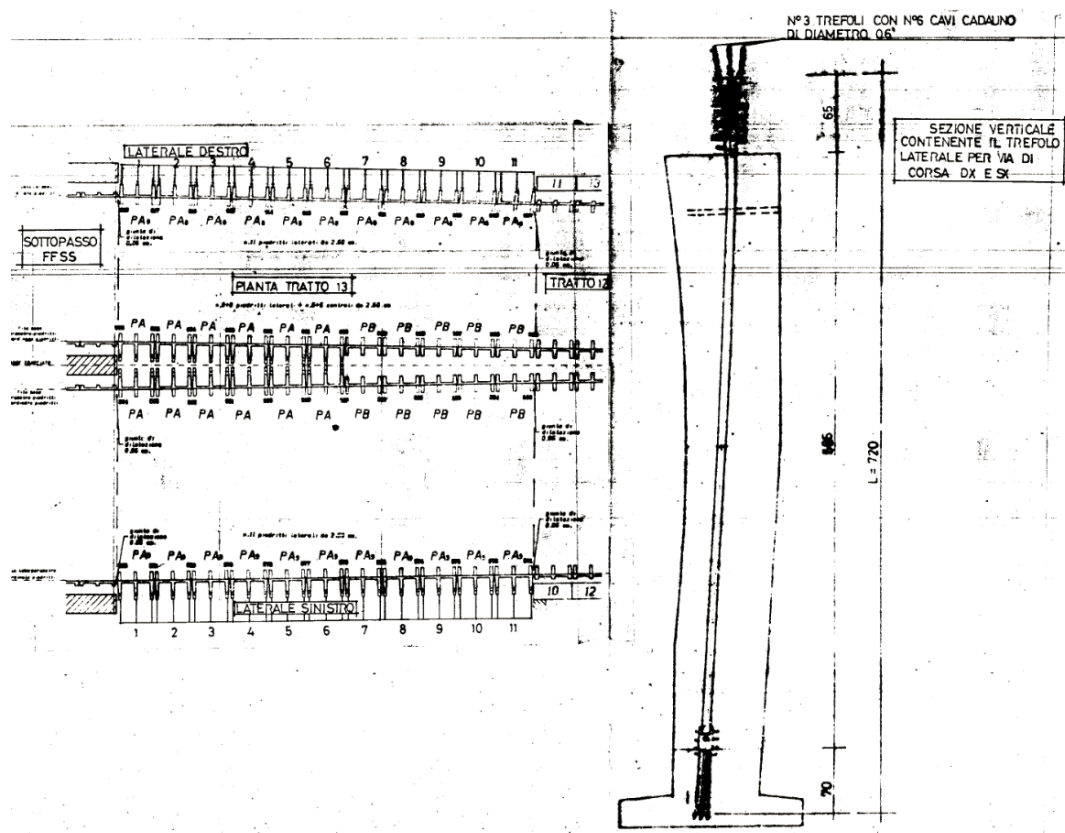


Figura 3-4: Schematizzazione della zona di interferenza con il manufatto esistente.

Nella figura che segue sono riportati i dettagli dei piedritti laterali, che prevedono il getto di completamento e la post tensione, questi elementi hanno sezione variabili, composta da tre nervature e un paramento di 14-16 cm di spessore. Questi elementi contengono un sistema di post-tensione, costituito da tre trefoli con sei cavi diametro 0.6".



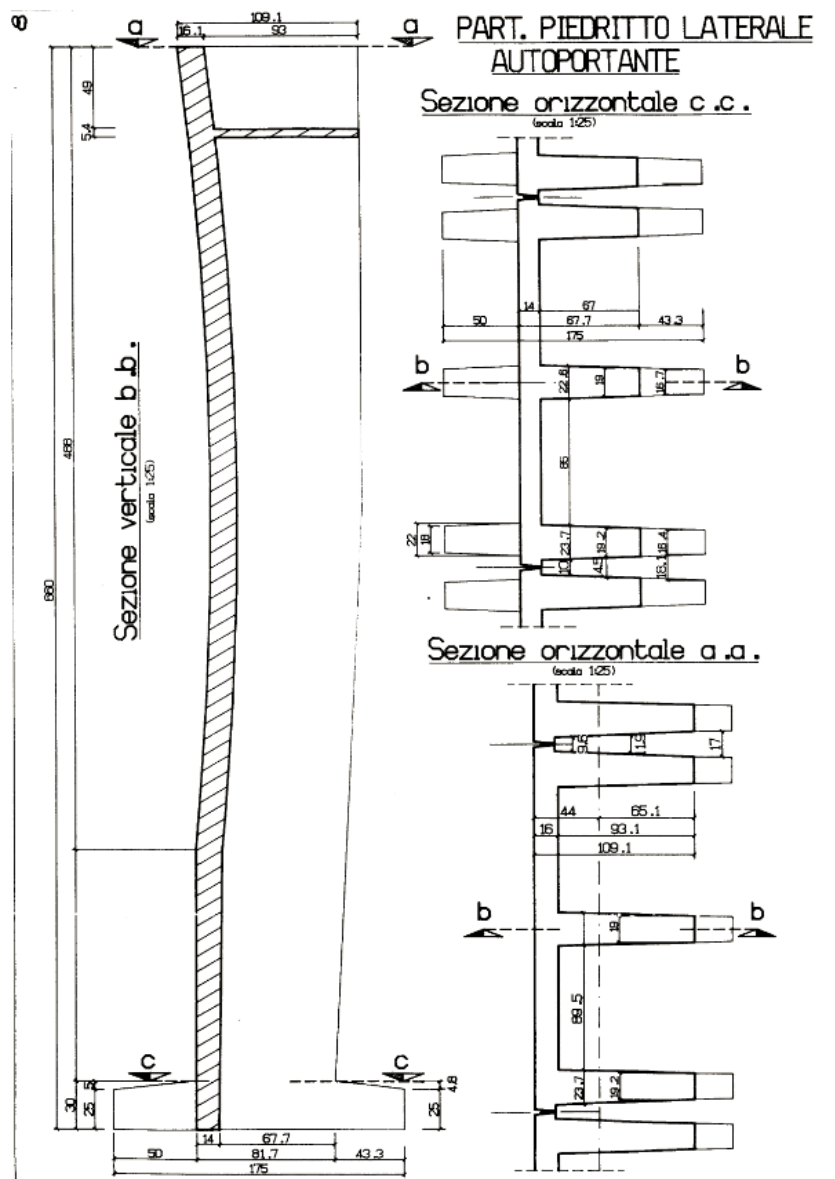


Figura 3-5: particolare costruttivo dei piedritti laterali

Il piedritto centrale è costituito anche esso da un pannello di 249 cm con tre nervature e sezione variabile lungo lo sviluppo in altezza. Dai disegni non risulta esserci precompressione ma i due elementi una volta affiancati prevedevano il successivo getto di completamento mediante l'impiego di fori per il pompaggio del cls, rendendoli monolitici.

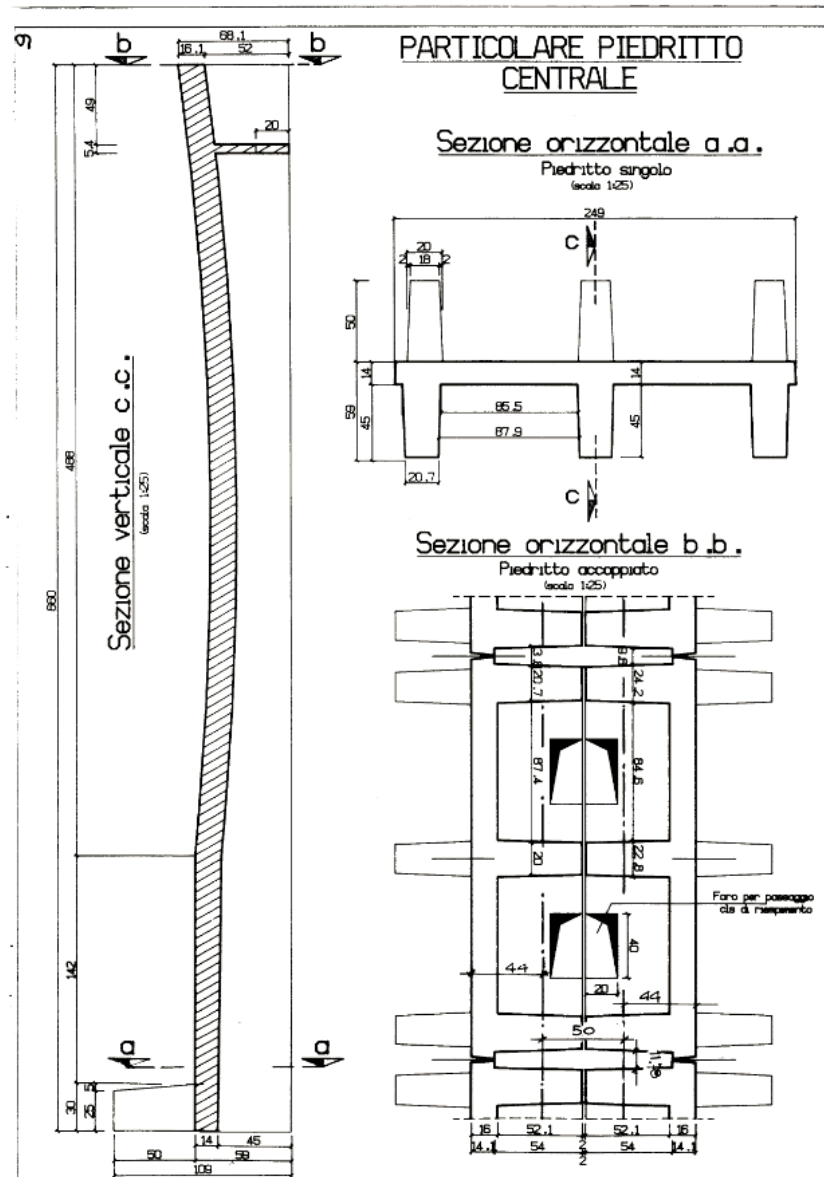


Figura 3-6: particolare costruttivo dei piedritti centrali;

Le travi di copertura riferendosi ai dettagli costruttivi risultano essere travi prefabbricate pre e post tese. Queste hanno una sezione a tre nervature, di spessore variabile, che contengono le guaine dove sono alloggiati i cavi di post-tensione ad andamento curvilineo, costituiti da trefoli 0.6". La piattabanda inferiore ha uno spessore di 12 cm all'interno della quale è presente il sistema di pre tensione costituito da 12 trefoli da 0.5" localizzati agli appoggi di lunghezza 1.2m. L'altezza totale è di 60 cm e viene completata da una soletta collaborante di 15 cm gettata in opera. Dai disegni progettuali i nodi piedritto centrale e nodo laterale non presentano dettagli tali da garantire la continuità, considerando tali configurazioni per le travi di copertura si è ipotizzata la presenza di un nodo a cerniera.

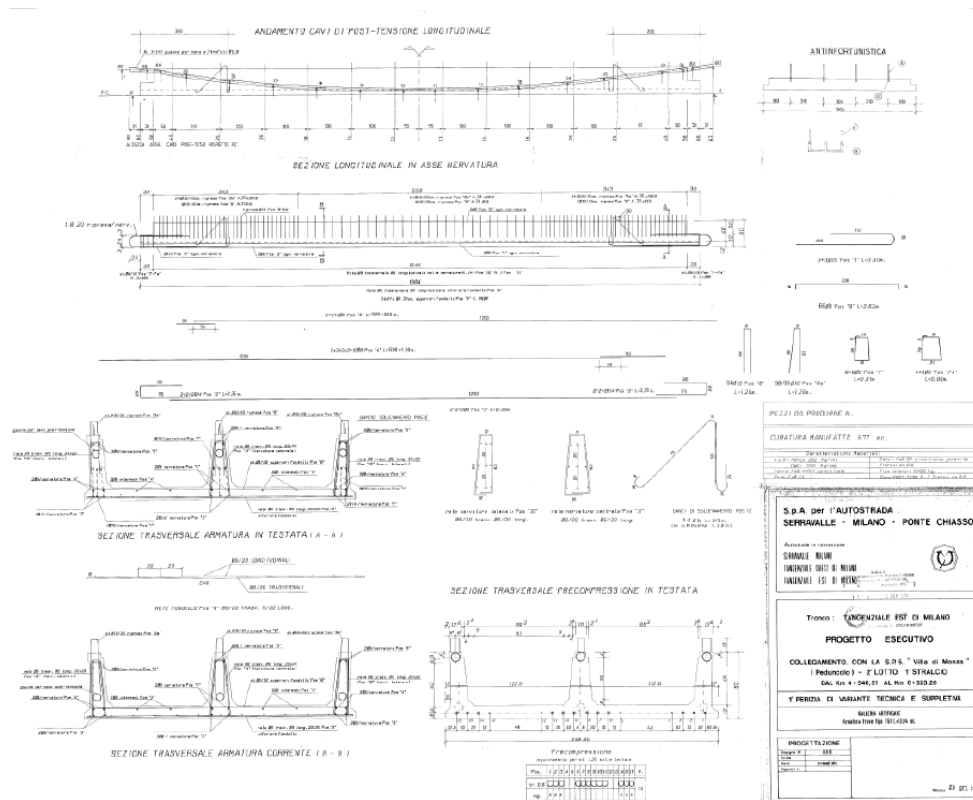


Figura 3-7: particolare costruttivo travi di copertura;

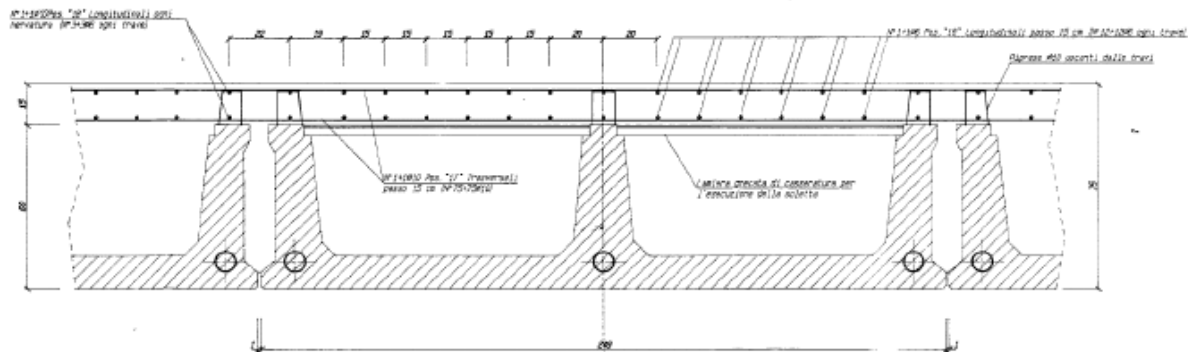


Figura 3-8: sezione trasversale delle travi di copertura L=2.5m;

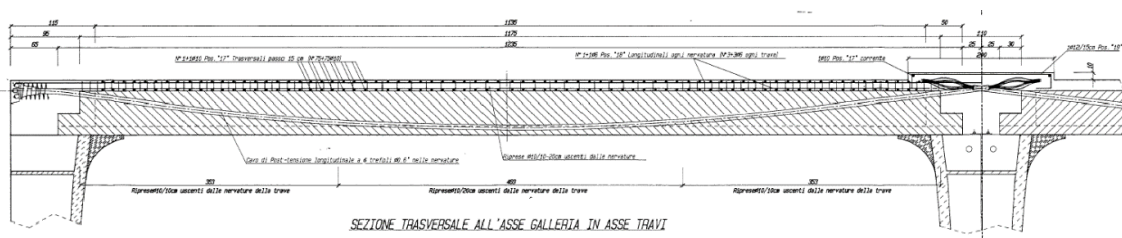


Figura 3-9: particolari costruttivi delle travi di copertura (sezione longitudinale)

4 CARATTERISTICHE DEI MATERIALI

4.1 SPECIFICHE TECNICHE DEI MATERIALI ESISTENTI

Si riportano di seguito le principali caratteristiche dei diversi materiali impiegati nelle verifiche relative alle opere esistenti, con l'indicazione dei valori di resistenza e deformabilità adottati nelle verifiche, questi valori sono stati dedotti dalle indagini condotte sull'opera esistente e riportati nel documento [5]

CALCESTRUZZO (NTC18 11.2.10)						ACCIAIO					
Travi prefabbricate			Piedritti			Acciaio d'armatura			Trefoli		
R _{ck} =	50.6	MPa	R _{ck} =	66.2	MPa	f _{yd} =	473	MPa	f _{pk} =	1860	MPa
f _{ck} =	42.0	MPa	f _{ck} =	55.0	MPa	f _{td} =	513	MPa	f _{po.1k} =	1670	MPa
f _{c'm} =	3.62	MPa	f _{c'm} =	4.34	MPa	γ _s =	1.15		γ _e =	1.15	
f _{c'tk0.05} =	2.54	MPa	f _{c'tk0.05} =	3.04	MPa	f _{pd} =	1452	MPa	f _{pd} =	1452	MPa
E _c =	35000	MPa	E _c =	35000	MPa						
γ _{c's} =	1.5		γ _{c's} =	1.5							
f _{cd} =	28.0	MPa	f _{cd} =	36.7	MPa						
f _{c'd} =	1.69	MPa	f _{c'd} =	2.02	MPa						
Soletta di completamento											
R _{ck,sol} =	45.5	MPa	Fattore omogeneizzazione			0.7					
f _{ck,sol} =	37.8	MPa	n=f _{cd} /f _{c'd,sol}								
γ _{c's} =	1.5										
f _{c'd,sol} =	25.2	MPa									
Spessore omogeneizzato			0.15-0.7=0.11 m								
Diaframmi laterali											
R _{ck} =	R _{ck} =	30.0	MPa								
f _{ck} =	f _{ck} =	25.0	MPa								
f _{c'm} =	f _{c'm} =	2.56	MPa								
f _{c'tk0.05} =	f _{c'tk0.05} =	1.8	MPa								
E _c =	E _c =	31000	MPa								
γ _{c's} =	γ _{c's} =	1.5									
f _{cd} =	f _{cd} =	16.7	MPa								
f _{c'd} =	f _{c'd} =	1.2	MPa								

Tabella 4-1: Specifiche tecniche materiali – Manufatti esistenti;

dalle analisi condotte il fattore di confidenza collegato al livello di conoscenza LC3 raggiunto porta ad avere FC=1

4.2 SPECIFICHE TECNICHE DEI MATERIALI UTILIZZATI

Nella tabella che segue si riportano in sintesi le classi dei materiali impiegati per l'analisi strutturale:

<i>Calcestruzzo per contropareti</i>	
Classe di resistenza	C25/30
Valore caratteristico resistenza cubica a 28 giorni	30 MPa
Valore caratteristico resistenza cilindrica a 28 giorni	25 MPa
Resistenza a compressione cilindrica media	33 MPa
Resistenza a trazione assiale	2.6 MPa
Resistenza di progetto a compressione a 28 giorni	14.1 MPa
Modulo di Young a 28 giorni	31475 MPa
Tensione massima di compressione in esercizio	11.2 MPa
Verifiche a fessurazione	w = 0.3 mm
Classe di consistenza	S4
Dimensione massima aggregati	24 mm

Tabella 4-2: Specifiche tecniche materiali – Contropareti

<i>Calcestruzzo per solette e cordoli</i>	
Classe di resistenza	C35/45
Valore caratteristico resistenza cubica a 28 giorni	45 MPa
Valore caratteristico resistenza cilindrica a 28 giorni	35 MPa
Resistenza a compressione cilindrica media	43 MPa
Resistenza a trazione assiale	3.2 MPa
Resistenza di progetto a compressione a 28 giorni	19.8 MPa
Modulo di Young a 28 giorni	34077 MPa
Tensione massima di compressione in esercizio	15.7 MPa
Verifiche a fessurazione	w = 0.2 mm
Classe di consistenza	S4
Dimensione massima aggregati	24 mm

Tabella 4-3: Specifiche tecniche materiali – Solette e cordoli

<i>Calcestruzzo per diaframmi</i>	
Classe di resistenza	C35/45
Valore caratteristico resistenza cubica a 28 giorni	45 MPa
Valore caratteristico resistenza cilindrica a 28 giorni	35 MPa
Resistenza a compressione cilindrica media	43 MPa
Resistenza a trazione assiale	3.2 MPa
Resistenza di progetto a compressione a 28 giorni	19.8 MPa
Modulo di Young a 28 giorni	34077 MPa
Tensione massima di compressione in esercizio	15.7 MPa
Verifiche a fessurazione	w = 0.2 mm
Classe di consistenza	S4
Dimensione massima aggregati	32 mm

Tabella 4-4: Specifiche tecniche materiali – Diaframmi

<i>Calcestruzzo alleggerito per riempimento a tergo del muro</i>	
Classe di resistenza minima (UNI EN 206:2016)	LC20/22
Classe di massa per unità di volume – massima	D 1,8

Tabella 4-5: Specifiche tecniche materiali – Calcestruzzo alleggerito per riempimento;

<i>Acciaio per barre d'armatura</i>	
Tipo	B450C
Tensione caratteristica di rottura	540 MPa
Tensione caratteristica di snervamento	450 MPa
Resistenza di progetto	391.3 MPa
Modulo di Young	210 GPa

Tabella 4-6: Specifiche tecniche materiali – Acciaio per barre d'armatura

<i>Acciaio per puntoni provvisori</i>	
Tipo	S 355
Tensione caratteristica di rottura	510 MPa
Tensione caratteristica di snervamento	355 MPa
Resistenza di progetto	338 MPa
Modulo di Young	210 GPa

Tabella 4-7: Specifiche tecniche materiali – Acciaio per puntoni provvisori

4.3 CLASSE DI ESPOSIZIONE E COPRIFERRI

Con riferimento alle specifiche di cui alla norma UNI 11104, si definiscono di seguito la classe di esposizione del calcestruzzo delle diverse parti della struttura oggetto dei dimensionamenti di cui al presente documento:

<i>Calcestruzzo per contropareti</i>	
Classe di esposizione	XC1
Descrizione dell'ambiente	Permanente secco, acquoso o saturo d'acqua
Coprifero nominale	25 mm

Tabella 4-8: Classe di esposizione e coprifero – Contropareti

<i>Calcestruzzo per diaframmi</i>	
Classe di esposizione	XD3
Descrizione dell'ambiente	Ciclicamente secco e acquoso o saturo d'acqua
Coprifero nominale	75 mm

Tabella 4-9: Classe di esposizione e coprifero – Diaframmi

<i>Calcestruzzo per solette</i>	
Classe di esposizione	XD3
Descrizione dell'ambiente	Ciclicamente secco e acquoso o saturo d'acqua
Coprifero nominale	50 mm

Tabella 4-10: Classe di esposizione e coprifero – Solette

<i>Calcestruzzo per cordoli</i>	
Classe di esposizione	XD3
Descrizione dell'ambiente	Ciclicamente secco e acquoso o saturo d'acqua
Coprifero nominale	55 mm

Tabella 4-11: Classe di esposizione e coprifero – Cordoli

5 CARATTERIZZAZIONE GEOLOGICA – GEOTECNICA

Nel seguito si riporta un breve inquadramento geologico e la sintesi della caratterizzazione e modellazione geotecnica.

5.1 INQUADRAMENTO GEOLOGICO

L'area oggetto di studio si colloca nell'alta fascia della Pianura Padana centro-settentrionale. La geologia del territorio è caratterizzata da morfogenesi fluviale-fluvioglaciale, depositi sedimentari con giacitura sub-orizzontale e spessore chilometrico, di età pliocenico-quaternaria.

In dettaglio, l'area è caratterizzata dalla presenza di unità formazionali attribuite al Riss (Diluvium medio) e al Wurm (Diluvium recente), periodo in cui è avvenuta erosione dei depositi quaternari fluvioglaciali denominati Mindel (Diluvium antico) e conseguente deposizione di sedimenti caratterizzati da profili di alterazione moderatamente evoluti.

La litologia dell'area risulta essere piuttosto omogenea. Le principali litologie sono costituite da ghiaie a supporto clastico, in matrice sabbiosa o sabbioso limosa, da massive a grossolanamente stratificate a sabbie limose e/o sabbie ghiaiose. Le unità più recenti appartengono alle dinamiche fluviali del Fiume Lambro, costituite in parte dal rimaneggiamento dei depositi preesistenti e che non presentano alterazione superficiale.

Secondo la classificazione più recente dal punto di vista geologico i depositi quaternari affioranti vengono distinti in Unità (Alloformazioni) che non hanno alcun riferimento temporale. I depositi alluvionali che progradano sulla pianura sono un esempio che ben definisce la diacronia tipica delle Unità Allostratigrafiche.

Le formazioni vengono distinte in base al loro bacino di origine: nell'area interessata dai tracciati delle due ipotesi progettuali, la maggior parte delle formazioni presenti appartengono al Bacino dell'Adda. Di seguito vengono elencate e descritte sommariamente le formazioni presenti:

Unità non distinte in base al bacino di appartenenza:

Sistema del Po – Unità Post Glaciale (POI): sedimenti costituiti da sabbie ghiaiose e sabbie limoso ghiaiose, passanti verso il basso a ghiaie; alternanze di ghiaie e sedimenti sabbioso limosi con quantità variabili di ghiaie. Si denota la presenza di sedimenti limosi e limoso sabbiosi privi di clasti, di spessore metrico.

Unità del bacino dell'Adda:

Allogruppo di Besante – Supersistema di Besnate: depositi fluvioglaciali, costituiti da ghiaie a supporto clastico, con matrice sabbioso o sabbioso limosa, clasti poligenici da arrotondati a subarrotondati, caratterizzati da profili di alterazione moderatamente evoluti. Il grado di alterazione si attenua in direzione Sud. Si distinguono:

- Unità di Guanzate (BEZ): caratteristiche litologiche molto simili a quelle attribuite al Supersistema, tuttavia supportano differenti sequenze sommitali. Sono presenti, molto discontinuamente, depositi limosi rubefatti, a contenuto variabile di sabbi e argilla, con clasti sparsi;
- Sintema di Cantù (LCN): Ghiaie e sabbie stratificate, limi di esondazione (depositi fluvioglaciali e alluvionali).

5.2 INQUADRAMENTO GEOMORFOLOGICO

Dal punto di vista geomorfologico il territorio si diversifica sulla base delle caratteristiche morfologiche in quattro "ambiti":

- Ambito dei Terrazzi Antichi: superficie rilevate rispetto alla piana principale, terrazzate, legate a dinamiche fluvioglaciali e fluviali;

- Ambito della Piana Principale: superfici stabili, legate a dinamiche fluvioglaciali e fluviali caratterizzate da ghiaie a supporto clastico in matrice sabbiosa o sabbiosa limosa;
- Ambito dei Terrazzi Vallivi: superfici marginali della valle del F. Lambro, rilevato rispetto alle precedenti, controllate da dinamiche fluviali recenti;
- Ambito della Valle del F. Lambro: superfici morfologicamente controllate dalle dinamiche fluviali attuali e recenti.

Gli interventi in esame si sviluppano nell'area meridionale del territorio comunale di Monza, a cavallo tra l'ambito della Valle del F. Lambro e quello della Pianura Principale, interessando le unità del Sintema del Po (POI) e l'Unità di Guanzate (BEZ – Allogruppo di Besnate).

5.3 INQUADRAMENTO IDROGEOLOGICO

Le Unità riconosciute nel territorio di Monza sono di seguito descritte dalla più superficiale alla più profonda:

Gruppo Acquifero A: (Olocene-Pleistocene medio) corrispondente all'incirca all'unità ghiaioso-sabbiosa.

Gruppo Acquifero B: (Pleistocene Medio) corrispondente all'insieme delle unità sabbioso-ghiaiosa e a conglomerati e arenarie.

Gruppo Acquifero C: costituita da potenti successioni di argille grigie e gialle, talora fossilifere e torbose, caratterizzata da una discreta continuità laterale, a cui si alternano subordinati livelli di sabbie, ghiaie sabbiose ad alto contenuto argilloso e livelli di conglomerati.

L'andamento generale della piezometria nel territorio comunale è caratterizzato da un flusso prevalente con direzione NNE-SSW. L'andamento della falda, riferito a settembre 2014, attribuisce all'area in esame una quota piezometrica compresa tra i 135 e 130 m s.l.m. con direzione di flusso Sud-vergente.

5.4 INDAGINI GEOTECNICHE

La caratterizzazione geologica di dettaglio dell'area è stata realizzata tramite prove in situ di tipo diretto (prove penetrometriche dinamiche DPSH) e di tipo indiretto (prove MASW/Re.Mi). Le indagini condotte sono state le seguenti:

Esecuzione in situ di n. 5 prove penetrometriche dinamiche continue DPSH per la valutazione delle caratteristiche litostratigrafiche e geotecniche dei terreni;

Esecuzione di n. 2 stendimenti sismici con acquisizione prova tipo MASW/Re.Mi, per la definizione della categoria sismica del sottosuolo in funzione della velocità V_{seq} ai sensi delle NTC 2018.

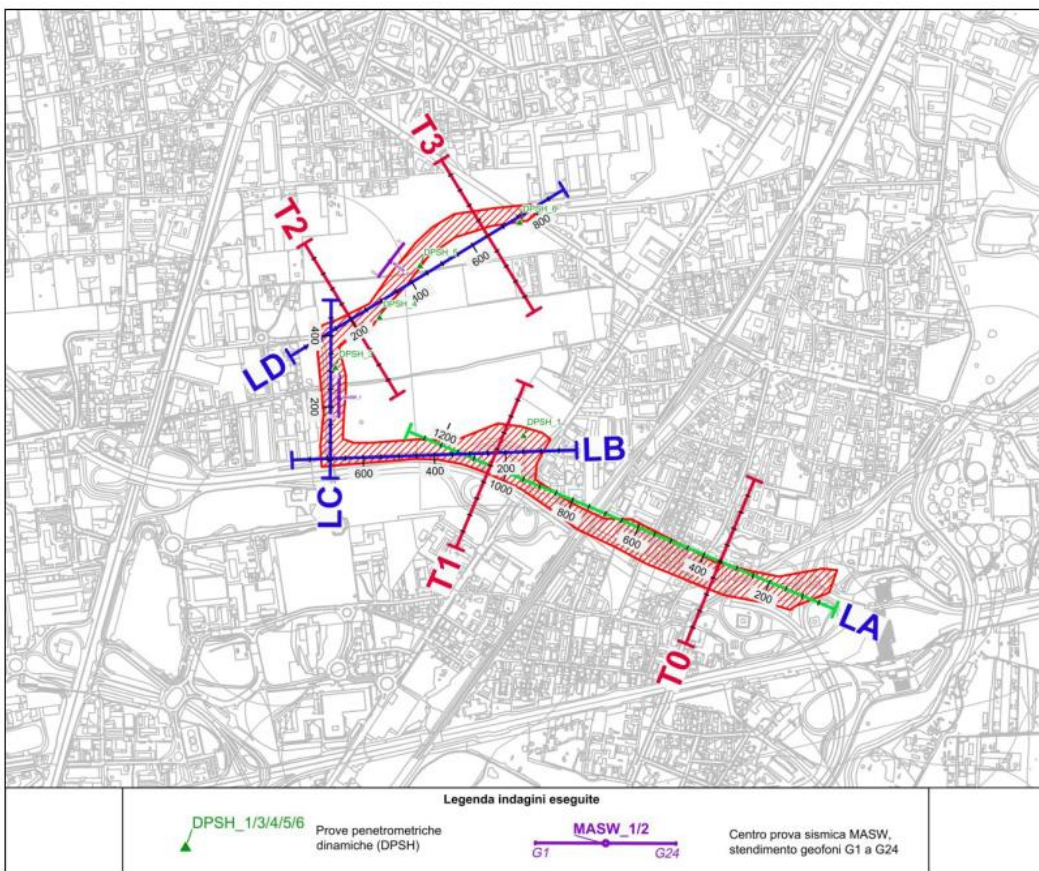


Figura 5-1: Indagini eseguite (Rif. [3]).

6 CARATTERIZZAZIONE SISMICA DEL SITO

6.1 PERICOLOSITÀ SISMICA

La pericolosità sismica di un territorio è funzione di un complesso insieme di parametri naturali e rappresenta la probabilità che un evento sismico di data intensità si manifesti in una certa area in un determinato intervallo di tempo.

A seguito della riclassificazione sismica del territorio nazionale scaturita dal progetto S1 dell'INGV – DPC, si dispone di parametri sismici di riferimento aggiornati e di maggior dettaglio rispetto alla classificazione macroismica nazionale cui faceva riferimento il D.M. LL. PP. 16 gennaio 1996. La rappresentazione di sintesi delle caratteristiche sismologiche e sismogenetiche del territorio è contenuta nella “Mappa di pericolosità Sismica” dell’Italia. Questa, riportata in Figura 6-1, costituisce oggi la base di riferimento per la valutazione delle azioni sismiche di progetto sul sito in esame secondo le nuove Norme Tecniche per le Costruzioni (D.M. 17 gennaio 2018).

In Figura 6-2 viene riportato il modello di pericolosità sismica prodotto dal progetto S1 (MPS04-S1). Nello specifico, sulla griglia sono riportati i valori dell’azione sismica di base, a_g , per l’area in esame. Dalla figura è possibile notare che per il comune di Monza è definita un’azione sismica di base compresa tra 0.05 e 0.075 g.



ISTITUTO NAZIONALE DI GEOFISICA E VULCANOLOGIA

Mappa di pericolosità sismica del territorio nazionale

(riferimento: Ordinanza PCM del 28 aprile 2006 n.3519, All.1b)

espressa in termini di accelerazione massima del suolo

con probabilità di eccedenza del 10% in 50 anni

riferita a suoli rigidi ($V_{s30} > 800$ m/s; cat.A, punto 3.2.1 del D.M. 14.09.2005)

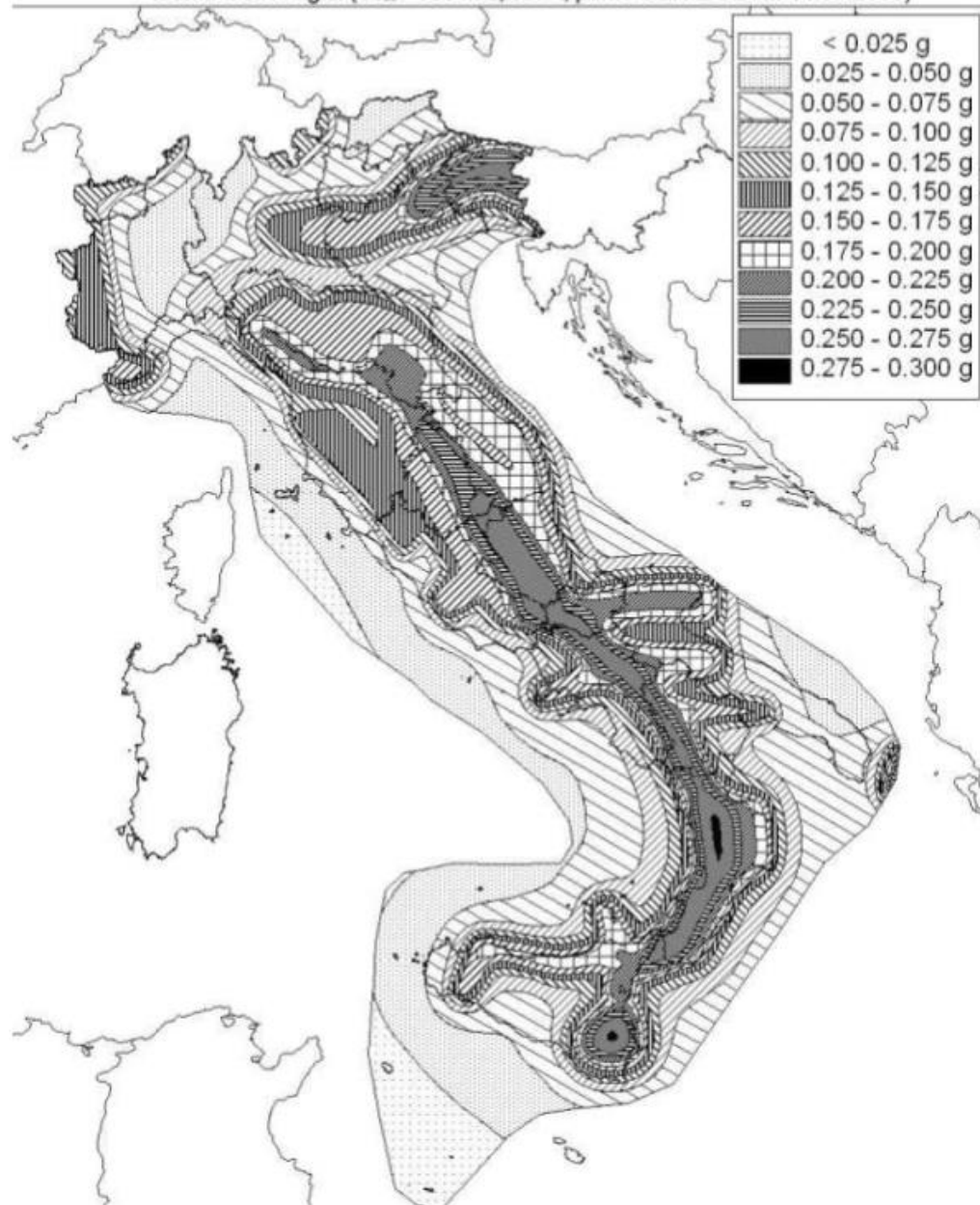


Figura 6-1: Mappa di pericolosità sismica del territorio nazionale, espressa in termini di accelerazione massima del suolo con probabilità di eccedenza del 10% in 50 anni (da INGV 2006).



Modello di pericolosità sismica MPS04-S1

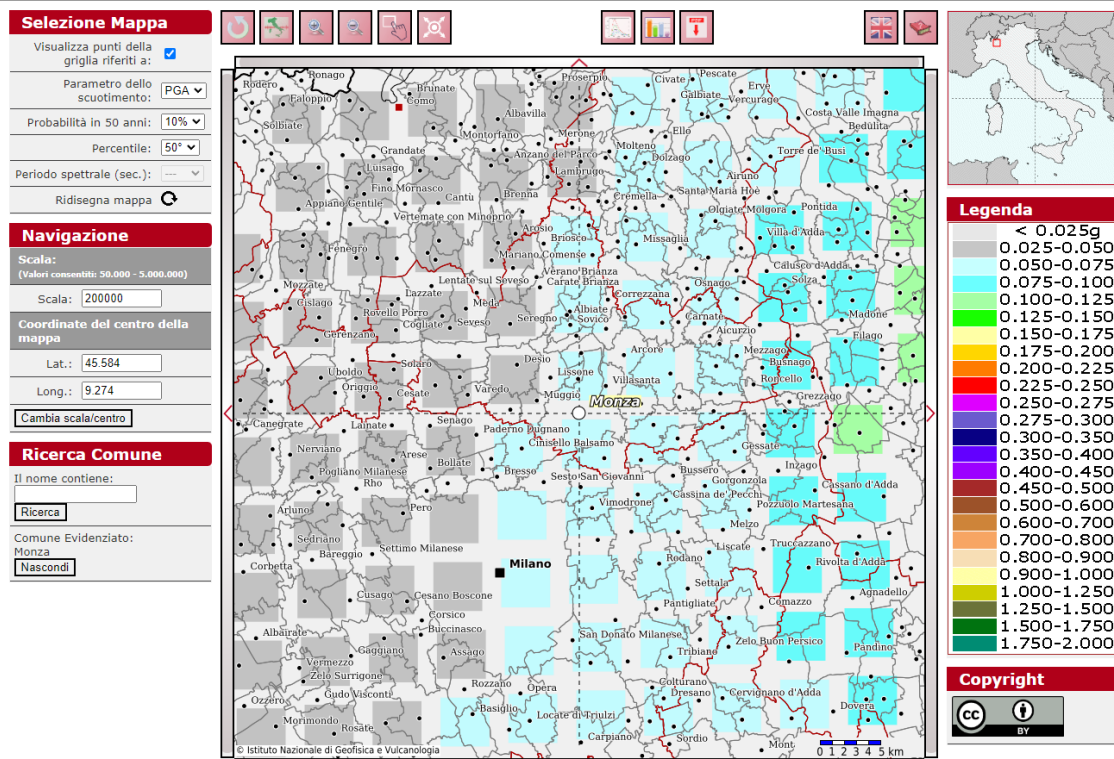


Figura 6-2: Modello di pericolosità sismica MPS04-S1 dell'area di studio, in termini di accelerazione massima del suolo con probabilità di eccedenza del 10% in 50 anni (da INGV 2006).

6.2 RISPOSTA SISMICA

L'azione sismica sulle costruzioni è valutata a partire dalle pericolosità sismica di base in condizione ideali di sito di riferimento rigido con superficie topografica orizzontale.

I risultati dello studio di pericolosità sono forniti in termini di accelerazione orizzontale massima, a_g , di amplificazione dello spettro in accelerazione orizzontale, F_0 , e del periodo di inizio del tratto costante dello spettro in accelerazione orizzontale, T_c^* . I risultati sono forniti per diverse probabilità di superamento e/o diversi periodi di ritorno, T_R , compresi in un intervallo di riferimento pari almeno a 45 – 1462 anni.

Pertanto, per individuare le corrispondenti azioni sismiche occorre determinare per la singola opera:

- la vita di riferimento V_R della costruzione;
- la probabilità di superamento nella vita di riferimento P_{V_R} associate a ciascuno degli stati limite considerati.

Fissata la vita di riferimento, V_R , il tempo di ritorno è esprimibile in funzione di P_{V_R} con la seguente espressione:

$$T_R = - \frac{V_R}{\ln(1 - P_{V_R})}$$

La vita di riferimento è calcolata come segue:

$$V_R = V_N C_U$$

Dove V_N è la vita nominale dell'opera e C_U è il coefficiente relativo alla classe d'uso.

Per le opere d'arte del presente progetto si ha: $V_N = 100$ anni; classe d'uso IV: $C_U = 2.00$. Nel caso in esame risulta dunque, con riferimento ai diversi stati limite:

Stati limite		Tempo di ritorno (anni)	a_g (g)	F_o (-)	T_c^* (s)
Stati limite di esercizio	SLO	120	0.035	2.578	0.226
	SLD	201	0.041	2.594	0.251
Stati limite ultimi	SLV	1898	0.079	2.704	0.308
	SLC	2475	0.085	2.723	0.312

Tabella 6-1: Parametri della pericolosità sismica.

Nota l'accelerazione orizzontale massima attesa su sito di riferimento rigido, a_g , l'accelerazione di picco, a_{max} , è valutata sulla base della risposta sismica locale:

$$a_{max} = S_S S_T \frac{a_g}{g}$$

dove:

- a_g è l'accelerazione orizzontale massima attesa su sito di riferimento rigido.
- S_S è il fattore di amplificazione stratigrafica del terreno, funzione della categoria del sottosuolo di fondazione e dei parametri sismici F_o e a_g/g .

Tabella 3.2.V – Espressioni di S_S e di C_C

Categoria sottosuolo	S_S	C_C
A	1,00	1,00
B	$1,00 \leq 1,40 - 0,40 \cdot F_o \cdot \frac{a_g}{g} \leq 1,20$	$1,10 \cdot (T_c^*)^{-0,20}$
C	$1,00 \leq 1,70 - 0,60 \cdot F_o \cdot \frac{a_g}{g} \leq 1,50$	$1,05 \cdot (T_c^*)^{-0,33}$
D	$0,90 \leq 2,40 - 1,50 \cdot F_o \cdot \frac{a_g}{g} \leq 1,80$	$1,25 \cdot (T_c^*)^{-0,50}$
E	$1,00 \leq 2,00 - 1,10 \cdot F_o \cdot \frac{a_g}{g} \leq 1,60$	$1,15 \cdot (T_c^*)^{-0,40}$

- S_T è il fattore di amplificazione che tiene conto delle condizioni topografiche, il cui valore dipende dalla categoria topografica e dall'ubicazione dell'opera.

Tabella 3.2.VI – Valori massimi del coefficiente di amplificazione topografica S_T

Categoria topografica	Ubicazione dell'opera o dell'intervento	S_T
T1	-	1,0
T2	In corrispondenza della sommità del pendio	1,2
T3	In corrispondenza della cresta del rilievo	1,2
T4	In corrispondenza della cresta del rilievo	1,4

6.2.1 CATEGORIA DI SOTTOSUOLO E CATEGORIA TOPOGRAFICA

La nuova Normativa Tecnica per le Costruzioni prevede, relativamente alla caratterizzazione sismica di un sito (D.M. 17/01/18 – Capitolo 3.2.2), la determinazione del valore $V_{S,30}$ inteso come velocità media di propagazione delle onde di taglio (S) entro i primi 30 m di profondità. Sudetto parametro, definito sulla base di misure dirette dei valori di V_s , è ricavabile mediante la seguente relazione:

$$V_{S,30} = \frac{30}{\sum_{i=1,N} \frac{h_i}{V_{S,i}}}$$

Si riportano nel seguito le categorie di sottosuolo previste dalla normativa tecnica vigente.

CATEGORIA	DESCRIZIONE
A	Ammassi rocciosi affioranti o terreni molto rigidi caratterizzati da valori di velocità delle onde di taglio superiori a 800 m/s, eventualmente comprendenti in superficie terreni di caratteristiche meccaniche più scadenti con spessore massimo pari a 3 m.
B	Rocce tenere e depositi di terreni a grana grossa molto addensati o terreni a grana fina molto consistenti, caratterizzati da un graduale miglioramento delle proprietà meccaniche con la profondità e da valori di velocità equivalente compresi tra 360 m/s e 800 m/s.
C	Depositi di terreni a grana grossa mediamente addensati o terreni a grana fina mediamente consistenti, con profondità del substrato superiori a 30 m, caratterizzati da un miglioramento delle proprietà meccaniche con la profondità e da valori di velocità equivalente compresi tra 180 m/s e 360 m/s.
D	Depositi di terreni a grana grossa scarsamente addensati o di terreni a grana fina scarsamente consistenti, con profondità del substrato superiori a 30 m, caratterizzati da un miglioramento delle proprietà meccaniche con la profondità e da valori di velocità equivalente compresi tra 100 e 180 m/s.
E	Terreni con caratteristiche e valori di velocità equivalenti riconducibili a quelle definite per categorie C o D, con profondità del substrato non superiore a 30 m.

Tabella 6-2: CATEGORIE DI SOTTOSUOLO CHE PERMETTONO L'UTILIZZA DELL'APPROCCIO SEMPLIFICATO (TAB. 3.2.II – NTC18).

Per la definizione della categoria di sottosuolo sismica in corrispondenza delle principali opere lungo il tracciato sono stati eseguiti n° 2 stendimenti sismici con acquisizione prova tipo MASW/Re.Mi. L'elaborazione dei dati acquisiti ha consentito la ricostruzione del modello stratigrafico in funzione delle velocità sismiche V_s e la determinazione del parametro $V_{S,30} = 366$ m/s e $V_{S,30} = 342$ m/s per la prova MASW 1 e MASW 2 rispettivamente (Rif. [3]).

Ai fini della caratterizzazione sismica del sito per la definizione delle azioni sismiche di progetto (Tab. 3.2.II, NTC 2018), la categoria del suolo di fondazione risulta di tipo "B" nel primo caso e di tipo "C" nel secondo. In via cautelativa, a favore di sicurezza, si è deciso di considerare la categoria di sottosuolo nella **CATEGORIA C**.

Di seguito si allega il modello stratigrafico in funzione delle velocità V_s con riportati il valore del parametro $V_{S,30}$ e la categoria sismica del suolo di fondazione.

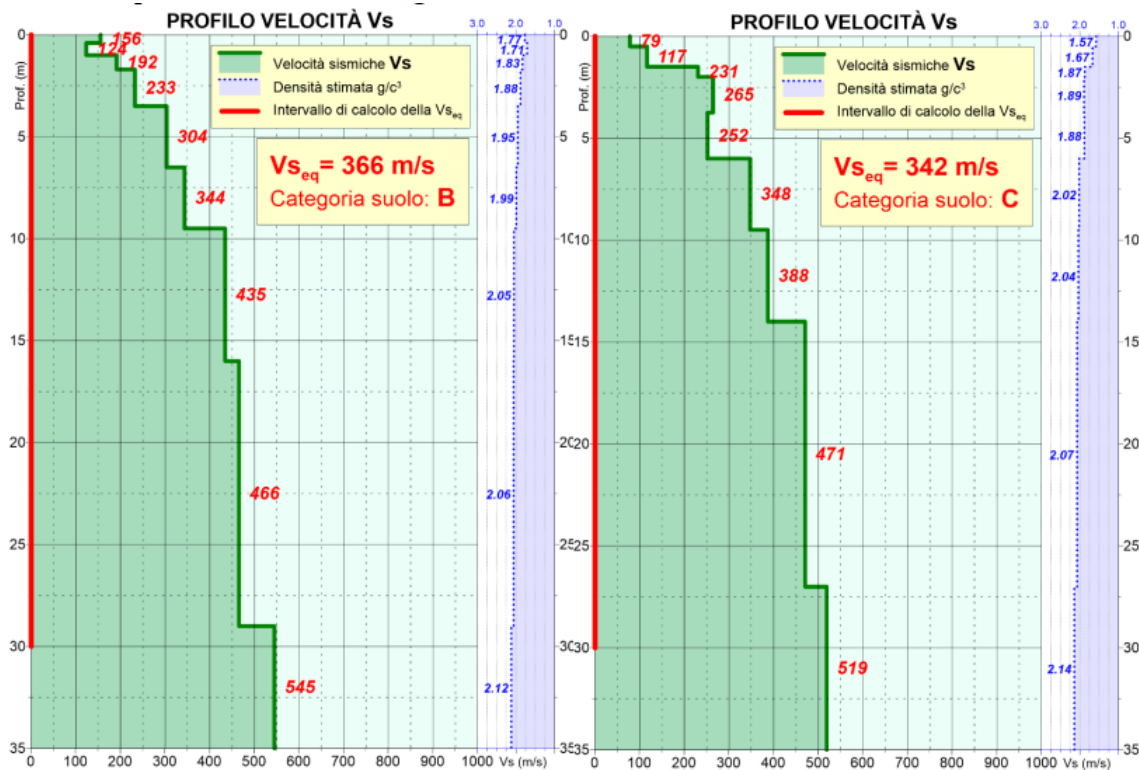


Figura 6-3: Categoria sismica del suolo di fondazione, rielaborazione prove MASW (Rif. [3]).

Le condizioni topografiche dell'area in esame sono state valutate con riferimento al punto 3.2.2 del D.M. 17/01/2018 ovvero:

Categoria	Caratteristiche della superficie topografica
T1	Superficie pianeggiante, pendii e rilievi isolati con inclinazione media $i \leq 15^\circ$
T2	Pendii con inclinazione media $i > 15^\circ$
T3	Rilievi con larghezza in cresta molto minore che alla base e inclinazione media $15^\circ \leq i \leq 30^\circ$
T4	Rilievi con larghezza in cresta molto minore che alla base e inclinazione media $i > 30^\circ$

Tabella 6-3: Categorie topografiche (Tab. 3.2.III – NTC18).

Per le opere in esame è possibile definire una categoria topografica T1 corrispondente ad una superficie pianeggiante o ad un pendio leggermente acclive (inclinazione media $\leq 15^\circ$).

6.2.2 Azione sismica di progetto

A conclusione del capitolo riguardante la caratterizzazione sismica del sito si riportano sinteticamente i parametri scelti per la definizione dell'azione sismica di progetto.

Con riferimento allo stato limite di salvaguardia della vita umana (SLV) per le opere d'arte definitive del presente progetto si ha:

- azione sismica di base: $a_g = 0.079 \text{ g}$;
- coefficiente di amplificazione spettrale: $F_0 = 2.704$;
- coefficiente di amplificazione stratigrafica: $S_S = 1.5$;
- coefficiente di amplificazione topografica: $S_T = 1.0$;
- accelerazione orizzontale massima attesa al sito: $a_{\max} = 0.1185 \text{ g}$.

7 ANALISI STRUTTURALE

7.1 SEZIONE DI CALCOLO

La sezione oggetto di studio è posta alla progressiva km. 0+610 a ridosso della presenza del manufatto a spinta.

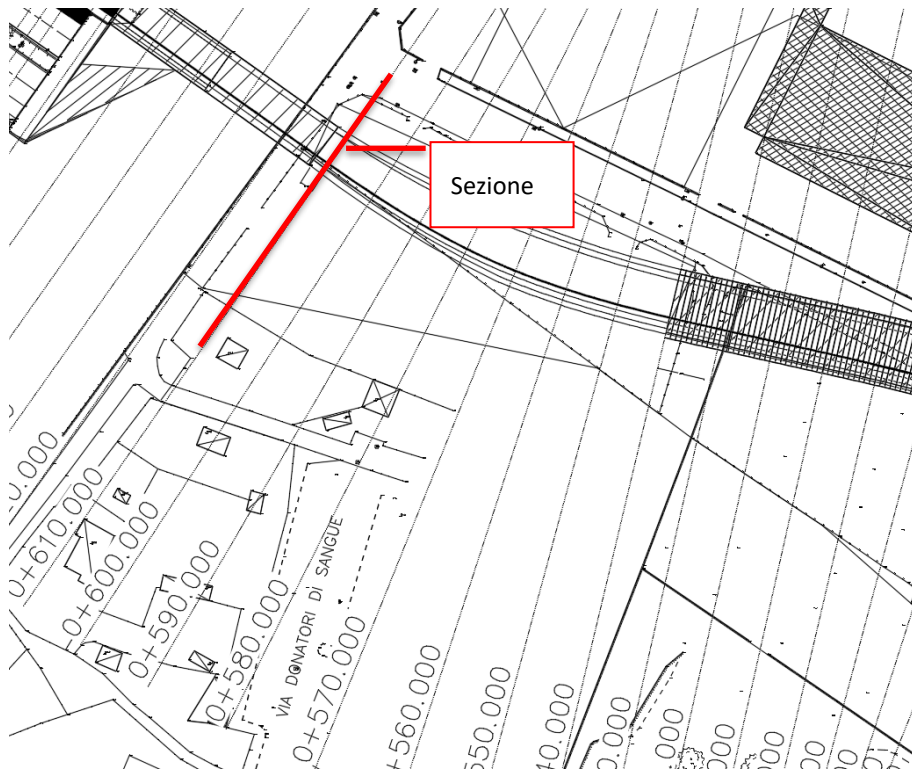


Figura 7-1: Vista in pianta tracciato e sezione di verifica.

7.2 MODELLAZIONE STRUTTURALE

Le analisi finalizzate al dimensionamento delle strutture sono state condotte con il programma di calcolo Midas Gen.

L'opera esistente oggetto dell'analisi è costituita da elementi prefabbricati dello spessore di 2.5m, si è dunque implementato un modello ad elementi finiti in Midas Gen facendo riferimento ad una sezione tipologica dello spessore di 2.5m, comprendente le due canne della galleria. Come visto dalle indicazioni progettuali dell'opera esistente, il tratto analizzato presenta una geometria variabile. In particolare, variano, le dimensioni dei piedritti centrali e le luci delle canne. A favore di sicurezza la struttura esistente è stata schematizzata adottando le dimensioni minori per gli elementi portanti e le luci maggiori per le coperture.

Le travi prefabbricate esistenti di copertura sono a sezione variabile. Sono state definite sezioni equivalenti. Le caratteristiche delle sezioni di calcolo sono riportate qui di seguito, Larghezza numero tre nervature 16.5 cm altezza 57.6 cm altezza soletta di fondo di completamento 11cm.

In analogia a quanto riportato nel documento [5] si sono considerate le perdite di carico sia per la pretensione che post tensione andando a definire le seguenti azioni:

POST-TENSIONE					
Np=	2770	kN	e _p =	0.08	m
PRE-TENSIONE					
Np=	1230	kN	e _p =	0.14	m
PRECOMPRESIONE TOTALE A TEMPO INFINITO					
Np=	2770	kN	Campata: q _p =Np·8/L1 ² =	-12.0	kN/m
Np=	4000	kN	Testata: q _p =Np·8/L1 ² =	0.0	kN/m

Tabella 7-1: Precompressione a tempo infinito delle travi prefabbricate di copertura;

I piedritti centrali hanno dimensioni variabile, come descritto in precedenza si considera la dimensione minore e dunque una profondità di 2.5m per una larghezza trasversale di 2.0 m. I piedritti laterali hanno sezione rettangolare 0.67x2.5m anche in questo caso si è considerata la dimensione minore a favore di sicurezza. Come indicato in precedenza questi elementi presentano una post-tensione che in analogia alle travi di copertura la definizione delle forze di precompressione a tempo infinito porta a N_p= 2268 kN.

Durante le fasi realizzative del potenziamento si andrà parzialmente ad interferire con la galleria esistente andando a liberare la zona a nord della galleria stessa. Questo comporta una condizione di spinta asimmetrica del terreno. A favore di sicurezza si è considerata la situazione con spinta a riposo lato terreno massimizzando gli effetti dell'asimmetria del carico.

$$\sigma'_H = K_0 \sigma'_V \quad \text{pressione a riposo}$$

con K₀ = 0.56.

Questa pressione viene mantenuta costante e non viene fatta decrescere con le deformazioni manifestate dalle strutture disaccoppiando, a favore di sicurezza, l'interazione terreno-struttura; in questo modo ci si aspetta di massimizzare gli effetti delle spinte.

Il modello di calcolo agli elementi finiti riproduce una porzione di galleria artificiale con le seguenti geometrie, canna sud con luce 12 metri canna nord con luce 9.25m, altezza piedritti 7 m, ricoprimento terreno 2 m. La zona d'interferenza non è soggetta a carichi stradali in copertura.

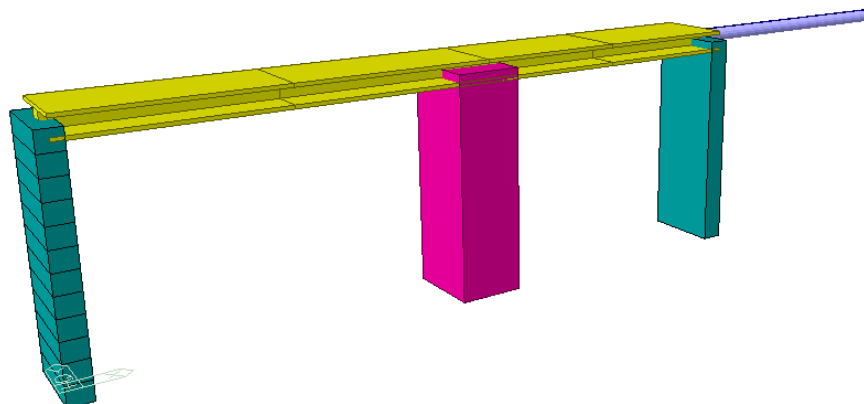


Figura 7-2: Vista in 3D modello di calcolo in fase di scavo.

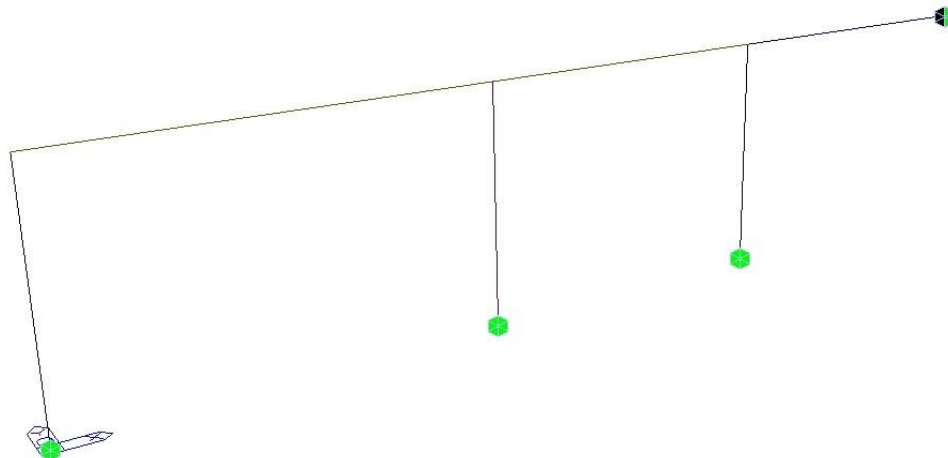


Figura 7-3: Vista in 3D modello di calcolo in fase di scavo – Rappresentazione vincoli.

Durante le fasi di scavo verrà installato un puntone temporaneo di sezione 457 mm spessore 12.5 mm, che andrà a contrastare le spinte asimmetriche sino alla costruzione del muro di rinfianco ed il suo riempimento a tergo tra il nuovo manufatto ed il piedritto laterale esistente.

I vincoli applicati nel modello di calcolo sono di incastro per gli elementi verticali e di cerniera per il puntone temporaneo.

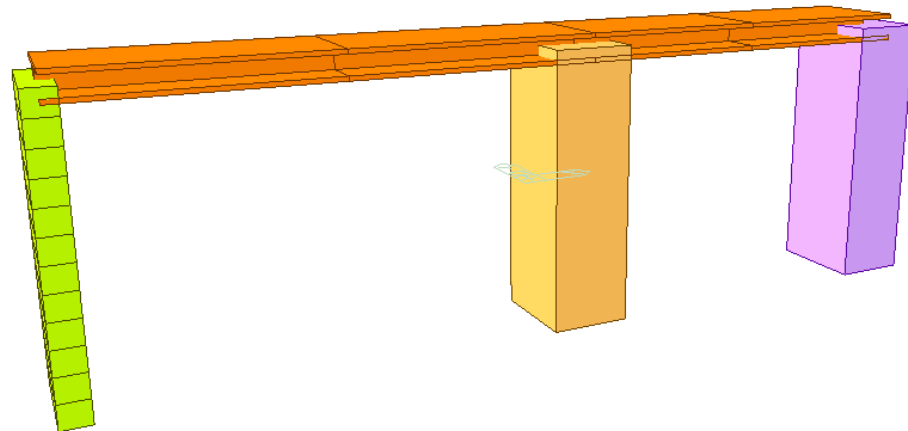


Figura 7-4: Vista in 3D modello di calcolo in fase finale.

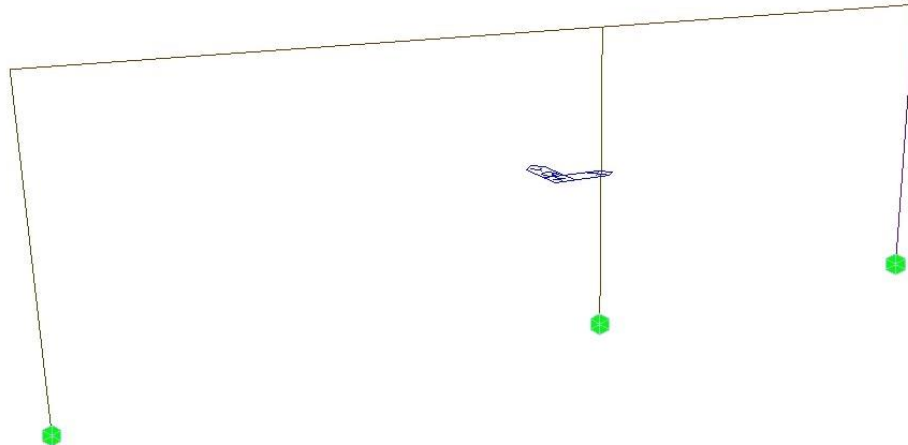


Figura 7-5: Vista in 3D modello di calcolo in fase finale – Rappresentazione vincoli.

Coerentemente col modello di calcolo in fase di scavo, i vincoli applicati sono di incastro per gli elementi verticali.

Il puntone, in analogia a quelli già predisposti per la GAO1, avrà un interasse di 5 m; nel modello si è provveduto a ridurre la propria rigidezza ($K = E \cdot A / L$) per l'interasse di calcolo pari a 2.5 m. Avendo, infatti, inserito un elemento *beam* a rappresentare il puntone in oggetto e avendo modellato una porzione di struttura larga 2.5 m (quando l'interasse dei puntoni è pari a 5 m), si è provveduto a dimezzare la rigidezza di tale elemento *beam*.

Come già discusso, considerando i dettagli costruttivi, e mantenendosi in favore di sicurezza, i vincoli tra travi e piedritti sono stati considerati come semplici appoggi nelle analisi.

7.3 AZIONI DELLA NEVE

La determinazione del carico da neve è stata ricavata con i seguenti dati in accordo al par. 3.4 delle NTC:

- Regione Lombardia
- Provincia Milano
- Zona I Mediterranea
- Quota sul livello del mare $a_s = 160$ m
- Copertura piana
- Coefficiente di forma $\mu_f = 0.8$
- Coefficiente di esposizione $C_e = 1.0$
- Coefficiente termico $C_t = 1.0$

Il carico di neve al suolo è pari a 1.5 kN/m^2 considerando i coefficienti correttivi il carico caratteristico da neve da impiegare nelle condizioni di carico risulta pari a 1.2 kN/m^2 .

7.4 AZIONE SISMICA

La modellazione sismica viene effettuata attraverso la teoria di Wood (1973). Questo metodo fornisce la sovra spinta sismica del terreno su una parete interrata soggetta a deformazioni molto contenute, tali da potere assumere che il terreno, si trovi in fase elastica sia in condizioni statiche sia durante il sisma.

È stato utilizzato il metodo pseudo-statico, calcolando il coefficiente sismico orizzontale e verticale secondo le prescrizioni di normativa:

$$k_h = \beta_m \left(\frac{a_{max}}{g} \right)$$

$$k_v = \pm 0.5 k_h$$

Dove:

a_{max} = accelerazione orizzontale massima attesa al sito;

β_m = coefficiente di riduzione dell'accelerazione massima attesa al sito, a favore di sicurezza e in ipotesi di strutture rigide ed impedisce di subire spostamenti relativi rispetto al terreno si assume $\beta_m = 1$.

L'effetto del sisma è ottenuto applicando un incremento di spinta del terreno valutato secondo la teoria di Wood (1973) risulta essere:

$$\Delta S_E = k_h \gamma H_{scavo}$$

Dove:

γ = rappresenta il peso dell'unità di volume della formazione con la quale l'opera interagisce;

H = rappresenta l'altezza della paratia compresa tra gli estradossi delle solette superiore e inferiore;

k_h = rappresenta il coefficiente di spinta in condizioni sismiche.

Per la simulazione degli effetti dell'azione sismica sulle masse inerziali si fa riferimento al metodo pseudo-statico secondo quanto previsto dalla normativa vigente, applicando cioè alle masse ed ai carichi fissi e variabili eventualmente presenti, due azioni statiche equivalenti proporzionali al peso, ovvero all'intensità del carico secondo quanto di seguito indicato:

$$F_h = k_h W$$

$$F_v = k_v W$$

con:

W = peso della massa coinvolta / intensità del carico permanente;

k_h = coefficiente sismico orizzontale;

k_v = coefficiente sismico verticale.

Le verifiche sono state condotte in accordo con le prescrizioni e le indicazioni del D.M. 17/01/2018 e della Circolare 21/01/19, n. 7 C.S.LL.PP. (Rif. [1] e Rif. [2]).

Le azioni considerate per la verifica delle strutture di sostegno dell'imbocco sono le seguenti:

- *Azioni permanenti strutturali (G_1): peso proprio degli elementi strutturali;*

- *Azioni permanenti non strutturali (G_2)*: spinta del terreno a monte e a valle dell'opera, carico distribuito sul piano campagna a monte della struttura di sostegno al fine di simulare il piano campagna non orizzontale, eventuale carico distribuito dovuto agli edifici;
- *Azioni variabili (Q_k)*: carico variabile sul piano campagna atto a simulare la presenza di sovraccarichi variabili in fase costruttiva legato alle varie fasi realizzative e al traffico veicolare sulla soletta superiore;
- *Azione sismica (E)*: Accelerazione orizzontale e verticale.

7.5 AZIONI

I coefficienti parziali γ_F relativi alle azioni sono indicati nella Tabella 7-2. Ad essi deve essere fatto riferimento con le precisazioni riportante nel paragrafo 2.6.1 dell'NTC2018. Si deve comunque intendere che il terreno costituisce carichi permanenti strutturali (γ_{G1}), il carico degli edifici come carichi permanenti non strutturali (γ_{G2}).

	Effetto	Coefficiente Parziale γ_F (o γ_E)	EQU	(A1)	(A2)
Carichi permanenti G_1	Favorevole	γ_{G1}	0,9	1,0	1,0
	Sfavorevole		1,1	1,3	1,0
Carichi permanenti $G_2^{(1)}$	Favorevole	γ_{G2}	0,8	0,8	0,8
	Sfavorevole		1,5	1,5	1,3
Azioni variabili Q	Favorevole	γ_Q	0,0	0,0	0,0
	Sfavorevole		1,5	1,5	1,3

Tabella 7-2: Coefficienti parziali per le azioni o per l'effetto delle azioni (Tab. 6.2.I – NTC18).

7.6 RESISTENZE

Il valore di progetto della resistenza R_d può essere determinato:

- in modo analitico, con riferimento al valore caratteristico dei parametri geotecnici del terreno, diviso per il valore del coefficiente parziale γ_M specificato nella Tabella 7-2 tenendo conto, ove necessario, dei coefficienti parziali γ_R specificati nei paragrafi relativi a ciascun tipo di opera;
- in modo analitico, con riferimento a correlazioni con i risultati di prove in situ, tenendo conto dei coefficienti parziali γ_R riportati nelle tabelle contenute nei paragrafi relativi a ciascun'opera.

Parametro	Grandezza alla quale applicare il coefficiente parziale	Coefficiente parziale γ_M	(M1)	(M2)
Tangente dell'angolo di resistenza al taglio	$\tan \varphi'_k$	$\gamma_{\varphi'}$	1,0	1,25
Coesione efficace	c'_k	γ_c'	1,0	1,25
Resistenza non drenata	c_{uk}	γ_{cu}	1,0	1,4
Peso dell'unità di volume	γ_y	γ_y	1,0	1,0

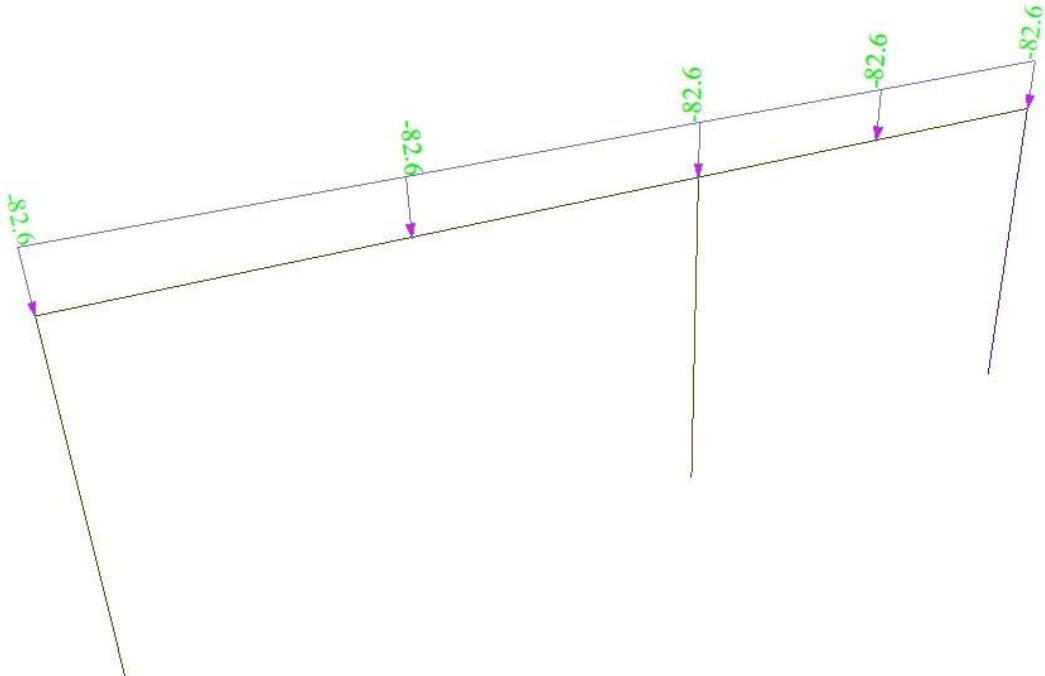
Tabella 7-3: Coefficienti parziali per i parametri geotecnici del terreno (Tab. 6.2.II – NTC18).

7.7 ANALISI CARICHI

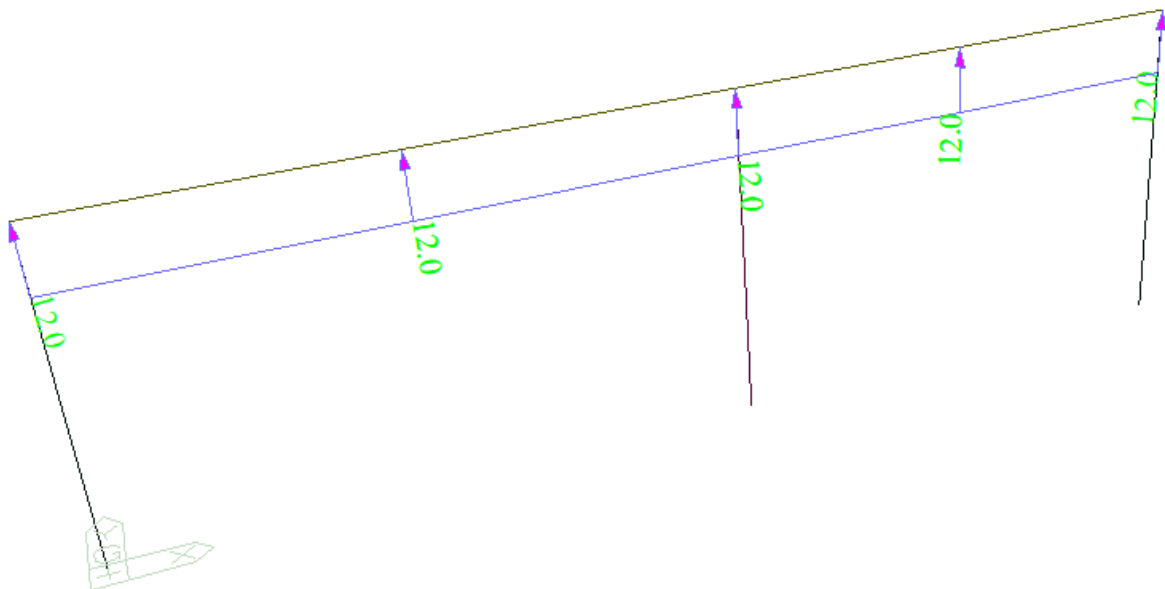
Si presentano i carichi che si sono considerati nell'analisi svolte. Il programma di calcolo computa automaticamente il peso proprio strutturale in base al volume e alla densità.

Peso proprio travi 22.4 kN/m

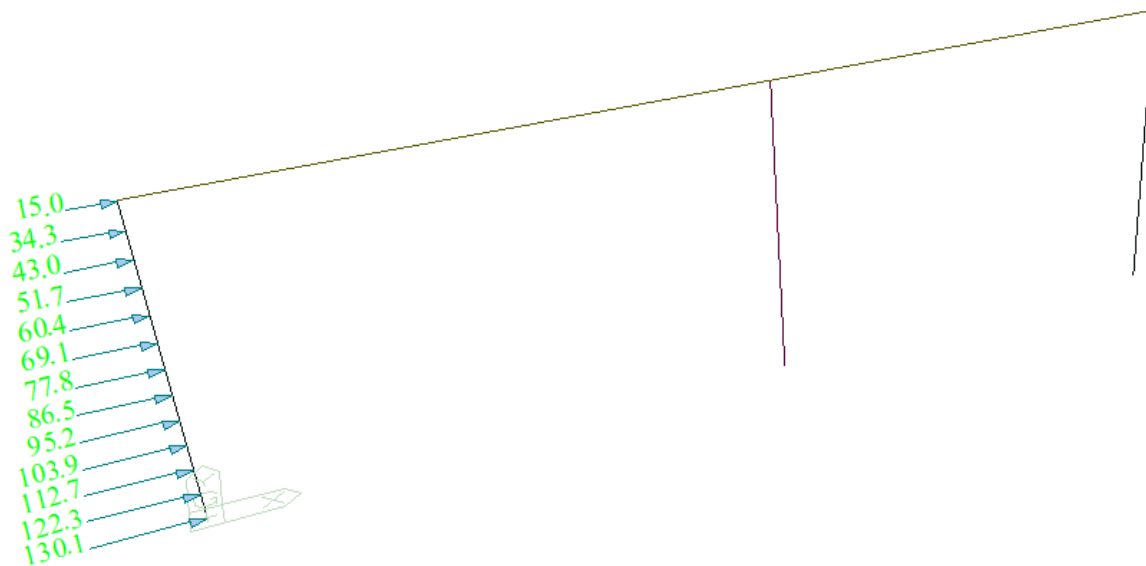
Peso proprio terreno in copertura 82.6 kN/m



Presollecitazione -12 kN/m



Spinta delle terre $k_0 \cdot \gamma = 0.56 \cdot 18.35 \text{ kN/m}^3$

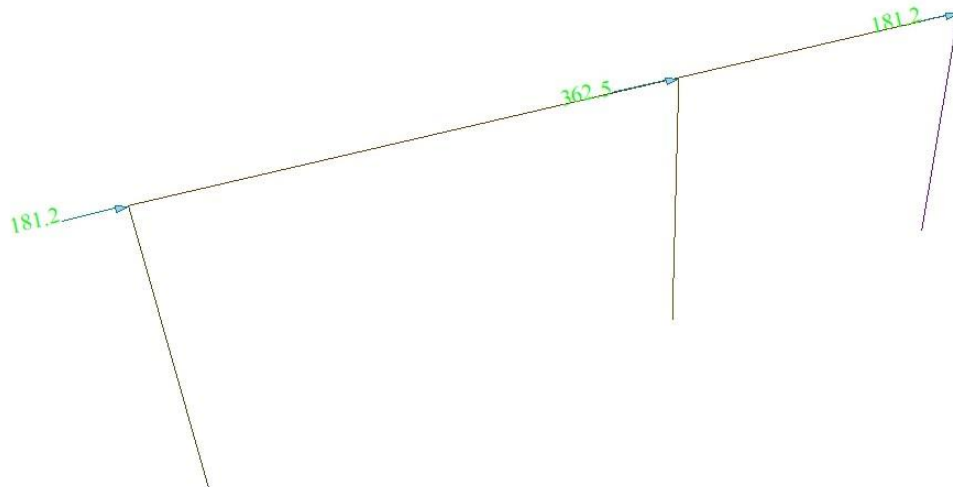


Carico concentrato di compressione applicato ai nodi estremi delle travi 2770 kN

Carico di compressione applicato ai nodi estremi dei piedritti laterali 2269 kN



Carichi nodali applicati ai nodi in copertura per il sisma considerando, a favore di sicurezza, un valore $S_d(T) = 0.1722g$, ovvero l'ordinata massima dello spettro di risposta di progetto allo SLV



Dato che risulta un valore k_h pari a 0.097 allo SLV, le forze d'inerzia associate al peso del terreno sono state considerate, a favore di sicurezza, utilizzando il valore k_0 , il quale è pari a 0.56.

7.8 RISULTATI DELLE ANALISI

I risultati delle analisi sono di seguito descritti in sintesi ed illustrati in maggior dettaglio nell'allegato pertinente).

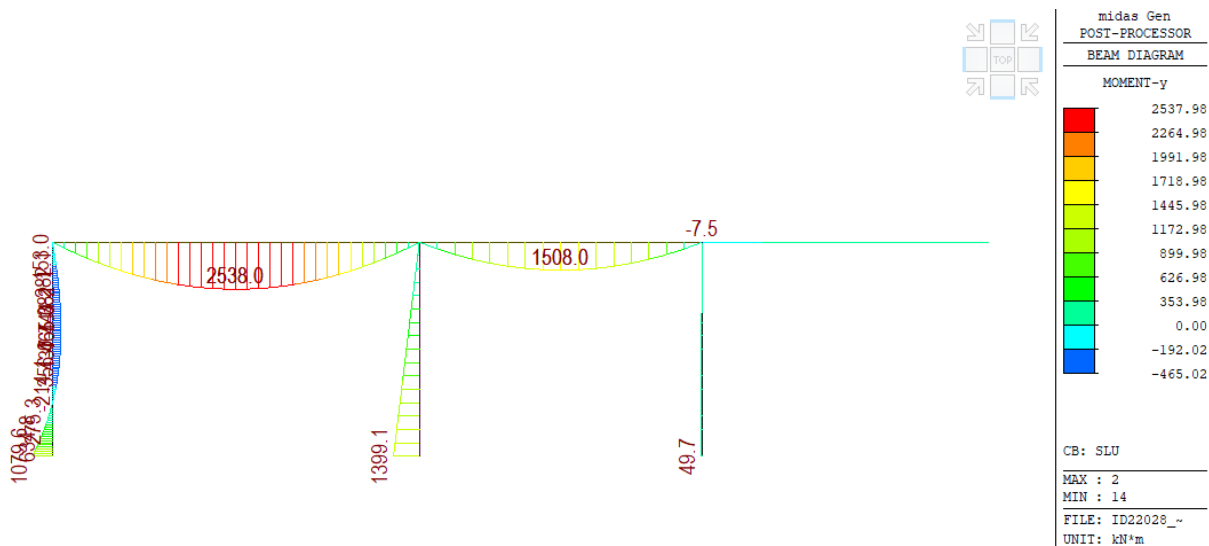


Figura 7-6: Andamento dei momenti sollecitanti SLU in fase 1 – con puntone;

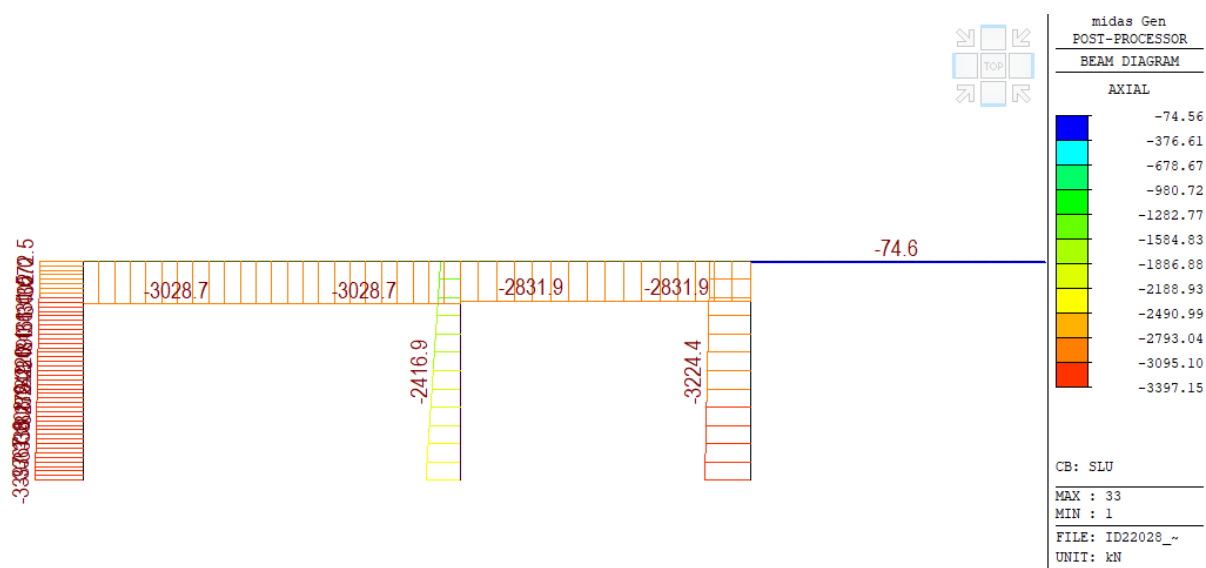


Figura 7-7: Andamento delle azioni assiali sollecitanti SLU in fase 1 – con puntone;

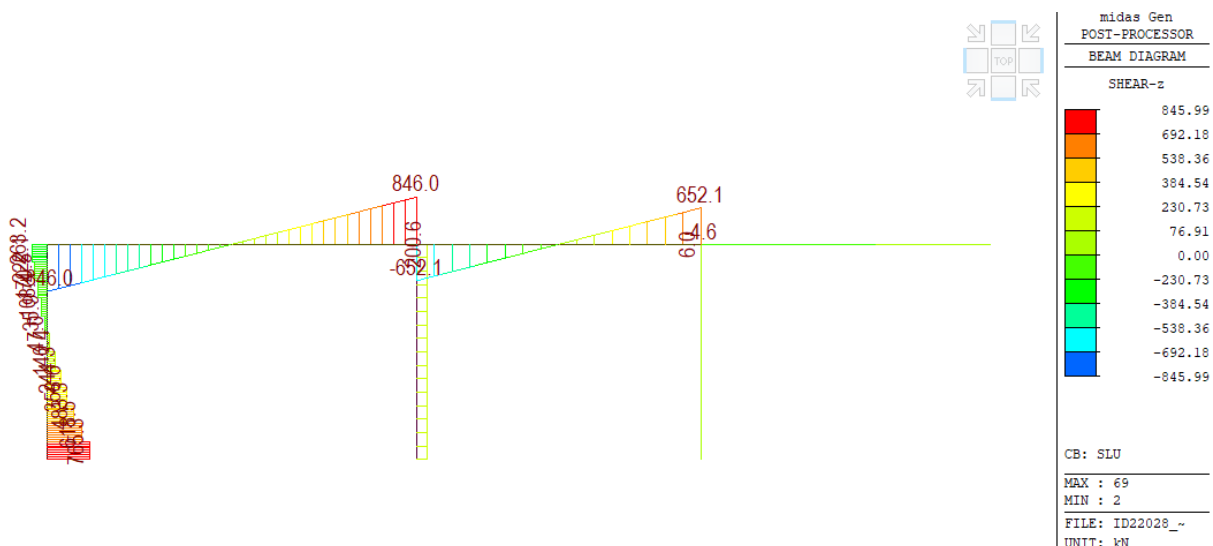


Figura 7-8: Andamento delle azioni a taglio sollecitanti SLU in fase 1 – con puntone;

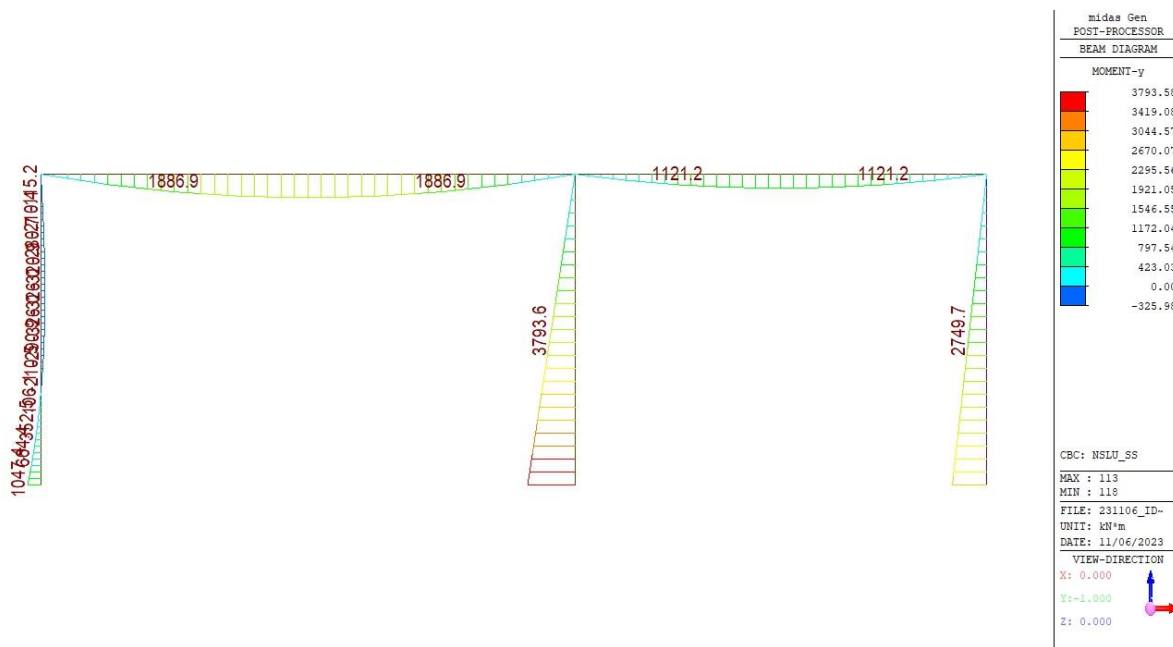


Figura 7-9: Andamento dei momenti sollecitanti SLU in fase finale;

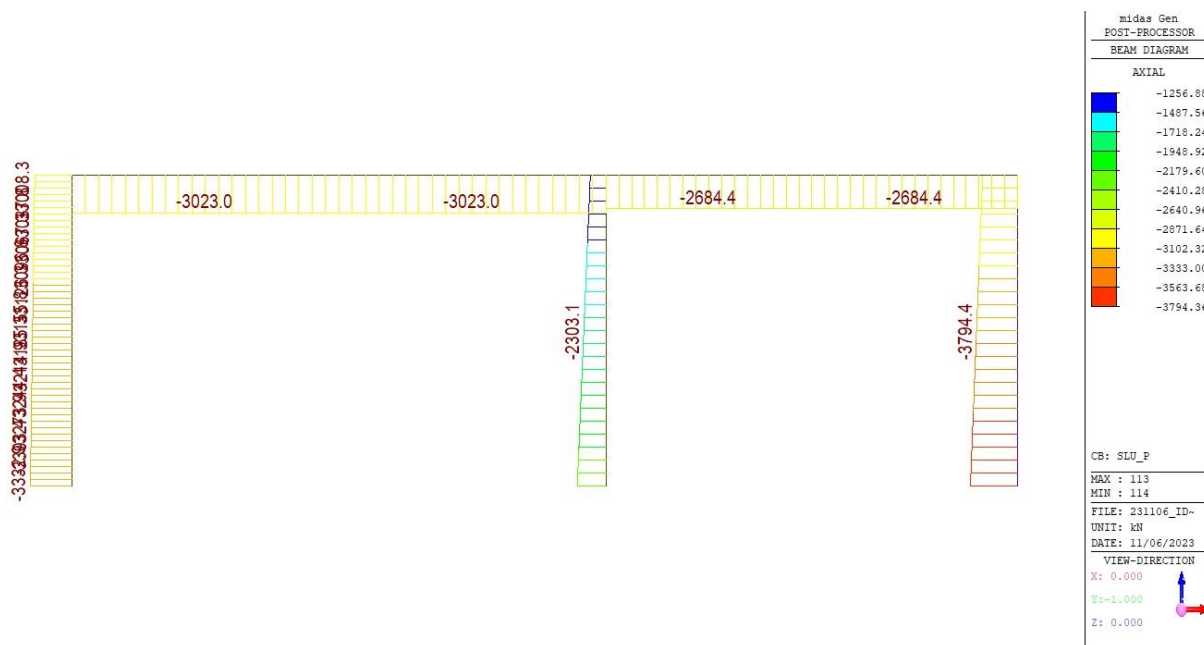


Figura 7-10: Andamento delle azioni assiali sollecitanti SLU in fase finale;

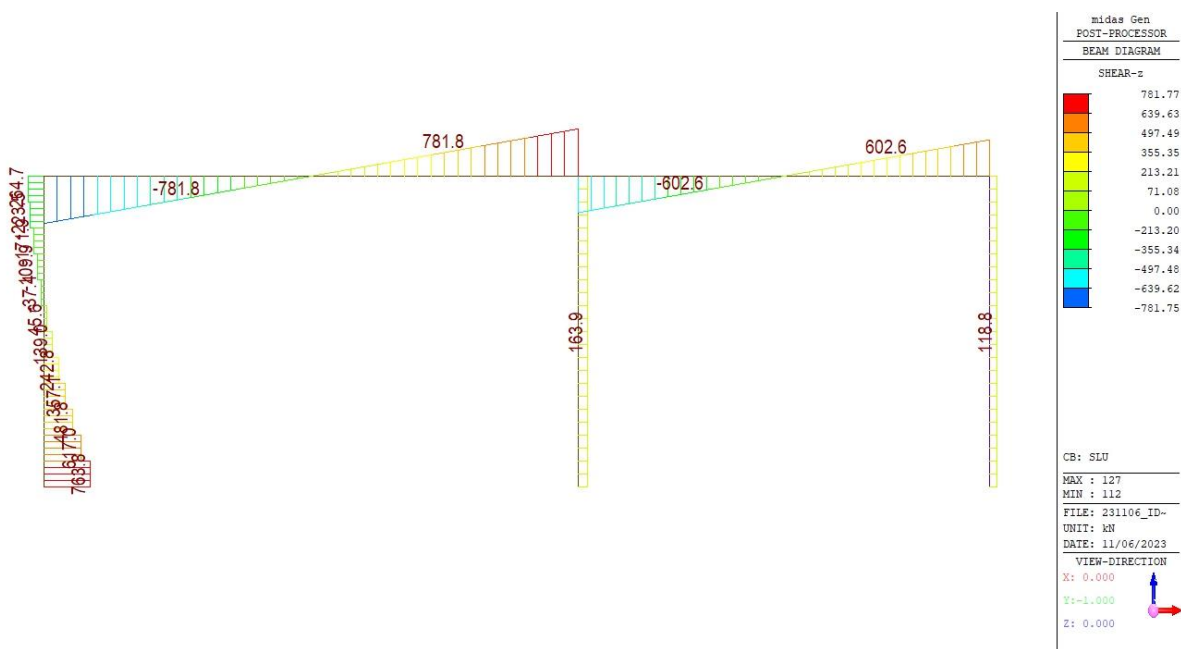


Figura 7-11: Andamento delle azioni a taglio sollecitanti SLU in fase finale;

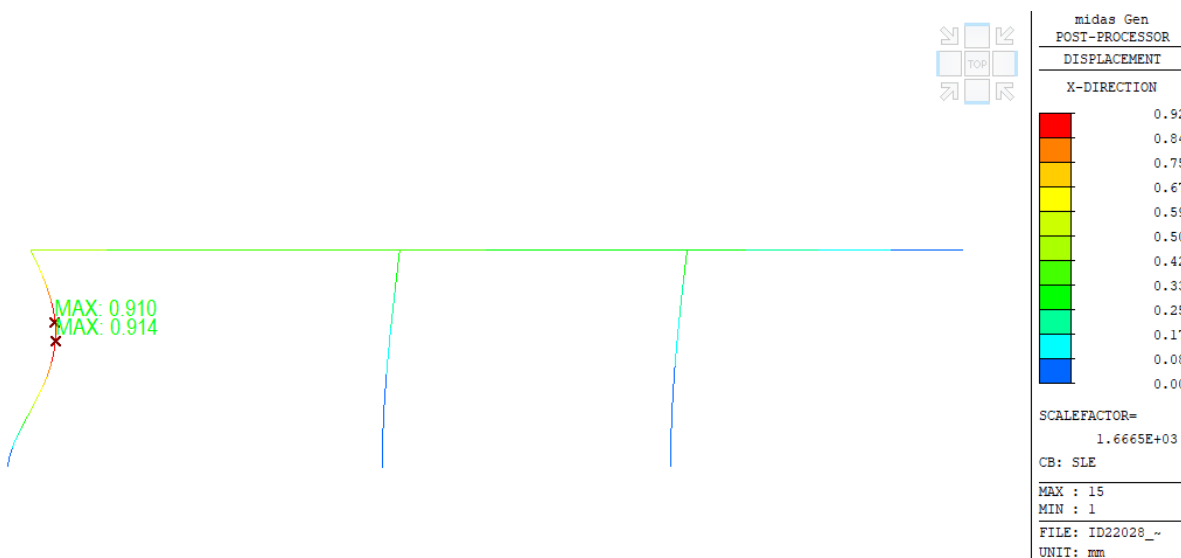


Figura 7-12: Massimo spostamento laterale in fase 1 in mm;

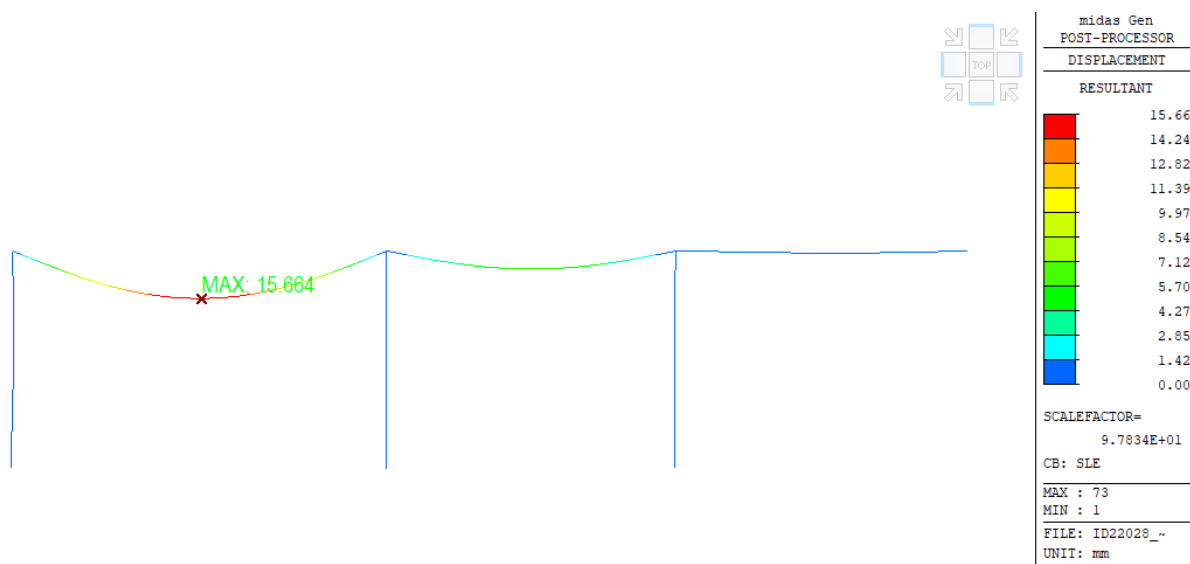


Figura 7-13: Massimo spostamento verticale in fase 1 in mm;

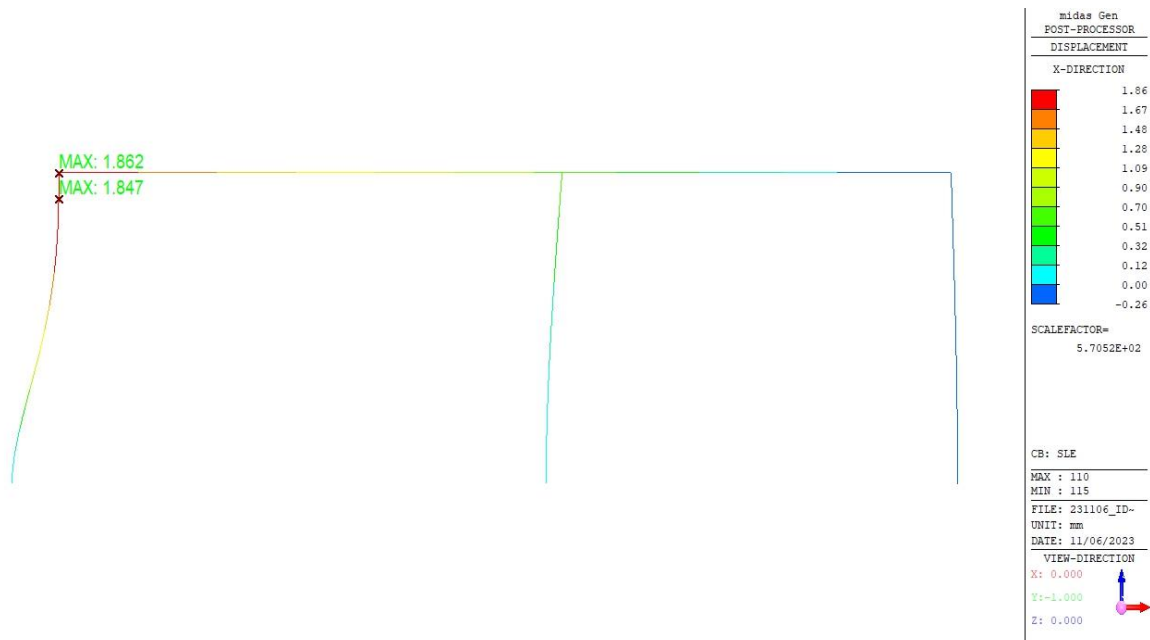


Figura 7-14: Massimo spostamento laterale in fase finale in mm;

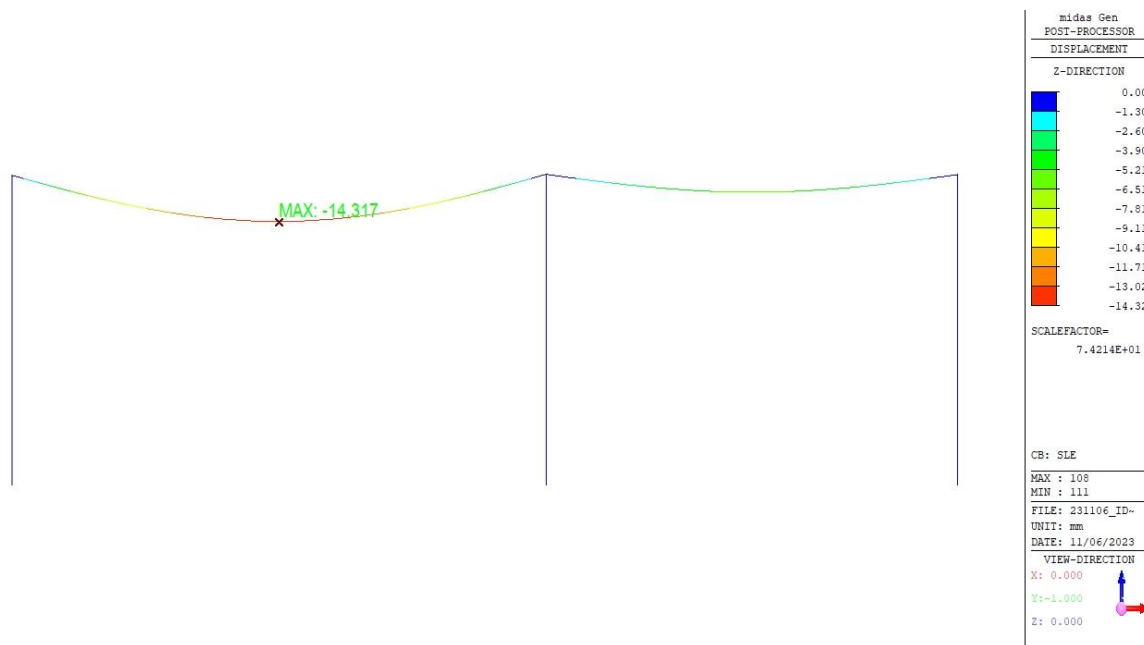


Figura 7-15: Massimo spostamento verticale in fase finale in mm;

	M	N	V
	kN/m	kN	kN
Piedritto laterale	1079	3333	764
Piedritto centrale	3794	2416	164
Trave di copertura	2538		846
Muro laterale	2750		119

Tabella 7-4: Azioni sollecitanti di verifica

7.8.1 Verifiche STR – trave di copertura

Si riporta la verifica della trave prefabbricata di copertura, si fa notare che questo elemento per via dello schema statico adottato, con la presenza delle discontinuità nel nodo con i piedritti non è influenzato dalle interferenze realizzative dell'opera di potenziamento. Le azioni agenti sono dunque relative alle condizioni già in essere. Ci si riferisce alle verifiche già condotte nella relazione di vulnerabilità, a cui si rimanda per completezza, le verifiche condotte lato flessione portano a definire un momento resistente pari a 3334 kNm, quindi si ha un coefficiente di sicurezza pari a 1.31, la verifica risulta soddisfatta.

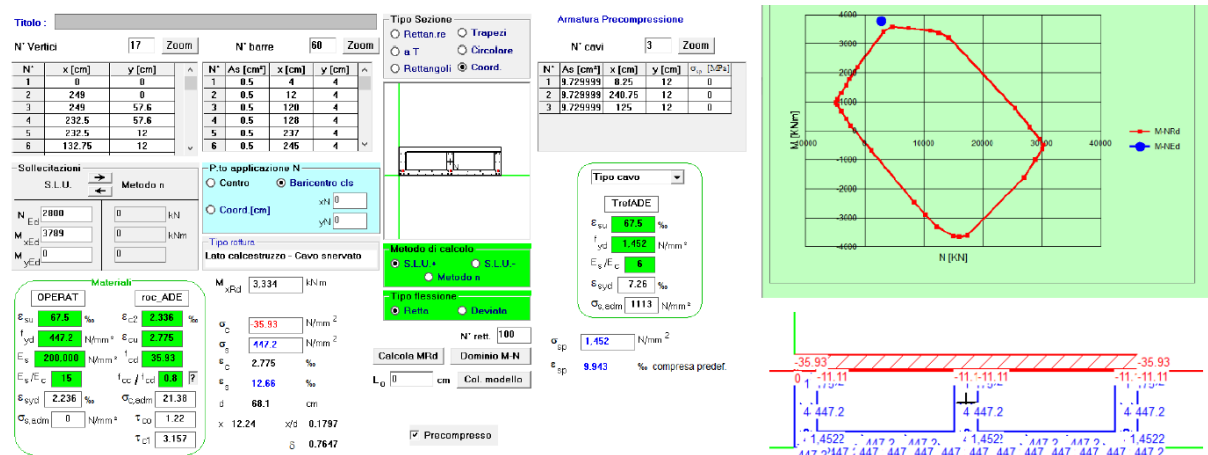


Figura 7-16: Resistenza a flessione delle travi di copertura;

Nel caso di verifica a taglio la relazione di vulnerabilità porta a un taglio resistente paria a $V_{Rd}=731 \text{ kN}$ in corrispondenza degli appoggi con un taglio agente pari a 846 kN , il coefficiente di verifica risulta 0.86, VERIFICA NON SODDISFATTA.

Al fine di garantire la capacità di carico a taglio della trave di copertura, considerando che gli interventi di tipo locale possono essere particolarmente onerosi si ritiene necessario ridurre i carichi dovuti al terreno di riporto portando il ricoprimento ad un valore inferiore ad 1.8m, in questo modo la verifica a taglio risulta verificata e la struttura adeguata.

7.8.2 Verifiche STR – piedritto laterale

Anche per il piedritto laterale l'azione massima non è indotta dalla modifica statica dovuta all'asimmetria del carico, la spinta del terreno genera un momento massimo $M_{Ed}=1079 \text{ kNm}$ mentre il momento resistente risulta pari a $M_{Rd}=1718 \text{ kNm}$ con un coefficiente di sicurezza pari a 1.59.

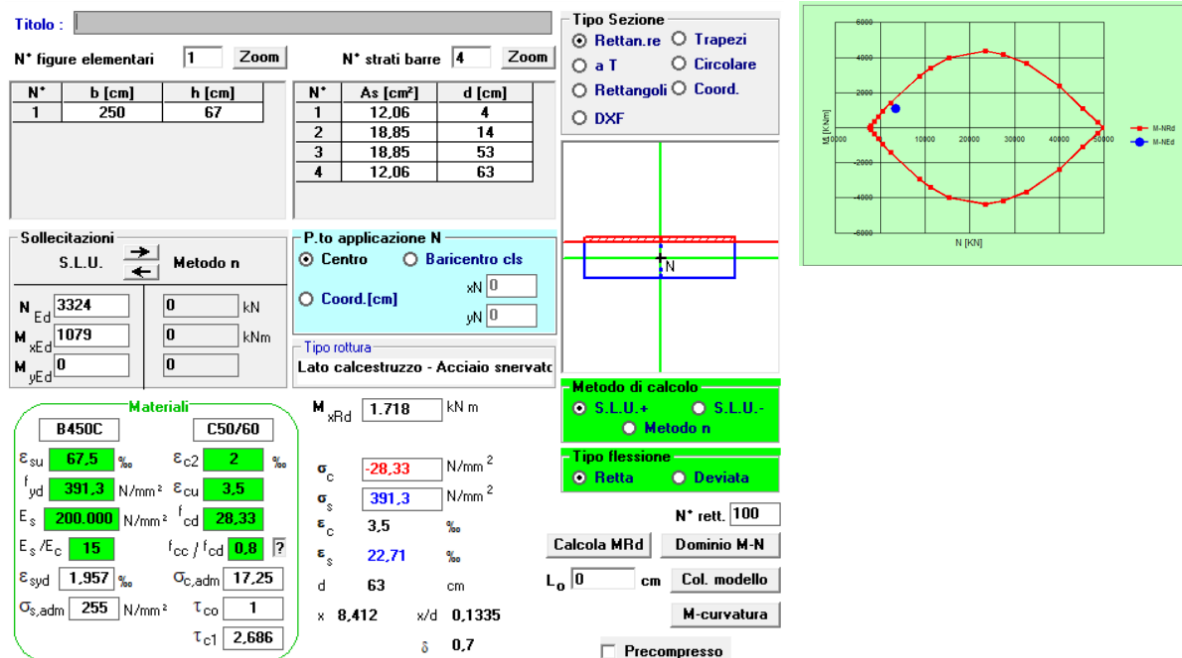


Figura 7-17: Resistenza a flessione piedritto laterale;

A taglio la sezione presenta una staffatura al piede costituita da staffe diametro 8 mm passo 100 mm, considerando le resistente dedotte durante le analisi di assestamento la resistenza a taglio risulta pari a $V_{Rd}=1629,49$ kN rispetto ad un taglio agente di 764 kN, con fattore di sicurezza pari a 2,13.

bw	375 mm
d	730 mm
Ac	1537500 mm ²
Np=	3324 kN
σ_c	2,16 MPa
f_{ck}	42
γ_c	1,5
α	90
A_{sw}	301,44 mm ²
f_{ys}	473,1 MPa
s	100 mm
Vrsd	1629,49 kN

Figura 7-18: Resistenza a taglio piedritto laterale;

7.8.3 Verifiche STR – piedritto centrale

In questo caso il piedritto centrale subisce un incremento di carico dovuto all’asimmetria che lo induce ad un aumento di azioni agenti sia in termini di momento che azioni taglienti.

L’armatura a taglio presente nell’elemento è doppia rispetto al piedritto laterale essendo due elementi accoppiati e poi resi collaboranti dal getto di riempimento. Il taglio agente pari a $V_{Ed}=164$ kN è inferiore al taglio precedentemente definito.

Il momento massimo agente risulta invece pari a $M_{Ed}=3794$ kNm mentre il momento resistente è pari a $M_{Rd}=4560$ kNm.

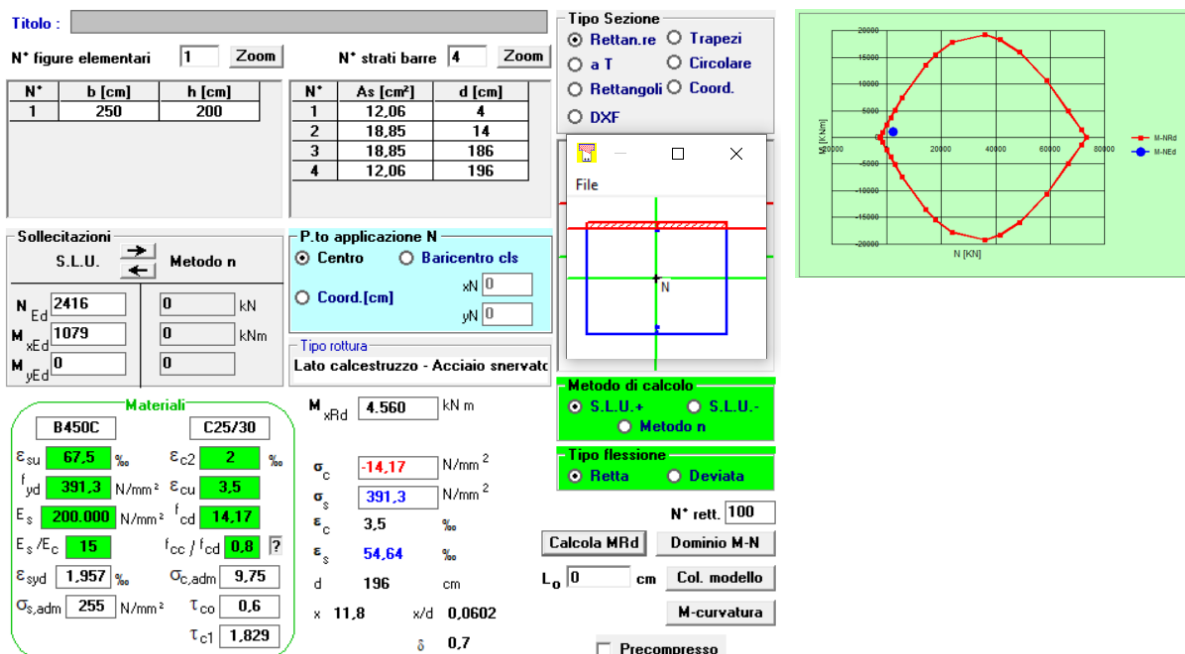


Figura 7-19: Resistenza a flessione piedritto centrale;

7.8.4 Verifiche STR – muro

In configurazione finale verrà rimosso il punto e le spinte asimmetriche si scaricheranno sul muro caratterizzato da uno spessore pari a 70 cm. A tergo dello stesso verrà predisposto un getto di riempimento di calcestruzzo alleggerito strutturale in grado di trasferire con continuità le azioni dal piedritto esistente alla nuova opera.

A favore di sicurezza non si considera collaborante in alcun modo le due strutture e si ipotizzando che le azioni gravino unicamente sul muro di nuova realizzazione.

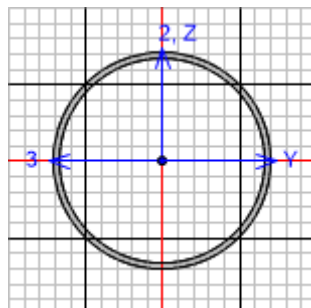
Il momento agente è pari a 2750 kNm mentre il taglio agente è pari a 119 kN.

Risulta un coefficiente di sicurezza a flessione pari a 1.73 e a taglio pari a 5.52.

CALCOLO NTC 2018 Muro																			
GEOMETRIA DELLA SEZIONE					Cs = copriferro delle staffe (*) dati opzionali														
SEZ.	B compr. cm	B anima (*) cm	B tesa (*) cm	H cm	Cs cm	d (*) cm	Acciaio	Descrizione											
1	250.0			70.0	4.1	59.4	1												
2																			
3																			
4																			
5																			
6																			
7																			
8																			
9																			
10																			
n = 15 Coeff. omogenizzazione armature S.L.E. Fs SLU = 1 (1) N cost (2) e = M/N cost																			
ACCIAIO 1 per staffe e dove indicato per armatura longitudinale fyk Mpa = 450.00 tensione caratteristica di snervamento fyd Mpa = 391.30 tensione di calcolo fs es. Mpa = 360.00 Max. tensione esercizio = 0.80 x fyk																			
ACCIAIO 2 dove indicato per armatura longitudinale fyk Mpa = 450.00 tensione caratteristica di snervamento fyd Mpa = 391.30 tensione di calcolo fs es. Mpa = 360.00 Max. tensione esercizio = 0.80 x fyk																			
SEZIONE		AZIONI S.L.E.		AZIONI S.L.U.			ARMATURA As (Tesa da M)			ARMATURA A's (Compressa da M)			ARMATURA A TAGLIO (ϕ = 0 in assenza armatura)						
SEZ.	Z m	Mo kNm	No kN	Msd kNm	Nsd kN	Vsd kN	SEZ.	n. ferri (x As)	ϕ mm	As cm ²	n. ferri (x A's)	ϕ mm	A's cm ²	ϕ mm	passo cm	n. braccia	Cotg θ 1 < < 2,5		
1	0.00	1'833	0	2'750	0	119	1	50	24	226.19	25	24	113.10	8	20	12.5	1.0		
2							2			0.00			0.00						
3							3			0.00			0.00						
4							4			0.00			0.00						
5							5			0.00			0.00						
6							6			0.00			0.00						
7							7			0.00			0.00						
8							8			0.00			0.00						
9							9			0.00			0.00						
10							10			0.00			0.00						
VERIFICHE SOLLECITAZIONI S.L.E. e S.L.U.																			
M - N S.L.E.										M - N S.L.U.			V S.L.U.						
SEZ.	d cm	d' cm	X cm	σ cls Mpa	σ f Mpa	σ' f Mpa	TEST S.L.E.	X / d	Mrd kNm	Nrd kN	Fs. ≥=1	Ast. min. cm ² /m	Ast. pro. cm ² /m	Vrd CLS	Vrd Acciaio	Vrd kn	TEST S.L.U.		
1	59.40	6.10	25.57	-7.92	157.16	-90.46	SI	0.22	4'761	0	1.73	30.24	31.42	6'627	657	657	SI		
2																			
3																			
4																			
5																			
6																			
7																			
8																			
9																			
10																			
Positive sollecitazioni σ cls - σ f - σ' f di trazione X nullo sezione interamente reagente σ cls < fct fes (non si eseguono verifiche a fessurazione) X = 0 asse neutro esterno alla sezione per tensoflessione - agenti solo armature										Ast. min. = armatura minima EC2 Ast. pro. = armatura di progetto TEST = SI * Vrd > Vsd ma Ast.Pro. < Ast.Min.									
VERIFICA S.L.E. FESSURAZIONE																			
SEZ.	Z m	As tesa cm ²	B _{tesa} cm	Ac eff. cm ²	Pr As/Aceff	ϕ mm	Sr max mm	σ s Mpa	ε _{sm} -ε _{cm} x 1000	ε _{min} x 1000	Wk mm	TEST FESS.	Dist max mm						
1	0.00	226.2	250.0	3'702	0.061	24	233.4	157.2	0.611	0.449	0.143	SI	305						
2														Wk _{amm} = 0.20 mm					
3														ε _{mini} = 0.60 x cs / Es					
4														Dist max = 5 * (C _{tot} + ϕ/2) max. distanza tra le barre per validità della formulazione					
5																			
6																			
7																			
8																			
9																			
10																			
K1 = 0.80 (0,8 aderenza migl. 1,6 lisce) K2 = 0.50 (0,5 pressofless. 1,0 frazione)										Kt = 0.40 (0,6 breve durata 0,4 lunga durata)									

7.8.5 Verifiche – puntone

Di seguito si riportano le verifiche strutturali del puntone:



Italian NTC 2018 STEEL SECTION CHECK (Summary for Combo and Station)
Units : KN, m, C

Frame : 1 X Mid: 0. Combo: ECC1 Design Type: Beam
Length: 11.05 Y Mid: 0. Shape: CHHF457X12.5 Frame Type: Non Dissipative
Loc : 11.05 Z Mid: 0. Class: Class 2

Interaction=Method B	MultiResponse=Envelopes		
GammaM0=1.05	GammaM1=1.05	GammaM2=1.25	
An/Ag=1.	RLLF=1.	PLL=0.75	D/C Lim=0.95
0. deg			Prin. Axis Angle =
Aeff=0.018	Av,2=0.011	Av,3=0.011	eNy=0.
A=0.018	Iy=4.310E-04	iy=0.157	Wel,y=0.002
It=8.630E-04	Iz=4.310E-04	iz=0.157	Wel,z=0.002
Iw=0.	Iyz=0.	h=0.457	Wpl,y=0.002
E=210000000.	fy=355000.	fu=510000.	Wpl,z=0.002

STRESS CHECK FORCES & MOMENTS						
Location	Ned	My,Ed	Mz,Ed	V2,Ed	V3,Ed	TEd
11.05	-1082.733	-1.834E-14	-2.842E-14	7.442	75.	0.

PMM DEMAND/CAPACITY RATIO (Governing Equation NTC Eq C4.2.38)
D/C Ratio: $0.783 = 0.254 + \sqrt{(0.017)^2 + (0.529)^2} < 0.95$ OK
 $= Ned / (\chi_z \cdot N_{Rk}/\Gamma M_1) + \sqrt{(k_{zy} (My, Ed + Ned eNy) / (\chi_{LT}$
 $My, Rk/\Gamma M_1))^2 + (k_{zz} (Mz, Ed + Ned eNz) / (Mz, Rk/\Gamma M_1))^2}$ (NTC Eq C4.2.38)

AXIAL FORCE DESIGN						
	NEd	Nc,Rd	Nt,Rd			
	Force	Capacity	Capacity			
Axial	-1082.733	5916.667	5916.667			

Npl,Rd	Nu,Rd	Ncr,T	Ncr,TF	An/Ag
5916.667	6426.	1415101.779	7315.965	1.

Curve	Alpha	Ncr	LambdaBar	Phi	Chi	Nb,Rd
Y-Y	a 0.21	7315.967	0.922	1.	0.72	4257.84
Y-Y Braced	a 0.21	7315.967	0.922	1.	0.72	4257.84
Z-Z	a 0.21	7315.967	0.922	1.	0.72	4257.84
Z-Z Braced	a 0.21	7315.967	0.922	1.	0.72	4257.84
Torsional TF	a 0.21	7315.965	0.922	1.	0.72	4257.839

MOMENT DESIGN		MEd	MEd, span	Mm, Ed	Meq, Ed
---------------	--	-----	-----------	--------	---------

	Moment	Moment	Moment	Moment
Y-Y	0.	20.559	13.682	17.787
Z-Z	0.	414.375	207.188	310.781
	Mc, Rd	Mv, Rd	Mn, Rd	Mb, Rd
	Capacity	Capacity	Capacity	Capacity
Y-Y	835.095	835.095	835.095	835.095
Z-Z	835.095	835.095	835.095	835.095
	Curve	AlphaLT	LambdaBarLT	PhiLT
LTB	d	0.76	0.188	0.513
				ChiLT
				1.
	Iw			Mcr
	0.			24709.091
Factors	kw	Psi	C2	C3
	1.	1.132	0.459	0.525
	za	zs	zg	zz
	0.229	0.	0.229	0.
	zj			
Factors	kyy	kyz	kzy	kzz
	1.124	0.639	0.675	1.065
	Ved	Vp1,Rd	Ved/Vp1,Rd	rho
	Force	Capacity	Ratio	Factor
2-Axis	7.442	2174.685	0.003	1.
3-Axis	75.	2174.685	0.034	1.
SHEAR DESIGN				
	VEd	TEd	Vc, Rd	Stress
	Force	Torsion	Capacity	Ratio
2-Axis	7.442	0.	2174.685	0.003
3-Axis	75.	0.	2174.685	0.034
				Status
				Check
				OK
				OK
	Vp1,Rd	Eta	Lambdabar	Chi
	Capacity	Factor	Ratio	Factor
2-Axis	2174.685	1.2	0.	1.
3-Axis	2174.685	1.2	0.	1.
CONNECTION SHEAR FORCES FOR BEAMS				
	V2	V2		
	Left	Right		
2-2 (V2)	9.675	9.675		

8 CONCLUSIONI

Nella presente relazione sono stati sintetizzati gli aspetti principali della progettazione degli interventi di potenziamento dell’interconnessione A52 – A4 relativamente allo snodo di collegamento tra la A4 e la SS36 funzionale alle Olimpiadi del 2026. In particolare, sono stati sintetizzati gli aspetti progettuali principali per la zona di interferenza con la galleria esistente San Rocco.

Le soluzioni progettuali sono state verificate nelle condizioni ritenute più significative per il comportamento delle opere. Definite le sezioni di calcolo sono state condotte le verifiche previste dalla Normativa vigente a dimostrazione dell’adeguatezza e dell’efficacia delle soluzioni progettuali proposte, sia in fase costruttiva, sia nella configurazione finale ed in condizioni sismiche.

9 ALLEGATI

9.1 OUTPUT MIDAS GEN

9.1.1 Fase 1 – con puntone

< Node >

*** NODE DATA

NO	X	Y	Z	TEMPERATURE
1	0	0	0	0
2	0	0	6.975	0
3	12	0	0	0
4	12	0	6.975	0
5	21.25	0	0	0
6	21.25	0	6.975	0
7	0	0	1.162	0
8	0	0	2.325	0
9	0	0	3.487	0
10	0	0	4.65	0
11	0	0	5.813	0
12	0	0	0.5812	0
13	0	0	1.744	0
14	0	0	2.906	0
15	0	0	4.069	0
16	0	0	5.231	0
17	0	0	6.394	0
35	30.65	0	6.975	0
73	6	0	6.975	0
74	16.63	0	6.975	0

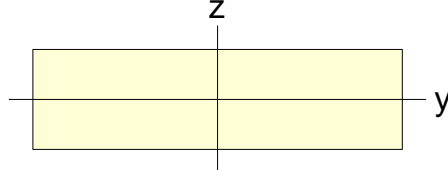
< Material >

N	Ty	St	C	Pr	Us	El	Po	Th	De	Ma	St	C	Ela	Po	Th	De	Ma	Pl	Sp.	Heat	Ma	Sh	Ela	Th	Sh	Po	Ela	Th	Sh	Po		
I	mpe	anod	D	cod	Mat	is	po	er	ns	ss	an	o	El	po	er	ns	ss	as	Hea	Co.	Ma	Sh	Ela	Th	Sh	Po	Ela	Th	Sh	Po		
m	pe	da	d	B	uc	ci	so	ma	it	De	da	d	El	po	ma	it	de	as	Hea	(Btu	te	ea	Ela	Th	Sh	Po	Ela	Th	Sh	Po		
e	rde	d		t	De	ty	n	(1	(N	it	rd	e	El	po	12	y2	ns	ti	t	/mm*	al	Mo	st	er	ea	is	sti	er	ma	Sh	ea	Po
					ns	(N	/	[/m	y	2	2	El	po	(1	(N	it	c	(Bt	/hr*[Mo	st	er	ea	is	sti	er	ma	Sh	ea	Po	
													El	po	/	/			C])	[Ty	ri	El	Th	Sh	Po	Ela	Th	Sh	Po		
													El	po	/	/			C])	[Ty	ri	El	Th	Sh	Po	Ela	Th	Sh	Po		
													El	po	/	/			C])	[Ty	ri	El	Th	Sh	Po	Ela	Th	Sh	Po		
													El	po	/	/			C])	[Ty	ri	El	Th	Sh	Po	Ela	Th	Sh	Po		
													El	po	/	/			C])	[Ty	ri	El	Th	Sh	Po	Ela	Th	Sh	Po		
													El	po	/	/			C])	[Ty	ri	El	Th	Sh	Po	Ela	Th	Sh	Po		
													El	po	/	/			C])	[Ty	ri	El	Th	Sh	Po	Ela	Th	Sh	Po		
													El	po	/	/			C])	[Ty	ri	El	Th	Sh	Po	Ela	Th	Sh	Po		
													El	po	/	/			C])	[Ty	ri	El	Th	Sh	Po	Ela	Th	Sh	Po		
													El	po	/	/			C])	[Ty	ri	El	Th	Sh	Po	Ela	Th	Sh	Po		
													El	po	/	/			C])	[Ty	ri	El	Th	Sh	Po	Ela	Th	Sh	Po		
													El	po	/	/			C])	[Ty	ri	El	Th	Sh	Po	Ela	Th	Sh	Po		
													El	po	/	/			C])	[Ty	ri	El	Th	Sh	Po	Ela	Th	Sh	Po		
													El	po	/	/			C])	[Ty	ri	El	Th	Sh	Po	Ela	Th	Sh	Po		
													El	po	/	/			C])	[Ty	ri	El	Th	Sh	Po	Ela	Th	Sh	Po		
													El	po	/	/			C])	[Ty	ri	El	Th	Sh	Po	Ela	Th	Sh	Po		
													El	po	/	/			C])	[Ty	ri	El	Th	Sh	Po	Ela	Th	Sh	Po		
													El	po	/	/			C])	[Ty	ri	El	Th	Sh	Po	Ela	Th	Sh	Po		
													El	po	/	/			C])	[Ty	ri	El	Th	Sh	Po	Ela	Th	Sh	Po		
													El	po	/	/			C])	[Ty	ri	El	Th	Sh	Po	Ela	Th	Sh	Po		
													El	po	/	/			C])	[Ty	ri	El	Th	Sh	Po	Ela	Th	Sh	Po		
													El	po	/	/			C])	[Ty	ri	El	Th	Sh	Po	Ela	Th	Sh	Po		
													El	po	/	/			C])	[Ty	ri	El	Th	Sh	Po	Ela	Th	Sh	Po		
													El	po	/	/			C])	[Ty	ri	El	Th	Sh	Po	Ela	Th	Sh	Po		
													El	po	/	/			C])	[Ty	ri	El	Th	Sh	Po	Ela	Th	Sh	Po		
													El	po	/	/			C])	[Ty	ri	El	Th	Sh	Po	Ela	Th	Sh	Po		
													El	po	/	/			C])	[Ty	ri	El	Th	Sh	Po	Ela	Th	Sh	Po		
													El	po	/	/			C])	[Ty	ri	El	Th	Sh	Po	Ela	Th	Sh	Po		
													El	po	/	/			C])	[Ty	ri	El	Th	Sh	Po	Ela	Th	Sh	Po		
													El	po	/	/			C])	[Ty	ri	El	Th	Sh	Po	Ela	Th	Sh	Po		
													El	po	/	/			C])	[Ty	ri	El	Th	Sh	Po	Ela	Th	Sh	Po		
													El	po	/	/			C])	[Ty	ri	El	Th	Sh	Po	Ela	Th	Sh	Po		
													El	po	/	/			C])	[Ty	ri	El	Th	Sh	Po	Ela	Th	Sh	Po		
													El	po	/	/			C])	[Ty	ri	El	Th	Sh	Po	Ela	Th	Sh	Po		
													El	po	/	/			C])	[Ty	ri	El	Th	Sh	Po	Ela	Th	Sh	Po		
													El	po	/	/			C])	[Ty	ri	El	Th	Sh	Po	Ela	Th	Sh	Po		
													El	po	/	/			C])	[Ty	ri	El	Th	Sh	Po	Ela	Th	Sh	Po		
													El	po	/	/			C])	[Ty	ri	El	Th	Sh	Po	Ela	Th	Sh	Po		
													El	po	/	/			C])	[Ty	ri	El	Th	Sh	Po	Ela	Th	Sh	Po		
													El	po	/	/			C])	[Ty	ri	El	Th	Sh	Po	Ela	Th	Sh	Po		
													El	po	/	/			C])	[Ty	ri	El	Th	Sh	Po	Ela	Th	Sh	Po		
													El	po	/	/			C])	[Ty	ri	El	Th	Sh	Po	Ela	Th	Sh	Po		
													El	po	/	/			C])	[Ty	ri	El	Th	Sh	Po	Ela	Th	Sh	Po		
													El	po	/	/			C])	[Ty	ri	El	Th	Sh	Po	Ela	Th	Sh	Po		
													El	po	/	/			C])	[Ty	ri	El	Th	Sh	Po	Ela	Th	Sh	Po		
													El	po	/	/			C])	[Ty	ri	El	Th	Sh	Po	Ela	Th	Sh	Po		
													El	po	/	/			C])	[Ty	ri	El	Th	Sh	Po	Ela	Th	Sh	Po		
													El	po	/	/			C])	[Ty	ri	El	Th	Sh	Po	Ela	Th	Sh	Po		
													El	po	/	/			C])	[Ty	ri	El	Th	Sh	Po	Ela	Th	Sh	Po		
													El	po	/	/			C])	[Ty	ri	El	Th	Sh	Po	Ela	Th	Sh	Po		
													El	po	/	/			C])	[Ty	ri	El	Th	Sh	Po	Ela	Th	Sh	Po		
													El	po	/	/			C])	[Ty	ri	El	Th	Sh	Po	Ela	Th	Sh	Po		
													El	po	/	/			C])	[Ty	ri	El	Th	Sh	Po	Ela	Th	Sh	Po		
													El	po	/	/			C])	[Ty	ri	El	Th	Sh	Po	Ela	Th	Sh	Po		

					it y	/m^ 2)	C])	m^ 3)	(N /m m^ 3/ g)			mm^ 2)	C])	m^ 3)	(N /m m^ 3/ g)	t1. .1)	* [C])			Y (N /m m^ 2)	mm^ 2)	/ [C])	z (N /m m^ 2)		mm^ 2)	/ [C])	z (N /m m^ 2)			
1	C 4 0 / 5 0	Co nc re te	EN 04 (R C)	C 4 0 / 5 0	X	3. 52 20 e+ 04	1. 0. 00 e- 05	2. 00 00 e- 05	2. 50 93 e- 09							No ne	0.0 000	0.00	Is ot ro pi c	0. 00 00 00 00	0.0 00 00 00 00	0. 00 00 00 00	0. 00 00 00 00	0. 00 00 00 00	0. 00 00 00 00	0. 00 00 00 00	0. 00 00 00 00			
2	C 5 0 / 6 0	Co nc re te	EN 04 (R C)	C 5 0 / 6 0	X	3. 72 77 e+ 04	1. 0. 00 e- 05	2. 00 00 e- 05	2. 50 93 e- 09							No ne	0.0 000	0.00	Is ot ro pi c	0. 00 00 00 00	0.0 00 00 00 00	0. 00 00 00 00	0. 00 00 00 00	0. 00 00 00 00	0. 00 00 00 00	0. 00 00 00 00	0. 00 00 00 00			
3	S 3 5 1	St ee (S 5 1)	EN 05 3 5	S 3 5	X	2. 10 00 e+ 05	1. 0. 00 e- 05	7. 20 80 e- 05	7. 69 98 e- 09							No ne	0.0 000	0.00	Is ot ro pi c	0. 00 00 00 00	0.0 00 00 00 00	0. 00 00 00 00	0. 00 00 00 00	0. 00 00 00 00	0. 00 00 00 00	0. 00 00 00 00	0. 00 00 00 00			

< Section Summary >

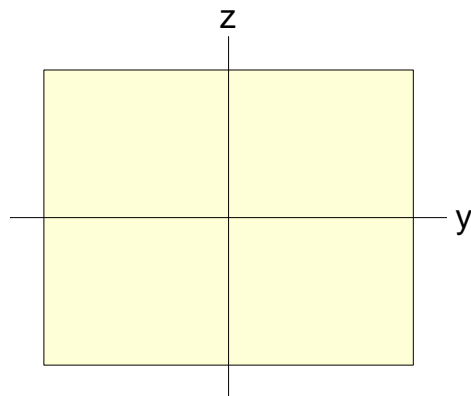
1 : Piedritto laterale



A (mm ²)	Asy (mm ²)	Asz (mm ²)	z (+) (mm)	z (-) (mm)

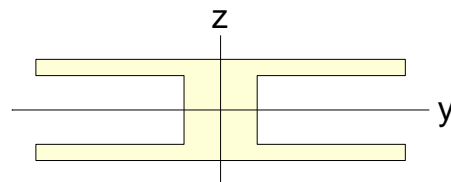
1692500.000	1410416.667	1410416.667	338.500	338.500
I _{xx} (mm ⁴)	I _{yy} (mm ⁴)	I _{zz} (mm ⁴)	y (+) (mm)	y (-) (mm)
214479964117.234	64643486041.667	881510416666.667	1250.000	1250.000

2 : Piedritto centrale



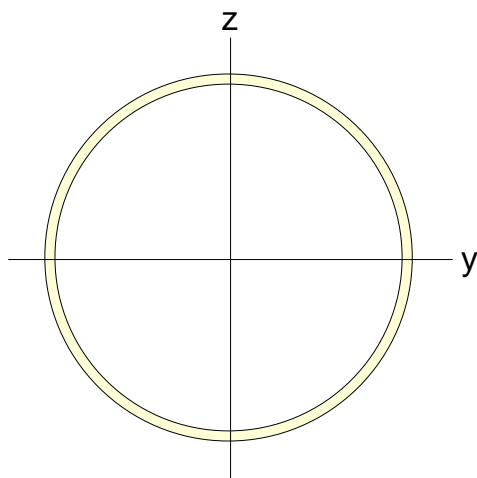
A (mm ²)	A _{sy} (mm ²)	A _{sz} (mm ²)	z (+) (mm)	z (-) (mm)
5000000.000	4166666.667	4166666.667	1000.000	1000.000
I _{xx} (mm ⁴)	I _{yy} (mm ⁴)	I _{zz} (mm ⁴)	y (+) (mm)	y (-) (mm)
3421354666666.666	1666666666666.667	2604166666666.667	1250.000	1250.000

3 : Soletta copertura



A (mm ²)	Asy (mm ²)	Asz (mm ²)	z (+) (mm)	z (-) (mm)
780670.000	458333.333	339570.000	343.000	343.000
Ixx (mm ⁴)	Iyy (mm ⁴)	Izz (mm ⁴)	y (+) (mm)	y (-) (mm)
20996813402.540	50348064543.333	291168326395.833	1250.000	1250.000

4 : CHS-HF 457x12.5



A (mm ²)	Asy (mm ²)	Asz (mm ²)	z (+) (mm)	z (-) (mm)

17460.000	8727.737	8727.737	228.500	228.500
I _{xx} (mm ⁴)	I _{yy} (mm ⁴)	I _{zz} (mm ⁴)	y (+) (mm)	y (-) (mm)
862896000.000	431450000.000	431450000.000	228.500	228.500

< Section Stiffness Scale Factor >

No	Name	fArea	fAsy	fAsz	fIx _x	fIy _y	fIz _z	fWgt	Part	Group
3	Soletta copertura	1.0000	1.0000	1.0000	1.0000	1.0000	1.0000	1.1400	Before	Default
4	CHS-HF 457x12.5	0.5000	0.5000	0.5000	0.5000	0.5000	0.5000	0.5000	Before	Default

< Beam >

*** BEAM MEMBER DATA

NO	NODAL CONNECTIVITY		BEAM	END	RELEASE	MATERIAL	SECTION	LENGTH
	I	J						
1	1	12	-	-	-	C40/50 Piedritto late~	0.5812	
2	2	73	000011	000000	-	C50/60 Soletta copert~	6	
3	3	4	-	-	-	C40/50 Piedritto cent~	6.975	
4	5	6	-	-	-	C40/50 Piedritto late~	6.975	
5	4	74	000011	000000	-	C40/50 Soletta copert~	4.625	
6	7	13	-	-	-	C40/50 Piedritto late~	0.5812	
7	8	14	-	-	-	C40/50 Piedritto late~	0.5812	
8	9	15	-	-	-	C40/50 Piedritto late~	0.5812	
9	10	16	-	-	-	C40/50 Piedritto late~	0.5813	
10	11	17	-	-	-	C40/50 Piedritto late~	0.5812	
11	12	7	-	-	-	C40/50 Piedritto late~	0.5812	
12	13	8	-	-	-	C40/50 Piedritto late~	0.5813	
13	14	9	-	-	-	C40/50 Piedritto late~	0.5813	
14	15	10	-	-	-	C40/50 Piedritto late~	0.5813	
15	16	11	-	-	-	C40/50 Piedritto late~	0.5812	
16	17	2	-	-	-	C40/50 Piedritto late~	0.5812	

33	6	35	-	-	S355 CHS-HF 457X12.5	9.4
69	73	4	000000	000011	C50/60 Soletta copert~	6
70	74	6	000000	000011	C40/50 Soletta copert~	4.625

< Boundary >

** SUPPORT / SPECIFIED DISPLACEMENT

NODE	SUPPORT	SPECIFIED DISPLACEMENT					
		DDDRRR	Dx	Dy	Dz	Rx	Rz
1	111111	0.0000	0.0000	0.0000	0.0000	0.0000	0.0000
3	111111	0.0000	0.0000	0.0000	0.0000	0.0000	0.0000
5	111111	0.0000	0.0000	0.0000	0.0000	0.0000	0.0000
35	111000	0.0000	0.0000	0.0000	0.0000	0.0000	0.0000

< Beam End Release >

Element	Type	Flag-i	Fxi	Fyi	Fzi	Mxi	Myi	Mzi	Mbi	Flag-j	Fxj	Fyj	Fzj	Mxj	Myj	Mzj	Mbj	Group
2	Relativ e	0000110	0.000	0.000	0.000	0.000	0.000	0.000	0.000	0000000	0.000	0.000	0.000	0.000	0.000	0.000	0.000	Default
5	Relativ e	0000110	0.000	0.000	0.000	0.000	0.000	0.000	0.000	0000000	0.000	0.000	0.000	0.000	0.000	0.000	0.000	Default
69	Relativ e	0000000	0.000	0.000	0.000	0.000	0.000	0.000	0.000	0000110	0.000	0.000	0.000	0.000	0.000	0.000	0.000	Default
70	Relativ e	0000000	0.000	0.000	0.000	0.000	0.000	0.000	0.000	0000110	0.000	0.000	0.000	0.000	0.000	0.000	0.000	Default

< Weight/Volume/Surface area of all member >

*** TOTAL WEIGHT / VOLUME / SURFACE AREA SUMMARY

SECTION NO	SECCION NAME	SURFACE AREA	VOLUME	WEIGHT	FRAME NUMBER	TRUSS NUMBER
---------------	-----------------	--------------	--------	--------	-----------------	-----------------

1	Piedritto late~	88.64	23.61	590.3	13	0
2	Piedritto cent~	62.77	34.88	871.9	1	0
3	Soletta copert~	220.6	16.59	414.7	4	0
4	CHS-HF 457X12.5	26.25	0.1641	12.63	1	0

< Static Loadcase >

*** LOAD CASE DATA

NO	NAME	TYPE	SELF WEIGHT FACTOR			DESCRIPTION
			X	Y	Z	
1	G1_Str	D	0.000	0.000	-1.000	
4	G1_Sovr	D	0.000	0.000	0.000	
2	G2_Spinte	D	0.000	0.000	0.000	
3	P	PS	0.000	0.000	0.000	
5	SN	S	0.000	0.000	0.000	
6	TEMP	PS	0.000	0.000	0.000	
7	SS	E	0.000	0.000	0.000	

< Self Weight >

[LOAD CASE : G1_Str]

; X=0, Y=0, Z=-1

< Nodal Load >

[LOAD CASE : G2_Spinte]

NODE	FX	FY	FZ	MX	MY	MZ
1	130.1	0	0	0	0	0
2	14.98	0	0	0	0	0
7	112.7	0	0	0	0	0

8	95.24	0	0	0	0	0
9	77.83	0	0	0	0	0
10	60.42	0	0	0	0	0
11	43.01	0	0	0	0	0
12	122.3	0	0	0	0	0
13	103.9	0	0	0	0	0
14	86.53	0	0	0	0	0
15	69.12	0	0	0	0	0
16	51.71	0	0	0	0	0
17	34.3	0	0	0	0	0

[LOAD CASE : P]

NODE	FX	FY	FZ	MX	MY	MZ

2	2770	0	-2269	0	0	0
6	-2770	0	-2269	0	0	0

< Beam Loads >

Ele men t	BM LD Ty pe	Loa d Cas e	Load Type	Ec c.	Ecc. Type	Ec c.	U s e r. J	Di st - I(m)	Di st - J(m)	Ad d. H	Ad d. Us e J	Ad d. d. Di st - I(J(m) m)	Ad d. d. Di st - I(J(m) m)	Direc tion	Proje ction	D1	D2	D3	D4	P1	P2	P3	P4	Un it	Dx	Dy	Dz	Gro up	
2	Be am Lo ad	G1_ Sov r	Distri buted Forces	No	Cent roid	Lo ca l Y	N o 0. 00	0. 00	No No	0. 00	0. 00	0. 00	0. 00	Global Z	No	0. 00	1. 00	0. 00	0. 00	0. 50	91 0. 00	91 0. 00	0. 00	0. 00	kN /m	0. 00	0. 00	0. 00	Def aul t
2	Be am Lo ad	SN	Distri buted Forces	No	Cent roid	Lo ca l Y	N o 0. 00	0. 00	No No	0. 00	0. 00	0. 00	0. 00	Global Z	No	0. 00	1. 00	0. 00	0. 00	0. 30	- 3. 00	- 3. 00	0. 00	0. 00	kN /m	0. 00	0. 00	0. 00	Def aul t
2	Be am Lo ad	P	Distri buted Forces	No	Cent roid	Lo ca l Y	N o 0. 00	0. 00	No No	0. 00	0. 00	0. 00	0. 00	Global Z	No	0. 00	1. 00	0. 00	0. 00	0. 00	12 0. 00	12 0. 00	0. 00	0. 00	kN /m	0. 00	0. 00	0. 00	Def aul t

5	Beam Load	G1-Sov	Distributed Forces	No	Centroid	Local Y	N 0.00	0.00	No	No	0.00	0.00	Global Z	No	0.00	0.00	0.00	-91.50	-91.50	0.00	0.00	kN/m	0.00	0.00	Def ault
5	Beam Load	SN	Distributed Forces	No	Centroid	Local Y	N 0.00	0.00	No	No	0.00	0.00	Global Z	No	0.00	0.00	0.00	-3.00	-3.00	0.00	0.00	kN/m	0.00	0.00	Def ault
5	Beam Load	P	Distributed Forces	No	Centroid	Local Y	N 0.00	0.00	No	No	0.00	0.00	Global Z	No	0.00	0.00	0.00	12.00	12.00	0.00	0.00	kN/m	0.00	0.00	Def ault
69	Beam Load	G1-Sov	Distributed Forces	No	Centroid	Local Y	N 0.00	0.00	No	No	0.00	0.00	Global Z	No	0.00	0.00	0.00	-91.50	-91.50	0.00	0.00	kN/m	0.00	0.00	Def ault
69	Beam Load	SN	Distributed Forces	No	Centroid	Local Y	N 0.00	0.00	No	No	0.00	0.00	Global Z	No	0.00	0.00	0.00	-3.00	-3.00	0.00	0.00	kN/m	0.00	0.00	Def ault
69	Beam Load	P	Distributed Forces	No	Centroid	Local Y	N 0.00	0.00	No	No	0.00	0.00	Global Z	No	0.00	0.00	0.00	12.00	12.00	0.00	0.00	kN/m	0.00	0.00	Def ault
70	Beam Load	G1-Sov	Distributed Forces	No	Centroid	Local Y	N 0.00	0.00	No	No	0.00	0.00	Global Z	No	0.00	0.00	0.00	-91.50	-91.50	0.00	0.00	kN/m	0.00	0.00	Def ault
70	Beam Load	SN	Distributed Forces	No	Centroid	Local Y	N 0.00	0.00	No	No	0.00	0.00	Global Z	No	0.00	0.00	0.00	-3.00	-3.00	0.00	0.00	kN/m	0.00	0.00	Def ault
70	Beam Load	P	Distributed Forces	No	Centroid	Local Y	N 0.00	0.00	No	No	0.00	0.00	Global Z	No	0.00	0.00	0.00	12.00	12.00	0.00	0.00	kN/m	0.00	0.00	Def ault

< Element Temperature >

** MEMBER TEMPERATURE LOAD DATA

[LOAD CASE : TEMP]

MEMBER TEMPERATURE

33 5

< Load Combination >

** GENERAL

NO	NAME	TYPE	ACTIVE	DESCRIPTION
1	SLU	Add	ACTIVE	
2	SLE	Add	ACTIVE	

** STEEL DESIGN

NO	NAME	TYPE	ACTIVE	DESCRIPTION
1	SLU	Add	ACTIVE	

< Reaction >

Node	Load	FX (kN)	FY (kN)	FZ (kN)	MX (kN*m)	MY (kN*m)	MZ (kN*m)
1	G1_Str	-0.040349	0.000000	428.624257	0.000000	-0.281432	0.000000
3	G1_Str	-0.996960	0.000000	1108.271634	0.000000	-6.953794	0.000000
5	G1_Str	1.502227	0.000000	401.962217	0.000000	3.222181	0.000000
35	G1_Str	-0.464918	0.000000	2.386668	0.000000	0.000000	0.000000
1	G1_Sovr	0.000417	0.000000	549.000000	0.000000	0.002906	0.000000
3	G1_Sovr	0.010293	0.000000	972.187500	0.000000	0.071794	0.000000
5	G1_Sovr	-0.015510	0.000000	423.179531	0.000000	-0.033267	0.000000
35	G1_Sovr	0.004800	0.000000	0.007969	0.000000	0.000000	0.000000
1	G2_Spinte	-767.756261	0.000000	0.000000	0.000000	-899.382730	0.000000
3	G2_Spinte	-166.173184	0.000000	0.000000	0.000000	-1159.057955	0.000000
5	G2_Spinte	-6.527424	0.000000	-0.102289	0.000000	-44.567266	0.000000

35	G2_Spinte	-61.673132	0.000000	0.102289	0.000000	0.000000	0.000000
1	P	-22.494342	0.000000	2197.000000	0.000000	-156.898034	0.000000
3	P	3.832488	0.000000	-127.500000	0.000000	26.731602	0.000000
5	P	18.661854	0.000000	2213.500000	0.000000	130.166431	0.000000
35	P	0.000000	0.000000	0.000000	0.000000	0.000000	0.000000
1	SN	0.000014	0.000000	18.000000	0.000000	0.000095	0.000000
3	SN	0.000337	0.000000	31.875000	0.000000	0.002354	0.000000
5	SN	-0.000509	0.000000	13.874739	0.000000	-0.001091	0.000000
35	SN	0.000157	0.000000	0.000261	0.000000	0.000000	0.000000
1	TEMP	2.860756	0.000000	0.000000	0.000000	19.953771	0.000000
3	TEMP	70.685338	0.000000	0.000000	0.000000	493.030233	0.000000
5	TEMP	3.488785	0.000000	0.054672	0.000000	23.820360	0.000000
35	TEMP	-77.034878	0.000000	-0.054672	0.000000	0.000000	0.000000
1	SS	0.000000	0.000000	0.000000	0.000000	0.000000	0.000000
3	SS	0.000000	0.000000	0.000000	0.000000	0.000000	0.000000
5	SS	0.000000	0.000000	0.000000	0.000000	0.000000	0.000000
35	SS	0.000000	0.000000	0.000000	0.000000	0.000000	0.000000
1	SLU	-943.849753	0.000000	3397.149109	0.000000	-1236.491399	0.000000
3	SLU	-196.758826	0.000000	2416.863461	0.000000	-1372.392814	0.000000
5	SLU	12.612242	0.000000	3224.359458	0.000000	80.510774	0.000000
35	SLU	-74.559664	0.000000	2.996703	0.000000	0.000000	0.000000
1	SLE	-767.796179	0.000000	995.624257	0.000000	-899.661161	0.000000
3	SLE	-167.159513	0.000000	2112.334134	0.000000	-1165.937602	0.000000
5	SLE	-5.041216	0.000000	838.914197	0.000000	-41.379442	0.000000
35	SLE	-62.133092	0.000000	2.497187	0.000000	0.000000	0.000000

1	SLU	-918.494655	0.000000	1200.149109	0.000000	-1059.639594	0.000000
3	SLU	-129.905976	0.000000	2544.363461	0.000000	-906.094183	0.000000
5	SLU	-2.560827	0.000000	1010.914130	0.000000	-25.835298	0.000000
35	SLU	-151.594542	0.000000	2.942032	0.000000	0.000000	0.000000

SUMMATION OF REACTION FORCES PRINTOUT

	Load	FX (kN)	FY (kN)	FZ (kN)			
	G1_Str	0.000000	0.000000	1941.244777			
	G1_Sovr	0.000000	0.000000	1944.375000			
	G2_Spinte	-1002.130000	0.000000	0.000000			
	P	-0.000000	0.000000	4283.000000			
	SN	0.000000	0.000000	63.750000			
	TEMP	0.000000	0.000000	0.000000			
	SS	0.000000	0.000000	0.000000			
	SLU	-1202.556000	0.000000	9041.368732			
	SLE	-1002.130000	0.000000	3949.369776			
	SLU	-1202.556000	0.000000	4758.368732			

< Beam Force >

Elem	Load	Part	Axial (kN)	Shear-y (kN)	Shear-z (kN)	Torsion (kN*m)	Moment-y (kN*m)	Moment-z (kN*m)
1	G1_Str	I[1]	-428.62	0.00	0.04	0.00	0.28	0.00
1	G1_Str	J[12]	-404.03	0.00	0.04	0.00	0.26	0.00
2	G1_Str	I[2]	0.04	0.00	-133.49	0.00	0.00	0.00
2	G1_Str	J[73]	0.04	0.00	0.00	0.00	400.48	0.00
3	G1_Str	I[3]	-1108.27	0.00	1.00	0.00	6.95	0.00

3	G1_Str	J[4]	-236.40	0.00	1.00	0.00	0.00	0.00
4	G1_Str	I[5]	-401.96	0.00	-1.50	0.00	-3.22	0.00
4	G1_Str	J[6]	-106.83	0.00	-1.50	0.00	7.26	0.00
5	G1_Str	I[4]	1.04	0.00	-102.90	0.00	0.00	0.00
5	G1_Str	J[74]	1.04	0.00	0.00	0.00	237.96	0.00
6	G1_Str	I[7]	-379.44	0.00	0.04	0.00	0.23	0.00
6	G1_Str	J[13]	-354.84	0.00	0.04	0.00	0.21	0.00
7	G1_Str	I[8]	-330.25	0.00	0.04	0.00	0.19	0.00
7	G1_Str	J[14]	-305.65	0.00	0.04	0.00	0.16	0.00
8	G1_Str	I[9]	-281.06	0.00	0.04	0.00	0.14	0.00
8	G1_Str	J[15]	-256.47	0.00	0.04	0.00	0.12	0.00
9	G1_Str	I[10]	-231.87	0.00	0.04	0.00	0.09	0.00
9	G1_Str	J[16]	-207.28	0.00	0.04	0.00	0.07	0.00
10	G1_Str	I[11]	-182.68	0.00	0.04	0.00	0.05	0.00
10	G1_Str	J[17]	-158.09	0.00	0.04	0.00	0.02	0.00
11	G1_Str	I[12]	-404.03	0.00	0.04	0.00	0.26	0.00
11	G1_Str	J[7]	-379.44	0.00	0.04	0.00	0.23	0.00
12	G1_Str	I[13]	-354.84	0.00	0.04	0.00	0.21	0.00
12	G1_Str	J[8]	-330.25	0.00	0.04	0.00	0.19	0.00
13	G1_Str	I[14]	-305.65	0.00	0.04	0.00	0.16	0.00
13	G1_Str	J[9]	-281.06	0.00	0.04	0.00	0.14	0.00
14	G1_Str	I[15]	-256.47	0.00	0.04	0.00	0.12	0.00
14	G1_Str	J[10]	-231.87	0.00	0.04	0.00	0.09	0.00
15	G1_Str	I[16]	-207.28	0.00	0.04	0.00	0.07	0.00
15	G1_Str	J[11]	-182.68	0.00	0.04	0.00	0.05	0.00

16	G1_Str	I [17]	-158.09	0.00	0.04	0.00	0.02	0.00
16	G1_Str	J [2]	-133.49	0.00	0.04	0.00	0.00	0.00
33	G1_Str	I [6]	-0.46	0.00	-3.93	0.00	-7.26	0.00
33	G1_Str	J [35]	-0.46	0.00	2.39	0.00	0.00	0.00
69	G1_Str	I [73]	0.04	0.00	0.00	0.00	400.48	0.00
69	G1_Str	J [4]	0.04	0.00	133.49	0.00	0.00	0.00
70	G1_Str	I [74]	1.04	0.00	0.00	0.00	237.96	0.00
70	G1_Str	J [6]	1.04	0.00	102.90	0.00	0.00	0.00
1	G1_Sovr	I [1]	-549.00	0.00	-0.00	0.00	-0.00	0.00
1	G1_Sovr	J [12]	-549.00	0.00	-0.00	0.00	-0.00	0.00
2	G1_Sovr	I [2]	-0.00	0.00	-549.00	0.00	0.00	0.00
2	G1_Sovr	J [73]	-0.00	0.00	0.00	0.00	1647.00	0.00
3	G1_Sovr	I [3]	-972.19	0.00	-0.01	0.00	-0.07	0.00
3	G1_Sovr	J [4]	-972.19	0.00	-0.01	0.00	0.00	0.00
4	G1_Sovr	I [5]	-423.18	0.00	0.02	0.00	0.03	0.00
4	G1_Sovr	J [6]	-423.18	0.00	0.02	0.00	-0.07	0.00
5	G1_Sovr	I [4]	-0.01	0.00	-423.19	0.00	0.00	0.00
5	G1_Sovr	J [74]	-0.01	0.00	0.00	0.00	978.62	0.00
6	G1_Sovr	I [7]	-549.00	0.00	-0.00	0.00	-0.00	0.00
6	G1_Sovr	J [13]	-549.00	0.00	-0.00	0.00	-0.00	0.00
7	G1_Sovr	I [8]	-549.00	0.00	-0.00	0.00	-0.00	0.00
7	G1_Sovr	J [14]	-549.00	0.00	-0.00	0.00	-0.00	0.00
8	G1_Sovr	I [9]	-549.00	0.00	-0.00	0.00	-0.00	0.00
8	G1_Sovr	J [15]	-549.00	0.00	-0.00	0.00	-0.00	0.00
9	G1_Sovr	I [10]	-549.00	0.00	-0.00	0.00	-0.00	0.00

9	G1_Sovr	J[16]	-549.00	0.00	-0.00	0.00	-0.00	0.00
10	G1_Sovr	I[11]	-549.00	0.00	-0.00	0.00	-0.00	0.00
10	G1_Sovr	J[17]	-549.00	0.00	-0.00	0.00	-0.00	0.00
11	G1_Sovr	I[12]	-549.00	0.00	-0.00	0.00	-0.00	0.00
11	G1_Sovr	J[7]	-549.00	0.00	-0.00	0.00	-0.00	0.00
12	G1_Sovr	I[13]	-549.00	0.00	-0.00	0.00	-0.00	0.00
12	G1_Sovr	J[8]	-549.00	0.00	-0.00	0.00	-0.00	0.00
13	G1_Sovr	I[14]	-549.00	0.00	-0.00	0.00	-0.00	0.00
13	G1_Sovr	J[9]	-549.00	0.00	-0.00	0.00	-0.00	0.00
14	G1_Sovr	I[15]	-549.00	0.00	-0.00	0.00	-0.00	0.00
14	G1_Sovr	J[10]	-549.00	0.00	-0.00	0.00	-0.00	0.00
15	G1_Sovr	I[16]	-549.00	0.00	-0.00	0.00	-0.00	0.00
15	G1_Sovr	J[11]	-549.00	0.00	-0.00	0.00	-0.00	0.00
16	G1_Sovr	I[17]	-549.00	0.00	-0.00	0.00	-0.00	0.00
16	G1_Sovr	J[2]	-549.00	0.00	-0.00	0.00	0.00	0.00
33	G1_Sovr	I[6]	0.00	0.00	0.01	0.00	0.07	0.00
33	G1_Sovr	J[35]	0.00	0.00	0.01	0.00	0.00	0.00
69	G1_Sovr	I[73]	-0.00	0.00	0.00	0.00	1647.00	0.00
69	G1_Sovr	J[4]	-0.00	0.00	549.00	0.00	0.00	0.00
70	G1_Sovr	I[74]	-0.01	0.00	0.00	0.00	978.62	0.00
70	G1_Sovr	J[6]	-0.01	0.00	423.19	0.00	0.00	0.00
1	G2_Spinte	I[1]	0.00	0.00	637.71	0.00	899.38	0.00
1	G2_Spinte	J[12]	0.00	0.00	637.71	0.00	528.72	0.00
2	G2_Spinte	I[2]	-234.37	0.00	0.00	0.00	0.00	0.00
2	G2_Spinte	J[73]	-234.37	0.00	0.00	0.00	0.00	0.00

3	G2_Spinte	I[3]	0.00	0.00	166.17	0.00	1159.06	0.00
3	G2_Spinte	J[4]	0.00	0.00	166.17	0.00	0.00	0.00
4	G2_Spinte	I[5]	0.10	0.00	6.53	0.00	44.57	0.00
4	G2_Spinte	J[6]	0.10	0.00	6.53	0.00	-0.96	0.00
5	G2_Spinte	I[4]	-68.20	0.00	0.00	0.00	0.00	0.00
5	G2_Spinte	J[74]	-68.20	0.00	0.00	0.00	0.00	0.00
6	G2_Spinte	I[7]	0.00	0.00	402.71	0.00	229.17	0.00
6	G2_Spinte	J[13]	0.00	0.00	402.71	0.00	-4.91	0.00
7	G2_Spinte	I[8]	0.00	0.00	203.53	0.00	-178.57	0.00
7	G2_Spinte	J[14]	0.00	0.00	203.53	0.00	-296.87	0.00
8	G2_Spinte	I[9]	0.00	0.00	39.17	0.00	-364.87	0.00
8	G2_Spinte	J[15]	0.00	0.00	39.17	0.00	-387.63	0.00
9	G2_Spinte	I[10]	0.00	0.00	-90.37	0.00	-370.22	0.00
9	G2_Spinte	J[16]	0.00	0.00	-90.37	0.00	-317.69	0.00
10	G2_Spinte	I[11]	0.00	0.00	-185.09	0.00	-235.11	0.00
10	G2_Spinte	J[17]	0.00	0.00	-185.09	0.00	-127.52	0.00
11	G2_Spinte	I[12]	0.00	0.00	515.36	0.00	528.72	0.00
11	G2_Spinte	J[7]	0.00	0.00	515.36	0.00	229.17	0.00
12	G2_Spinte	I[13]	0.00	0.00	298.77	0.00	-4.91	0.00
12	G2_Spinte	J[8]	0.00	0.00	298.77	0.00	-178.57	0.00
13	G2_Spinte	I[14]	0.00	0.00	117.00	0.00	-296.87	0.00
13	G2_Spinte	J[9]	0.00	0.00	117.00	0.00	-364.87	0.00
14	G2_Spinte	I[15]	0.00	0.00	-29.95	0.00	-387.63	0.00
14	G2_Spinte	J[10]	0.00	0.00	-29.95	0.00	-370.22	0.00
15	G2_Spinte	I[16]	0.00	0.00	-142.08	0.00	-317.69	0.00

15	G2_Spinte	J[11]	0.00	0.00	-142.08	0.00	-235.11	0.00
16	G2_Spinte	I[17]	0.00	0.00	-219.39	0.00	-127.52	0.00
16	G2_Spinte	J[2]	0.00	0.00	-219.39	0.00	0.00	0.00
33	G2_Spinte	I[6]	-61.67	0.00	0.10	0.00	0.96	0.00
33	G2_Spinte	J[35]	-61.67	0.00	0.10	0.00	0.00	0.00
69	G2_Spinte	I[73]	-234.37	0.00	0.00	0.00	0.00	0.00
69	G2_Spinte	J[4]	-234.37	0.00	0.00	0.00	0.00	0.00
70	G2_Spinte	I[74]	-68.20	0.00	0.00	0.00	0.00	0.00
70	G2_Spinte	J[6]	-68.20	0.00	0.00	0.00	0.00	0.00
1	P	I[1]	-2197.00	0.00	22.49	0.00	156.90	0.00
1	P	J[12]	-2197.00	0.00	22.49	0.00	143.82	0.00
2	P	I[2]	-2747.51	0.00	72.00	0.00	0.00	0.00
2	P	J[73]	-2747.51	0.00	0.00	0.00	-216.00	0.00
3	P	I[3]	127.50	0.00	-3.83	0.00	-26.73	0.00
3	P	J[4]	127.50	0.00	-3.83	0.00	0.00	0.00
4	P	I[5]	-2213.50	0.00	-18.66	0.00	-130.17	0.00
4	P	J[6]	-2213.50	0.00	-18.66	0.00	0.00	0.00
5	P	I[4]	-2751.34	0.00	55.50	0.00	0.00	0.00
5	P	J[74]	-2751.34	0.00	0.00	0.00	-128.34	0.00
6	P	I[7]	-2197.00	0.00	22.49	0.00	130.75	0.00
6	P	J[13]	-2197.00	0.00	22.49	0.00	117.67	0.00
7	P	I[8]	-2197.00	0.00	22.49	0.00	104.60	0.00
7	P	J[14]	-2197.00	0.00	22.49	0.00	91.52	0.00
8	P	I[9]	-2197.00	0.00	22.49	0.00	78.45	0.00
8	P	J[15]	-2197.00	0.00	22.49	0.00	65.37	0.00

9	P	I [10]	-2197.00	0.00	22.49	0.00	52.30	0.00
9	P	J [16]	-2197.00	0.00	22.49	0.00	39.22	0.00
10	P	I [11]	-2197.00	0.00	22.49	0.00	26.15	0.00
10	P	J [17]	-2197.00	0.00	22.49	0.00	13.07	0.00
11	P	I [12]	-2197.00	0.00	22.49	0.00	143.82	0.00
11	P	J [7]	-2197.00	0.00	22.49	0.00	130.75	0.00
12	P	I [13]	-2197.00	0.00	22.49	0.00	117.67	0.00
12	P	J [8]	-2197.00	0.00	22.49	0.00	104.60	0.00
13	P	I [14]	-2197.00	0.00	22.49	0.00	91.52	0.00
13	P	J [9]	-2197.00	0.00	22.49	0.00	78.45	0.00
14	P	I [15]	-2197.00	0.00	22.49	0.00	65.37	0.00
14	P	J [10]	-2197.00	0.00	22.49	0.00	52.30	0.00
15	P	I [16]	-2197.00	0.00	22.49	0.00	39.22	0.00
15	P	J [11]	-2197.00	0.00	22.49	0.00	26.15	0.00
16	P	I [17]	-2197.00	0.00	22.49	0.00	13.07	0.00
16	P	J [2]	-2197.00	0.00	22.49	0.00	0.00	0.00
33	P	I [6]	0.00	0.00	0.00	0.00	0.00	0.00
33	P	J [35]	0.00	0.00	0.00	0.00	0.00	0.00
69	P	I [73]	-2747.51	0.00	0.00	0.00	-216.00	0.00
69	P	J [4]	-2747.51	0.00	-72.00	0.00	0.00	0.00
70	P	I [74]	-2751.34	0.00	0.00	0.00	-128.34	0.00
70	P	J [6]	-2751.34	0.00	-55.50	0.00	0.00	0.00
1	SN	I [1]	-18.00	0.00	-0.00	0.00	-0.00	0.00
1	SN	J [12]	-18.00	0.00	-0.00	0.00	-0.00	0.00
2	SN	I [2]	-0.00	0.00	-18.00	0.00	0.00	0.00

2	SN	J [73]	-0.00	0.00	0.00	0.00	54.00	0.00
3	SN	I [3]	-31.87	0.00	-0.00	0.00	-0.00	0.00
3	SN	J [4]	-31.87	0.00	-0.00	0.00	0.00	0.00
4	SN	I [5]	-13.87	0.00	0.00	0.00	0.00	0.00
4	SN	J [6]	-13.87	0.00	0.00	0.00	-0.00	0.00
5	SN	I [4]	-0.00	0.00	-13.87	0.00	0.00	0.00
5	SN	J [74]	-0.00	0.00	0.00	0.00	32.09	0.00
6	SN	I [7]	-18.00	0.00	-0.00	0.00	-0.00	0.00
6	SN	J [13]	-18.00	0.00	-0.00	0.00	-0.00	0.00
7	SN	I [8]	-18.00	0.00	-0.00	0.00	-0.00	0.00
7	SN	J [14]	-18.00	0.00	-0.00	0.00	-0.00	0.00
8	SN	I [9]	-18.00	0.00	-0.00	0.00	-0.00	0.00
8	SN	J [15]	-18.00	0.00	-0.00	0.00	-0.00	0.00
9	SN	I [10]	-18.00	0.00	-0.00	0.00	-0.00	0.00
9	SN	J [16]	-18.00	0.00	-0.00	0.00	-0.00	0.00
10	SN	I [11]	-18.00	0.00	-0.00	0.00	-0.00	0.00
10	SN	J [17]	-18.00	0.00	-0.00	0.00	-0.00	0.00
11	SN	I [12]	-18.00	0.00	-0.00	0.00	-0.00	0.00
11	SN	J [7]	-18.00	0.00	-0.00	0.00	-0.00	0.00
12	SN	I [13]	-18.00	0.00	-0.00	0.00	-0.00	0.00
12	SN	J [8]	-18.00	0.00	-0.00	0.00	-0.00	0.00
13	SN	I [14]	-18.00	0.00	-0.00	0.00	-0.00	0.00
13	SN	J [9]	-18.00	0.00	-0.00	0.00	-0.00	0.00
14	SN	I [15]	-18.00	0.00	-0.00	0.00	-0.00	0.00
14	SN	J [10]	-18.00	0.00	-0.00	0.00	-0.00	0.00

15	SN	I [16]	-18.00	0.00	-0.00	0.00	-0.00	0.00
15	SN	J [11]	-18.00	0.00	-0.00	0.00	-0.00	0.00
16	SN	I [17]	-18.00	0.00	-0.00	0.00	-0.00	0.00
16	SN	J [2]	-18.00	0.00	-0.00	0.00	0.00	0.00
33	SN	I [6]	0.00	0.00	0.00	0.00	0.00	0.00
33	SN	J [35]	0.00	0.00	0.00	0.00	0.00	0.00
69	SN	I [73]	-0.00	0.00	0.00	0.00	54.00	0.00
69	SN	J [4]	-0.00	0.00	18.00	0.00	0.00	0.00
70	SN	I [74]	-0.00	0.00	0.00	0.00	32.09	0.00
70	SN	J [6]	-0.00	0.00	13.87	0.00	0.00	0.00
1	TEMP	I [1]	0.00	0.00	-2.86	0.00	-19.95	0.00
1	TEMP	J [12]	0.00	0.00	-2.86	0.00	-18.29	0.00
2	TEMP	I [2]	-2.86	0.00	0.00	0.00	0.00	0.00
2	TEMP	J [73]	-2.86	0.00	0.00	0.00	0.00	0.00
3	TEMP	I [3]	0.00	0.00	-70.69	0.00	-493.03	0.00
3	TEMP	J [4]	0.00	0.00	-70.69	0.00	0.00	0.00
4	TEMP	I [5]	-0.05	0.00	-3.49	0.00	-23.82	0.00
4	TEMP	J [6]	-0.05	0.00	-3.49	0.00	0.51	0.00
5	TEMP	I [4]	-73.55	0.00	0.00	0.00	0.00	0.00
5	TEMP	J [74]	-73.55	0.00	0.00	0.00	0.00	0.00
6	TEMP	I [7]	0.00	0.00	-2.86	0.00	-16.63	0.00
6	TEMP	J [13]	0.00	0.00	-2.86	0.00	-14.97	0.00
7	TEMP	I [8]	0.00	0.00	-2.86	0.00	-13.30	0.00
7	TEMP	J [14]	0.00	0.00	-2.86	0.00	-11.64	0.00
8	TEMP	I [9]	0.00	0.00	-2.86	0.00	-9.98	0.00

8	TEMP	J[15]	0.00	0.00	-2.86	0.00	-8.31	0.00
9	TEMP	I[10]	0.00	0.00	-2.86	0.00	-6.65	0.00
9	TEMP	J[16]	0.00	0.00	-2.86	0.00	-4.99	0.00
10	TEMP	I[11]	0.00	0.00	-2.86	0.00	-3.33	0.00
10	TEMP	J[17]	0.00	0.00	-2.86	0.00	-1.66	0.00
11	TEMP	I[12]	0.00	0.00	-2.86	0.00	-18.29	0.00
11	TEMP	J[7]	0.00	0.00	-2.86	0.00	-16.63	0.00
12	TEMP	I[13]	0.00	0.00	-2.86	0.00	-14.97	0.00
12	TEMP	J[8]	0.00	0.00	-2.86	0.00	-13.30	0.00
13	TEMP	I[14]	0.00	0.00	-2.86	0.00	-11.64	0.00
13	TEMP	J[9]	0.00	0.00	-2.86	0.00	-9.98	0.00
14	TEMP	I[15]	0.00	0.00	-2.86	0.00	-8.31	0.00
14	TEMP	J[10]	0.00	0.00	-2.86	0.00	-6.65	0.00
15	TEMP	I[16]	0.00	0.00	-2.86	0.00	-4.99	0.00
15	TEMP	J[11]	0.00	0.00	-2.86	0.00	-3.33	0.00
16	TEMP	I[17]	0.00	0.00	-2.86	0.00	-1.66	0.00
16	TEMP	J[2]	0.00	0.00	-2.86	0.00	0.00	0.00
33	TEMP	I[6]	-77.03	0.00	-0.05	0.00	-0.51	0.00
33	TEMP	J[35]	-77.03	0.00	-0.05	0.00	0.00	0.00
69	TEMP	I[73]	-2.86	0.00	0.00	0.00	0.00	0.00
69	TEMP	J[4]	-2.86	0.00	0.00	0.00	0.00	0.00
70	TEMP	I[74]	-73.55	0.00	0.00	0.00	0.00	0.00
70	TEMP	J[6]	-73.55	0.00	0.00	0.00	0.00	0.00
1	SS	I[1]	0.00	0.00	0.00	0.00	0.00	0.00
1	SS	J[12]	0.00	0.00	0.00	0.00	0.00	0.00

2	SS	I [2]	0.00	0.00	0.00	0.00	0.00	0.00
2	SS	J [73]	0.00	0.00	0.00	0.00	0.00	0.00
3	SS	I [3]	0.00	0.00	0.00	0.00	0.00	0.00
3	SS	J [4]	0.00	0.00	0.00	0.00	0.00	0.00
4	SS	I [5]	0.00	0.00	0.00	0.00	0.00	0.00
4	SS	J [6]	0.00	0.00	0.00	0.00	0.00	0.00
5	SS	I [4]	0.00	0.00	0.00	0.00	0.00	0.00
5	SS	J [74]	0.00	0.00	0.00	0.00	0.00	0.00
6	SS	I [7]	0.00	0.00	0.00	0.00	0.00	0.00
6	SS	J [13]	0.00	0.00	0.00	0.00	0.00	0.00
7	SS	I [8]	0.00	0.00	0.00	0.00	0.00	0.00
7	SS	J [14]	0.00	0.00	0.00	0.00	0.00	0.00
8	SS	I [9]	0.00	0.00	0.00	0.00	0.00	0.00
8	SS	J [15]	0.00	0.00	0.00	0.00	0.00	0.00
9	SS	I [10]	0.00	0.00	0.00	0.00	0.00	0.00
9	SS	J [16]	0.00	0.00	0.00	0.00	0.00	0.00
10	SS	I [11]	0.00	0.00	0.00	0.00	0.00	0.00
10	SS	J [17]	0.00	0.00	0.00	0.00	0.00	0.00
11	SS	I [12]	0.00	0.00	0.00	0.00	0.00	0.00
11	SS	J [7]	0.00	0.00	0.00	0.00	0.00	0.00
12	SS	I [13]	0.00	0.00	0.00	0.00	0.00	0.00
12	SS	J [8]	0.00	0.00	0.00	0.00	0.00	0.00
13	SS	I [14]	0.00	0.00	0.00	0.00	0.00	0.00
13	SS	J [9]	0.00	0.00	0.00	0.00	0.00	0.00
14	SS	I [15]	0.00	0.00	0.00	0.00	0.00	0.00

14	SS	J[10]	0.00	0.00	0.00	0.00	0.00	0.00
15	SS	I[16]	0.00	0.00	0.00	0.00	0.00	0.00
15	SS	J[11]	0.00	0.00	0.00	0.00	0.00	0.00
16	SS	I[17]	0.00	0.00	0.00	0.00	0.00	0.00
16	SS	J[2]	0.00	0.00	0.00	0.00	0.00	0.00
33	SS	I[6]	0.00	0.00	0.00	0.00	0.00	0.00
33	SS	J[35]	0.00	0.00	0.00	0.00	0.00	0.00
69	SS	I[73]	0.00	0.00	0.00	0.00	0.00	0.00
69	SS	J[4]	0.00	0.00	0.00	0.00	0.00	0.00
70	SS	I[74]	0.00	0.00	0.00	0.00	0.00	0.00
70	SS	J[6]	0.00	0.00	0.00	0.00	0.00	0.00
1	SLU	I[1]	-3397.15	0.00	787.79	0.00	1236.49	0.00
1	SLU	J[12]	-3367.64	0.00	787.79	0.00	778.59	0.00
2	SLU	I[2]	-3028.71	0.00	-773.99	0.00	0.00	0.00
2	SLU	J[73]	-3028.71	0.00	0.00	0.00	2321.98	0.00
3	SLU	I[3]	-2416.86	0.00	196.76	0.00	1372.39	0.00
3	SLU	J[4]	-1370.61	0.00	196.76	0.00	0.00	0.00
4	SLU	I[5]	-3224.36	0.00	-12.61	0.00	-80.51	0.00
4	SLU	J[6]	-2870.20	0.00	-12.61	0.00	7.46	0.00
5	SLU	I[4]	-2831.95	0.00	-596.62	0.00	0.00	0.00
5	SLU	J[74]	-2831.95	0.00	0.00	0.00	1379.68	0.00
6	SLU	I[7]	-3338.12	0.00	505.79	0.00	406.02	0.00
6	SLU	J[13]	-3308.61	0.00	505.79	0.00	112.03	0.00
7	SLU	I[8]	-3279.10	0.00	266.77	0.00	-109.46	0.00
7	SLU	J[14]	-3249.58	0.00	266.77	0.00	-264.52	0.00

8	SLU	I [9]	-3220.07	0.00	69.54	0.00	-359.23	0.00
8	SLU	J[15]	-3190.56	0.00	69.54	0.00	-399.65	0.00
9	SLU	I [10]	-3161.05	0.00	-85.91	0.00	-391.86	0.00
9	SLU	J[16]	-3131.53	0.00	-85.91	0.00	-341.93	0.00
10	SLU	I [11]	-3102.02	0.00	-199.57	0.00	-255.92	0.00
10	SLU	J[17]	-3072.51	0.00	-199.57	0.00	-139.92	0.00
11	SLU	I [12]	-3367.64	0.00	640.97	0.00	778.59	0.00
11	SLU	J[7]	-3338.12	0.00	640.97	0.00	406.02	0.00
12	SLU	I [13]	-3308.61	0.00	381.06	0.00	112.03	0.00
12	SLU	J[8]	-3279.10	0.00	381.06	0.00	-109.46	0.00
13	SLU	I [14]	-3249.58	0.00	162.94	0.00	-264.52	0.00
13	SLU	J[9]	-3220.07	0.00	162.94	0.00	-359.23	0.00
14	SLU	I [15]	-3190.56	0.00	-13.40	0.00	-399.65	0.00
14	SLU	J[10]	-3161.05	0.00	-13.40	0.00	-391.86	0.00
15	SLU	I [16]	-3131.53	0.00	-147.96	0.00	-341.93	0.00
15	SLU	J[11]	-3102.02	0.00	-147.96	0.00	-255.92	0.00
16	SLU	I [17]	-3072.51	0.00	-240.73	0.00	-139.92	0.00
16	SLU	J[2]	-3042.99	0.00	-240.73	0.00	0.00	0.00
33	SLU	I [6]	-74.56	0.00	-4.58	0.00	-7.46	0.00
33	SLU	J[35]	-74.56	0.00	3.00	0.00	0.00	0.00
69	SLU	I [73]	-3028.71	0.00	0.00	0.00	2321.98	0.00
69	SLU	J[4]	-3028.71	0.00	773.99	0.00	0.00	0.00
70	SLU	I [74]	-2831.95	0.00	0.00	0.00	1379.68	0.00
70	SLU	J[6]	-2831.95	0.00	596.62	0.00	0.00	0.00
1	SLE	I [1]	-995.62	0.00	637.75	0.00	899.66	0.00

1	SLE	J[12]	-971.03	0.00	637.75	0.00	528.97	0.00
2	SLE	I[2]	-234.33	0.00	-700.49	0.00	0.00	0.00
2	SLE	J[73]	-234.33	0.00	0.00	0.00	2101.48	0.00
3	SLE	I[3]	-2112.33	0.00	167.16	0.00	1165.94	0.00
3	SLE	J[4]	-1240.46	0.00	167.16	0.00	0.00	0.00
4	SLE	I[5]	-838.91	0.00	5.04	0.00	41.38	0.00
4	SLE	J[6]	-543.78	0.00	5.04	0.00	6.22	0.00
5	SLE	I[4]	-67.17	0.00	-539.96	0.00	0.00	0.00
5	SLE	J[74]	-67.17	0.00	0.00	0.00	1248.67	0.00
6	SLE	I[7]	-946.44	0.00	402.75	0.00	229.40	0.00
6	SLE	J[13]	-921.84	0.00	402.75	0.00	-4.70	0.00
7	SLE	I[8]	-897.25	0.00	203.57	0.00	-178.38	0.00
7	SLE	J[14]	-872.65	0.00	203.57	0.00	-296.70	0.00
8	SLE	I[9]	-848.06	0.00	39.21	0.00	-364.73	0.00
8	SLE	J[15]	-823.47	0.00	39.21	0.00	-387.52	0.00
9	SLE	I[10]	-798.87	0.00	-90.33	0.00	-370.13	0.00
9	SLE	J[16]	-774.28	0.00	-90.33	0.00	-317.62	0.00
10	SLE	I[11]	-749.68	0.00	-185.05	0.00	-235.06	0.00
10	SLE	J[17]	-725.09	0.00	-185.05	0.00	-127.50	0.00
11	SLE	I[12]	-971.03	0.00	515.40	0.00	528.97	0.00
11	SLE	J[7]	-946.44	0.00	515.40	0.00	229.40	0.00
12	SLE	I[13]	-921.84	0.00	298.81	0.00	-4.70	0.00
12	SLE	J[8]	-897.25	0.00	298.81	0.00	-178.38	0.00
13	SLE	I[14]	-872.65	0.00	117.04	0.00	-296.70	0.00
13	SLE	J[9]	-848.06	0.00	117.04	0.00	-364.73	0.00

14	SLE	I [15]	-823.47	0.00	-29.91	0.00	-387.52	0.00
14	SLE	J [10]	-798.87	0.00	-29.91	0.00	-370.13	0.00
15	SLE	I [16]	-774.28	0.00	-142.04	0.00	-317.62	0.00
15	SLE	J [11]	-749.68	0.00	-142.04	0.00	-235.06	0.00
16	SLE	I [17]	-725.09	0.00	-219.35	0.00	-127.50	0.00
16	SLE	J [2]	-700.49	0.00	-219.35	0.00	0.00	0.00
33	SLE	I [6]	-62.13	0.00	-3.82	0.00	-6.22	0.00
33	SLE	J [35]	-62.13	0.00	2.50	0.00	0.00	0.00
69	SLE	I [73]	-234.33	0.00	0.00	0.00	2101.48	0.00
69	SLE	J [4]	-234.33	0.00	700.49	0.00	0.00	0.00
70	SLE	I [74]	-67.17	0.00	0.00	0.00	1248.67	0.00
70	SLE	J [6]	-67.17	0.00	539.96	0.00	0.00	0.00
1	SLU	I [1]	-1200.15	0.00	762.43	0.00	1059.64	0.00
1	SLU	J [12]	-1170.64	0.00	762.43	0.00	616.47	0.00
2	SLU	I [2]	-284.06	0.00	-845.99	0.00	0.00	0.00
2	SLU	J [73]	-284.06	0.00	0.00	0.00	2537.98	0.00
3	SLU	I [3]	-2544.36	0.00	129.91	0.00	906.09	0.00
3	SLU	J [4]	-1498.11	0.00	129.91	0.00	0.00	0.00
4	SLU	I [5]	-1010.91	0.00	2.56	0.00	25.84	0.00
4	SLU	J [6]	-656.76	0.00	2.56	0.00	7.97	0.00
5	SLU	I [4]	-154.16	0.00	-652.12	0.00	0.00	0.00
5	SLU	J [74]	-154.16	0.00	0.00	0.00	1508.03	0.00
6	SLU	I [7]	-1141.12	0.00	480.43	0.00	258.65	0.00
6	SLU	J [13]	-1111.61	0.00	480.43	0.00	-20.60	0.00
7	SLU	I [8]	-1082.10	0.00	241.42	0.00	-227.36	0.00

7	SLU	J[14]	-1052.58	0.00	241.42	0.00	-367.68	0.00
8	SLU	I[9]	-1023.07	0.00	44.19	0.00	-447.65	0.00
8	SLU	J[15]	-993.56	0.00	44.19	0.00	-473.34	0.00
9	SLU	I[10]	-964.05	0.00	-111.26	0.00	-450.81	0.00
9	SLU	J[16]	-934.53	0.00	-111.26	0.00	-386.14	0.00
10	SLU	I[11]	-905.02	0.00	-224.93	0.00	-285.40	0.00
10	SLU	J[17]	-875.51	0.00	-224.93	0.00	-154.66	0.00
11	SLU	I[12]	-1170.64	0.00	615.61	0.00	616.47	0.00
11	SLU	J[7]	-1141.12	0.00	615.61	0.00	258.65	0.00
12	SLU	I[13]	-1111.61	0.00	355.71	0.00	-20.60	0.00
12	SLU	J[8]	-1082.10	0.00	355.71	0.00	-227.36	0.00
13	SLU	I[14]	-1052.58	0.00	137.58	0.00	-367.68	0.00
13	SLU	J[9]	-1023.07	0.00	137.58	0.00	-447.65	0.00
14	SLU	I[15]	-993.56	0.00	-38.76	0.00	-473.34	0.00
14	SLU	J[10]	-964.05	0.00	-38.76	0.00	-450.81	0.00
15	SLU	I[16]	-934.53	0.00	-173.31	0.00	-386.14	0.00
15	SLU	J[11]	-905.02	0.00	-173.31	0.00	-285.40	0.00
16	SLU	I[17]	-875.51	0.00	-266.09	0.00	-154.66	0.00
16	SLU	J[2]	-845.99	0.00	-266.09	0.00	0.00	0.00
33	SLU	I[6]	-151.59	0.00	-4.64	0.00	-7.97	0.00
33	SLU	J[35]	-151.59	0.00	2.94	0.00	0.00	0.00
69	SLU	I[73]	-284.06	0.00	0.00	0.00	2537.98	0.00
69	SLU	J[4]	-284.06	0.00	845.99	0.00	0.00	0.00
70	SLU	I[74]	-154.16	0.00	0.00	0.00	1508.03	0.00
70	SLU	J[6]	-154.16	0.00	652.12	0.00	0.00	0.00

< Displacements >

Node	Load	DX (mm)	DY (mm)	DZ (mm)	RX ([rad])	RY ([rad])	RZ ([rad])
1	G1_Str	0.000000	0.000000	0.000000	0.000000	0.000000	0.000000
2	G1_Str	0.002018	0.000000	-0.032887	0.000000	0.000000	0.000000
3	G1_Str	0.000000	0.000000	0.000000	0.000000	0.000000	0.000000
4	G1_Str	0.002035	0.000000	-0.026630	0.000000	0.000000	0.000000
5	G1_Str	0.000000	0.000000	0.000000	0.000000	0.000000	0.000000
6	G1_Str	0.002384	0.000000	-0.029767	0.000000	0.000006	0.000000
7	G1_Str	0.000081	0.000000	-0.007879	0.000000	0.000000	0.000000
8	G1_Str	0.000302	0.000000	-0.014799	0.000000	0.000000	0.000000
9	G1_Str	0.000633	0.000000	-0.020760	0.000000	0.000000	0.000000
10	G1_Str	0.001048	0.000000	-0.025762	0.000000	0.000000	0.000000
11	G1_Str	0.001519	0.000000	-0.029804	0.000000	0.000000	0.000000
12	G1_Str	0.000021	0.000000	-0.004060	0.000000	0.000000	0.000000
13	G1_Str	0.000176	0.000000	-0.011459	0.000000	0.000000	0.000000
14	G1_Str	0.000455	0.000000	-0.017900	0.000000	0.000000	0.000000
15	G1_Str	0.000832	0.000000	-0.023381	0.000000	0.000000	0.000000
16	G1_Str	0.001279	0.000000	-0.027903	0.000000	0.000000	0.000000
17	G1_Str	0.001767	0.000000	-0.031465	0.000000	0.000000	0.000000
35	G1_Str	0.000000	0.000000	0.000000	0.000000	-0.000268	0.000000
73	G1_Str	0.002027	0.000000	-3.306446	0.000000	-0.000001	0.000000
74	G1_Str	0.002209	0.000000	-1.271992	0.000000	0.000000	0.000000
1	G1_Sovr	0.000000	0.000000	0.000000	0.000000	0.000000	0.000000
2	G1_Sovr	-0.000021	0.000000	-0.064239	0.000000	-0.000000	0.000000
3	G1_Sovr	0.000000	0.000000	0.000000	0.000000	0.000000	0.000000

4	G1_Sovr	-0.000021	0.000000	-0.038507	0.000000	-0.000000	0.000000
5	G1_Sovr	0.000000	0.000000	0.000000	0.000000	0.000000	0.000000
6	G1_Sovr	-0.000025	0.000000	-0.049517	0.000000	-0.000000	0.000000
7	G1_Sovr	-0.000001	0.000000	-0.010706	0.000000	-0.000000	0.000000
8	G1_Sovr	-0.000003	0.000000	-0.021413	0.000000	-0.000000	0.000000
9	G1_Sovr	-0.000007	0.000000	-0.032119	0.000000	-0.000000	0.000000
10	G1_Sovr	-0.000011	0.000000	-0.042826	0.000000	-0.000000	0.000000
11	G1_Sovr	-0.000016	0.000000	-0.053532	0.000000	-0.000000	0.000000
12	G1_Sovr	-0.000000	0.000000	-0.005353	0.000000	-0.000000	0.000000
13	G1_Sovr	-0.000002	0.000000	-0.016060	0.000000	-0.000000	0.000000
14	G1_Sovr	-0.000005	0.000000	-0.026766	0.000000	-0.000000	0.000000
15	G1_Sovr	-0.000009	0.000000	-0.037473	0.000000	-0.000000	0.000000
16	G1_Sovr	-0.000013	0.000000	-0.048179	0.000000	-0.000000	0.000000
17	G1_Sovr	-0.000018	0.000000	-0.058886	0.000000	-0.000000	0.000000
35	G1_Sovr	0.000000	0.000000	0.000000	0.000000	-0.000008	0.000000
73	G1_Sovr	-0.000021	0.000000	-13.526836	0.000000	-0.000002	0.000000
74	G1_Sovr	-0.000023	0.000000	-5.159146	0.000000	0.000001	0.000000
1	G2_Spinte	0.000000	0.000000	0.000000	0.000000	0.000000	0.000000
2	G2_Spinte	0.435812	0.000000	0.000000	0.000000	-0.000275	0.000000
3	G2_Spinte	0.000000	0.000000	0.000000	0.000000	0.000000	0.000000
4	G2_Spinte	0.339165	0.000000	0.000000	0.000000	0.000069	0.000000
5	G2_Spinte	0.000000	0.000000	0.000000	0.000000	0.000000	0.000000
6	G2_Spinte	0.316221	0.000000	0.000012	0.000000	0.000067	0.000000
7	G2_Spinte	0.227724	0.000000	0.000000	0.000000	0.000279	0.000000
8	G2_Spinte	0.595000	0.000000	0.000000	0.000000	0.000284	0.000000

9	G2_Spinte	0.859278	0.000000	0.000000	0.000000	0.000139	0.000000
10	G2_Spinte	0.909427	0.000000	0.000000	0.000000	-0.000054	0.000000
11	G2_Spinte	0.741720	0.000000	0.000000	0.000000	-0.000212	0.000000
12	G2_Spinte	0.075472	0.000000	0.000000	0.000000	0.000182	0.000000
13	G2_Spinte	0.412439	0.000000	0.000000	0.000000	0.000308	0.000000
14	G2_Spinte	0.749759	0.000000	0.000000	0.000000	0.000224	0.000000
15	G2_Spinte	0.913587	0.000000	0.000000	0.000000	0.000043	0.000000
16	G2_Spinte	0.849499	0.000000	0.000000	0.000000	-0.000142	0.000000
17	G2_Spinte	0.598462	0.000000	0.000000	0.000000	-0.000258	0.000000
35	G2_Spinte	0.000000	0.000000	0.000000	0.000000	-0.000033	0.000000
73	G2_Spinte	0.387488	0.000000	0.000000	0.000000	0.000000	0.000000
74	G2_Spinte	0.327693	0.000000	0.000006	0.000000	-0.000000	0.000000
1	P	0.000000	0.000000	0.000000	0.000000	0.000000	0.000000
2	P	1.125140	0.000000	-0.257073	0.000000	0.000240	0.000000
3	P	0.000000	0.000000	0.000000	0.000000	0.000000	0.000000
4	P	-0.007822	0.000000	0.005050	0.000000	-0.000002	0.000000
5	P	0.000000	0.000000	0.000000	0.000000	0.000000	0.000000
6	P	-0.933443	0.000000	-0.259004	0.000000	-0.000199	0.000000
7	P	0.045241	0.000000	-0.042845	0.000000	0.000073	0.000000
8	P	0.168091	0.000000	-0.085691	0.000000	0.000134	0.000000
9	P	0.353027	0.000000	-0.128536	0.000000	0.000180	0.000000
10	P	0.584529	0.000000	-0.171382	0.000000	0.000214	0.000000
11	P	0.847073	0.000000	-0.214227	0.000000	0.000234	0.000000
12	P	0.011950	0.000000	-0.021423	0.000000	0.000038	0.000000
13	P	0.097935	0.000000	-0.064268	0.000000	0.000105	0.000000

14	P	0.253769	0.000000	-0.107114	0.000000	0.000159	0.000000
15	P	0.463928	0.000000	-0.149959	0.000000	0.000199	0.000000
16	P	0.712891	0.000000	-0.192805	0.000000	0.000225	0.000000
17	P	0.985136	0.000000	-0.235650	0.000000	0.000239	0.000000
35	P	0.000000	0.000000	0.000000	0.000000	0.000000	0.000000
73	P	0.558659	0.000000	1.641262	0.000000	-0.000022	0.000000
74	P	-0.470633	0.000000	0.543861	0.000000	0.000029	0.000000
1	SN	0.000000	0.000000	0.000000	0.000000	0.000000	0.000000
2	SN	-0.000001	0.000000	-0.002106	0.000000	-0.000000	0.000000
3	SN	0.000000	0.000000	0.000000	0.000000	0.000000	0.000000
4	SN	-0.000001	0.000000	-0.001263	0.000000	-0.000000	0.000000
5	SN	0.000000	0.000000	0.000000	0.000000	0.000000	0.000000
6	SN	-0.000001	0.000000	-0.001623	0.000000	-0.000000	0.000000
7	SN	-0.000000	0.000000	-0.000351	0.000000	0.000000	0.000000
8	SN	-0.000000	0.000000	-0.000702	0.000000	0.000000	0.000000
9	SN	-0.000000	0.000000	-0.001053	0.000000	-0.000000	0.000000
10	SN	-0.000000	0.000000	-0.001404	0.000000	-0.000000	0.000000
11	SN	-0.000001	0.000000	-0.001755	0.000000	-0.000000	0.000000
12	SN	-0.000000	0.000000	-0.000176	0.000000	0.000000	0.000000
13	SN	-0.000000	0.000000	-0.000527	0.000000	0.000000	0.000000
14	SN	-0.000000	0.000000	-0.000878	0.000000	0.000000	0.000000
15	SN	-0.000000	0.000000	-0.001229	0.000000	-0.000000	0.000000
16	SN	-0.000000	0.000000	-0.001580	0.000000	-0.000000	0.000000
17	SN	-0.000001	0.000000	-0.001931	0.000000	-0.000000	0.000000
35	SN	0.000000	0.000000	0.000000	0.000000	-0.000000	0.000000

73	SN	-0.000001	0.000000	-0.443503	0.000000	-0.000000	0.000000
74	SN	-0.000001	0.000000	-0.169152	0.000000	0.000000	0.000000
1	TEMP	0.000000	0.000000	0.000000	0.000000	0.000000	0.000000
2	TEMP	-0.143092	0.000000	0.000000	0.000000	-0.000031	0.000000
3	TEMP	0.000000	0.000000	0.000000	0.000000	0.000000	0.000000
4	TEMP	-0.144271	0.000000	0.000000	0.000000	-0.000029	0.000000
5	TEMP	0.000000	0.000000	0.000000	0.000000	0.000000	0.000000
6	TEMP	-0.169014	0.000000	-0.000006	0.000000	-0.000036	0.000000
7	TEMP	-0.005754	0.000000	0.000000	0.000000	-0.000009	0.000000
8	TEMP	-0.021377	0.000000	0.000000	0.000000	-0.000017	0.000000
9	TEMP	-0.044897	0.000000	0.000000	0.000000	-0.000023	0.000000
10	TEMP	-0.074338	0.000000	0.000000	0.000000	-0.000027	0.000000
11	TEMP	-0.107728	0.000000	0.000000	0.000000	-0.000030	0.000000
12	TEMP	-0.001520	0.000000	0.000000	0.000000	-0.000005	0.000000
13	TEMP	-0.012455	0.000000	0.000000	0.000000	-0.000013	0.000000
14	TEMP	-0.032273	0.000000	0.000000	0.000000	-0.000020	0.000000
15	TEMP	-0.059001	0.000000	0.000000	0.000000	-0.000025	0.000000
16	TEMP	-0.090663	0.000000	0.000000	0.000000	-0.000029	0.000000
17	TEMP	-0.125286	0.000000	0.000000	0.000000	-0.000030	0.000000
35	TEMP	0.000000	0.000000	0.000000	0.000000	0.000018	0.000000
73	TEMP	-0.143681	0.000000	0.000000	0.000000	0.000000	0.000000
74	TEMP	-0.156643	0.000000	-0.000003	0.000000	0.000000	0.000000
1	SS	0.000000	0.000000	0.000000	0.000000	0.000000	0.000000
2	SS	0.000000	0.000000	0.000000	0.000000	0.000000	0.000000
3	SS	0.000000	0.000000	0.000000	0.000000	0.000000	0.000000

4	SS	0.000000	0.000000	0.000000	0.000000	0.000000	0.000000
5	SS	0.000000	0.000000	0.000000	0.000000	0.000000	0.000000
6	SS	0.000000	0.000000	0.000000	0.000000	0.000000	0.000000
7	SS	0.000000	0.000000	0.000000	0.000000	0.000000	0.000000
8	SS	0.000000	0.000000	0.000000	0.000000	0.000000	0.000000
9	SS	0.000000	0.000000	0.000000	0.000000	0.000000	0.000000
10	SS	0.000000	0.000000	0.000000	0.000000	0.000000	0.000000
11	SS	0.000000	0.000000	0.000000	0.000000	0.000000	0.000000
12	SS	0.000000	0.000000	0.000000	0.000000	0.000000	0.000000
13	SS	0.000000	0.000000	0.000000	0.000000	0.000000	0.000000
14	SS	0.000000	0.000000	0.000000	0.000000	0.000000	0.000000
15	SS	0.000000	0.000000	0.000000	0.000000	0.000000	0.000000
16	SS	0.000000	0.000000	0.000000	0.000000	0.000000	0.000000
17	SS	0.000000	0.000000	0.000000	0.000000	0.000000	0.000000
35	SS	0.000000	0.000000	0.000000	0.000000	0.000000	0.000000
73	SS	0.000000	0.000000	0.000000	0.000000	0.000000	0.000000
74	SS	0.000000	0.000000	0.000000	0.000000	0.000000	0.000000
1	SLE	0.000000	0.000000	0.000000	0.000000	0.000000	0.000000
2	SLE	0.437808	0.000000	-0.099232	0.000000	-0.000274	0.000000
3	SLE	0.000000	0.000000	0.000000	0.000000	0.000000	0.000000
4	SLE	0.341178	0.000000	-0.066399	0.000000	0.000069	0.000000
5	SLE	0.000000	0.000000	0.000000	0.000000	0.000000	0.000000
6	SLE	0.318579	0.000000	-0.080895	0.000000	0.000073	0.000000
7	SLE	0.227804	0.000000	-0.018937	0.000000	0.000279	0.000000
8	SLE	0.595299	0.000000	-0.036914	0.000000	0.000284	0.000000

9	SLE	0.859905	0.000000	-0.053933	0.000000	0.000139	0.000000
10	SLE	0.910464	0.000000	-0.069992	0.000000	-0.000053	0.000000
11	SLE	0.743223	0.000000	-0.085092	0.000000	-0.000212	0.000000
12	SLE	0.075493	0.000000	-0.009588	0.000000	0.000182	0.000000
13	SLE	0.412613	0.000000	-0.028046	0.000000	0.000308	0.000000
14	SLE	0.750209	0.000000	-0.045543	0.000000	0.000224	0.000000
15	SLE	0.914410	0.000000	-0.062082	0.000000	0.000043	0.000000
16	SLE	0.850764	0.000000	-0.077662	0.000000	-0.000141	0.000000
17	SLE	0.600211	0.000000	-0.092282	0.000000	-0.000258	0.000000
35	SLE	0.000000	0.000000	0.000000	0.000000	-0.000309	0.000000
73	SLE	0.389493	0.000000	-17.276784	0.000000	-0.000003	0.000000
74	SLE	0.329879	0.000000	-6.600284	0.000000	0.000002	0.000000

9.1.2 Fase finale

< Node >

*** NODE DATA

NO	X	Y	Z	TEMPERATURE
108	0	30	0	0
109	0	30	0.5812	0
110	0	30	6.975	0
111	6	30	6.975	0
112	12	30	0	0
113	12	30	6.975	0
114	21.25	30	0	0
115	21.25	30	6.975	0
116	16.63	30	6.975	0
117	0	30	1.162	0
118	0	30	1.744	0
119	0	30	2.325	0
120	0	30	2.906	0
121	0	30	3.487	0
122	0	30	4.069	0
123	0	30	4.65	0
124	0	30	5.231	0
125	0	30	5.813	0
126	0	30	6.394	0

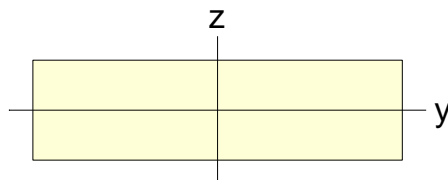
< Material >

N	Ty	St	C	Pr	Ma	El	as	Th	De	ss	De	ns	St	C	Ela	Th	De	ss	De	Pl	Sp.	Heat	Ma	Sh	ea	Sh	ea	Th	er	Ela	er	po	sti	ma	Mo	Sh	ea			
I	a	Ty	an	o	D	od	ss	U	s	e	ti	as	er	ns	ns	De	er	ns	ns	as	Hea	Co.	te	Mo	sti	ea	Sh	ea	Th	er	Ela	er	po	sti	ma	Mo	Sh	ea		
m	p	d	a	d	B	uc	De	ty	is	ci	ti	is	l	y	y	da	ma	it	it	it	it	ti	t	(Btu	ri	El	er	er	Sh	ea	Th	er	Ela	er	po	sti	ma	Mo	Sh	ea
e	e	r	d	e	t	n	s	(N	rd	rd	rd	rd	rd	y2	y2	c	(Bt	ri	El	er	er	Sh	ea	Th	er	Ela	er	po	sti	ma	Mo	Sh	ea							
								/m	2	2	2	2	2	2	2	(N/	mm*	El	er	er	Sh	ea	Th	er	Ela	er	po	sti	ma	Mo	Sh	ea								

C 4 0 1 5 0	Co nc re te C)	EN 04 (R / C)	C 4 0 / 5 5 0		3. 52 0. e+ 04	1. 00 00 2. 00 e- 05	2. 50 00 e- 05	. 54 93 09						No ne	0.0 000	0.00 000	Is ot ro pi c	0. 00 00 00 00	0.0 00 00 00 00	0. 00 00 00 00	0. 00 00 00 00
C 5 0 2 6 0	Co nc re te C)	EN 04 (R / C)	C 5 0 / 6 6 0		3. 72 0. e+ 04	1. 00 00 2. 00 e- 05	2. 50 00 e- 05	. 54 93 09						No ne	0.0 000	0.00 000	Is ot ro pi c	0. 00 00 00 00	0.0 00 00 00 00	0. 00 00 00 00	0. 00 00 00 00

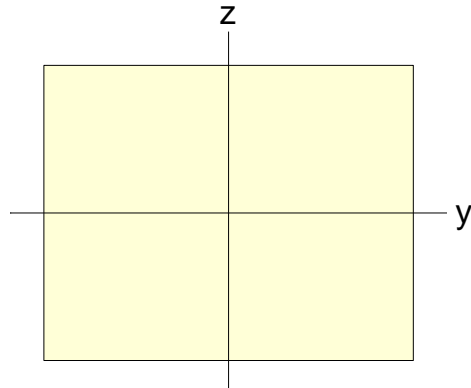
< Section Summary >

1 : Piedritto laterale



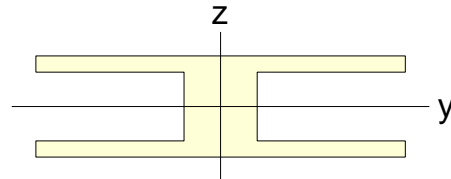
A (mm ²)	Asy (mm ²)	Asz (mm ²)	z (+) (mm)	z (-) (mm)
1692500.000	1410416.667	1410416.667	338.500	338.500
Ixx (mm ⁴)	Iyy (mm ⁴)	Izz (mm ⁴)	y (+) (mm)	y (-) (mm)
214479964117.234	64643486041.667	881510416666.667	1250.000	1250.000

2 : Piedritto centrale



A (mm ²)	Asy (mm ²)	Asz (mm ²)	z (+) (mm)	z (-) (mm)
5000000.000	4166666.667	4166666.667	1000.000	1000.000
Ixx (mm ⁴)	Iyy (mm ⁴)	Izz (mm ⁴)	y (+) (mm)	y (-) (mm)
3421354666666.666	1666666666666.667	2604166666666.667	1250.000	1250.000

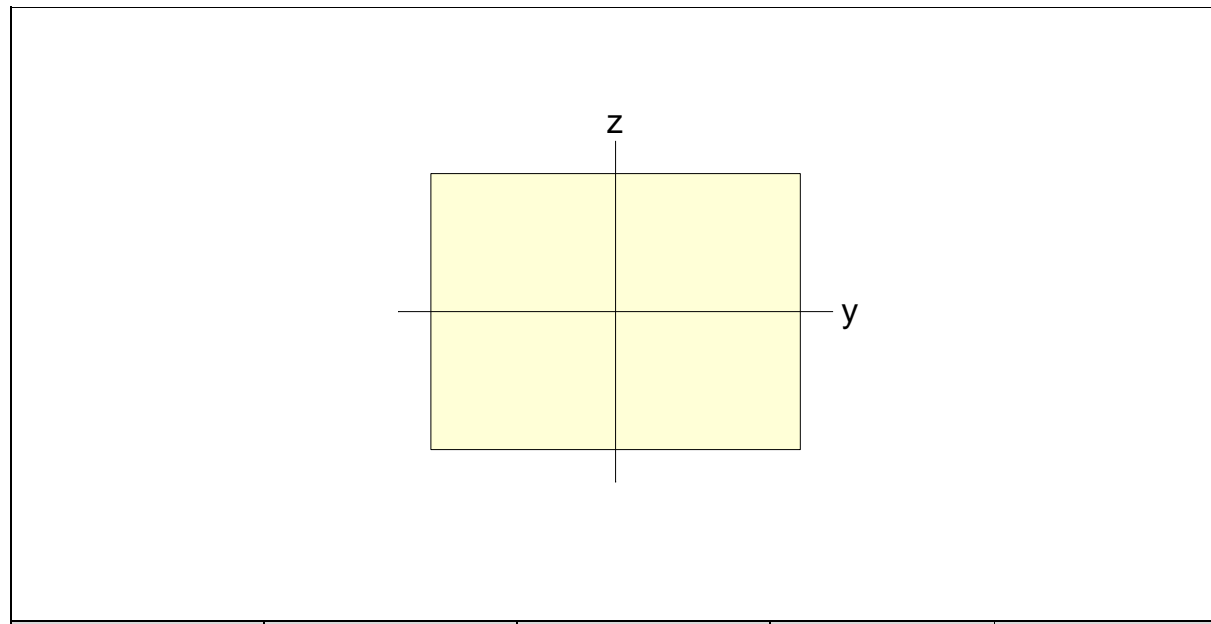
3 : Soletta copertura



A (mm ²)	Asy (mm ²)	Asz (mm ²)	z (+) (mm)	z (-) (mm)

780670.000	458333.333	339570.000	343.000	343.000
I _{xx} (mm ⁴)	I _{yy} (mm ⁴)	I _{zz} (mm ⁴)	y (+) (mm)	y (-) (mm)
20996813402.540	50348064543.333	291168326395.833	1250.000	1250.000

6 : Piedritto rinforzato



A (mm ²)	A _{sy} (mm ²)	A _{sz} (mm ²)	z (+) (mm)	z (-) (mm)
4675000.000	3895833.333	3895833.333	935.000	935.000
I _{xx} (mm ⁴)	I _{yy} (mm ⁴)	I _{zz} (mm ⁴)	y (+) (mm)	y (-) (mm)
2948380952284.606	1362333958333.333	2434895833333.333	1250.000	1250.000

< Section Stiffness Scale Factor >

No	Name	fArea	fAsy	fAsz	fIx _x	fIx _y	fIx _z	fWgt	Part	Group
3	Soletta copertura	1.0000	1.0000	1.0000	1.0000	1.0000	1.0000	1.1400	Before	Default

< Beam >

*** BEAM MEMBER DATA

NO	NODAL CONNECTIVITY		BEAM END RELEASE		MATERIAL	SECTION	LENGTH
	I	J	I	J			
111	108	109	-	-	C40/50 Piedritto late~		0.5812
112	110	111	000011	000000	C50/60 Soletta copert~		6
113	112	113	-	-	C40/50 Piedritto cent~		6.975
114	114	115	-	-	C40/50 Piedritto rinf~		6.975
115	113	116	000011	000000	C40/50 Soletta copert~		4.625
116	117	118	-	-	C40/50 Piedritto late~		0.5812
117	119	120	-	-	C40/50 Piedritto late~		0.5812
118	121	122	-	-	C40/50 Piedritto late~		0.5812
119	123	124	-	-	C40/50 Piedritto late~		0.5813
120	125	126	-	-	C40/50 Piedritto late~		0.5812
121	109	117	-	-	C40/50 Piedritto late~		0.5812
122	118	119	-	-	C40/50 Piedritto late~		0.5813
123	120	121	-	-	C40/50 Piedritto late~		0.5813
124	122	123	-	-	C40/50 Piedritto late~		0.5813
125	124	125	-	-	C40/50 Piedritto late~		0.5812
126	126	110	-	-	C40/50 Piedritto late~		0.5812
127	111	113	000000	000011	C50/60 Soletta copert~		6
128	116	115	000000	000011	C40/50 Soletta copert~		4.625

< Boundary >

** SUPPORT / SPECIFIED DISPLACEMENT

NODE	SUPPORT	SPECIFIED DISPLACEMENT						
		DDDRRR	Dx	Dy	Dz	Rx	Ry	Rz
108	111111	0.0000	0.0000	0.0000	0.0000	0.0000	0.0000	0.0000
112	111111	0.0000	0.0000	0.0000	0.0000	0.0000	0.0000	0.0000
114	111111	0.0000	0.0000	0.0000	0.0000	0.0000	0.0000	0.0000

< Beam End Release >

Element	Type	Flag-i	Fxi	Fyi	Fzi	Mxi	Myi	Mzi	Mbi	Flag-j	Fxj	Fyj	Fzj	Mxj	Myj	Mzj	Mbj	Group
112	Relativ e	0000110	0.000	0.000	0.000	0.000	0.000	0.000	0.000	0000000	0.000	0.000	0.000	0.000	0.000	0.000	0.000	Default
115	Relativ e	0000110	0.000	0.000	0.000	0.000	0.000	0.000	0.000	0000000	0.000	0.000	0.000	0.000	0.000	0.000	0.000	Default
127	Relativ e	0000000	0.000	0.000	0.000	0.000	0.000	0.000	0.000	0000110	0.000	0.000	0.000	0.000	0.000	0.000	0.000	Default
128	Relativ e	0000000	0.000	0.000	0.000	0.000	0.000	0.000	0.000	0000110	0.000	0.000	0.000	0.000	0.000	0.000	0.000	Default

< Weight/Volume/Surface area of all member >

*** TOTAL WEIGHT / VOLUME / SURFACE AREA SUMMARY

SECTION NO	SECCION NAME	SURFACE AREA	VOLUME	WEIGHT	FRAME NUMBER	TRUSS NUMBER
1 Piedritto late~		44.32	11.81	295.1	12	0
2 Piedritto cent~		62.77	34.88	871.9	1	0
3 Soletta copert~		220.6	16.59	414.7	4	0
6 Piedritto rinf~		60.96	32.61	815.2	1	0

< Static Loadcase >

*** LOAD CASE DATA

NO	NAME	TYPE	SELF WEIGHT	FACTOR	DESCRIPTION
			X	Y	Z
1	G1_Str	D	0.000	0.000	-1.000
4	G1_Sovr	D	0.000	0.000	0.000
2	G2_Spinte	D	0.000	0.000	0.000
3	P	PS	0.000	0.000	0.000

5	SN	S	0.000	0.000	0.000
7	SS	E	0.000	0.000	0.000
8	NSLU_SS	USER	0.000	0.000	-1.000

< Self Weight >

[LOAD CASE : G1_Str]

; X=0, Y=0, Z=-1

[LOAD CASE : NSLU_SS]

; X=0, Y=0, Z=-1

< Nodal Load >

[LOAD CASE : G2_Spinte]

NODE	FX	FY	FZ	MX	MY	MZ

108	130.1	0	0	0	0	0
109	122.3	0	0	0	0	0
110	14.98	0	0	0	0	0
117	112.7	0	0	0	0	0
118	103.9	0	0	0	0	0
119	95.24	0	0	0	0	0
120	86.53	0	0	0	0	0
121	77.83	0	0	0	0	0
122	69.12	0	0	0	0	0
123	60.42	0	0	0	0	0
124	51.71	0	0	0	0	0
125	43.01	0	0	0	0	0
126	34.3	0	0	0	0	0

[LOAD CASE : P]

NODE	FX	FY	FZ	MX	MY	MZ
110	2770	0	-2269	0	0	0
115	-2770	0	-2269	0	0	0

[LOAD CASE : SS]

NODE	FX	FY	FZ	MX	MY	MZ
110	181.2	0	0	0	0	0
113	362.5	0	0	0	0	0
115	181.2	0	0	0	0	0

[LOAD CASE : NSLU_SS]

NODE	FX	FY	FZ	MX	MY	MZ
108	130.1	0	0	0	0	0
109	122.3	0	0	0	0	0
110	739.9	0	0	0	0	0
117	112.7	0	0	0	0	0
118	103.9	0	0	0	0	0
119	95.24	0	0	0	0	0
120	86.53	0	0	0	0	0
121	77.83	0	0	0	0	0
122	69.12	0	0	0	0	0
123	60.42	0	0	0	0	0
124	51.71	0	0	0	0	0
125	43.01	0	0	0	0	0
126	34.3	0	0	0	0	0

< Beam Loads >

Ele men t	BM LD Ty pe	Loa d Cas e	Load Type	Ec c.	Ecc. Type	Ec c. Type	U s e r. J	Di - -	Di st -	Ad d. H	Ad d. Us	Ad d. Di	Ad d. Di	Direc tion	Proje ction	D1	D2	D3	D4	P1	P2	P3	P4	Un it	Dx	Dy	Dz	Gro up
-----------------	----------------------	----------------------	--------------	----------	--------------	------------------	------------------------	--------------	---------------	---------------	----------------	----------------	----------------	---------------	----------------	----	----	----	----	----	----	----	----	----------	----	----	----	-----------

127	Beam Load	P	Distributed Forces	No	Centroid	Locally	N 0. 0.	0. 0. 00	No	No	0. 0. 00	Global Z	No	0. 0. 00	0. 0. 00	12. 0	12. 0	0. 0. 00	kN/m	0. 0. 00	Def ault
127	Beam Load	NSL_U_SS	Distributed Forces	No	Centroid	Locally	N 0. 0.	0. 0. 00	No	No	0. 0. 00	Global Z	No	0. 0. 00	0. 0. 00	-	-	0. 0. 00	kN/m	0. 0. 00	Def ault
128	Beam Load	G1_Sov	Distributed Forces	No	Centroid	Locally	N 0. 0.	0. 0. 00	No	No	0. 0. 00	Global Z	No	0. 0. 00	0. 0. 00	-	-	0. 0. 00	kN/m	0. 0. 00	Def ault
128	Beam Load	SN	Distributed Forces	No	Centroid	Locally	N 0. 0.	0. 0. 00	No	No	0. 0. 00	Global Z	No	0. 0. 00	0. 0. 00	-	-	0. 0. 00	kN/m	0. 0. 00	Def ault
128	Beam Load	P	Distributed Forces	No	Centroid	Locally	N 0. 0.	0. 0. 00	No	No	0. 0. 00	Global Z	No	0. 0. 00	0. 0. 00	12. 0	12. 0	0. 0. 00	kN/m	0. 0. 00	Def ault
128	Beam Load	NSL_U_SS	Distributed Forces	No	Centroid	Locally	N 0. 0.	0. 0. 00	No	No	0. 0. 00	Global Z	No	0. 0. 00	0. 0. 00	-	-	0. 0. 00	kN/m	0. 0. 00	Def ault

< Load Combination >

** GENERAL

NO	NAME	TYPE	ACTIVE	DESCRIPTION

1	SLU_P	Add	ACTIVE	
2	SLU	Add	ACTIVE	
3	SLU_SS	Add	INACTIVE	
4	SLE	Add	ACTIVE	

** STEEL DESIGN

NO	NAME	TYPE	ACTIVE	DESCRIPTION

1	SLU	Add	ACTIVE	

** CONCRETE DESIGN

NO	NAME	TYPE	ACTIVE	DESCRIPTION

1 NSLU_SS Add STRENGTH

< Reaction >

Node	Load	FX (kN)	FY (kN)	FZ (kN)	MX (kN*m)	MY (kN*m)	MZ (kN*m)
108	G1_Str	0.000000	0.000000	428.624257	0.000000	0.000000	0.000000
112	G1_Str	0.000000	0.000000	1108.271634	0.000000	0.000000	0.000000
114	G1_Str	0.000000	0.000000	918.105189	0.000000	0.000000	0.000000
108	G1_Sovr	0.000000	0.000000	495.467500	0.000000	0.000000	0.000000
112	G1_Sovr	0.000000	0.000000	877.410000	0.000000	0.000000	0.000000
114	G1_Sovr	0.000000	0.000000	381.932500	0.000000	0.000000	0.000000
108	G2_Spinte	-766.558420	0.000000	0.000000	0.000000	-891.027795	0.000000
112	G2_Spinte	-136.576199	0.000000	0.000000	0.000000	-952.618989	0.000000
114	G2_Spinte	-98.995380	0.000000	0.000000	0.000000	-690.492779	0.000000
108	P	-29.717526	0.000000	2197.000000	0.000000	-207.279742	0.000000
112	P	-174.642446	0.000000	-127.500000	0.000000	-1218.131064	0.000000
114	P	204.359972	0.000000	2213.500000	0.000000	1425.410805	0.000000
108	SN	0.000000	0.000000	18.000000	0.000000	0.000000	0.000000
112	SN	0.000000	0.000000	31.875000	0.000000	0.000000	0.000000
114	SN	0.000000	0.000000	13.875000	0.000000	0.000000	0.000000
108	SS	-17.571328	0.000000	0.000000	0.000000	-122.560011	0.000000
112	SS	-397.548063	0.000000	0.000000	0.000000	-2772.897740	0.000000
114	SS	-309.810077	0.000000	0.000000	0.000000	-2160.925288	0.000000
108	NSLU_SS	-788.970507	0.000000	924.104257	0.000000	-1047.352098	0.000000
112	NSLU_SS	-543.882910	0.000000	1985.684134	0.000000	-3793.583299	0.000000

114	NSLU_SS	-394.226051	0.000000	1300.037689	0.000000	-2749.726705	0.000000
108	SLU_P	-949.587630	0.000000	3332.910109	0.000000	-1276.513095	0.000000
112	SLU_P	-338.533885	0.000000	2303.130461	0.000000	-2361.273851	0.000000
114	SLU_P	85.565515	0.000000	3794.357727	0.000000	596.819471	0.000000
108	SLU	-919.870104	0.000000	1135.910109	0.000000	-1069.233353	0.000000
112	SLU	-163.891439	0.000000	2430.630461	0.000000	-1143.142787	0.000000
114	SLU	-118.794457	0.000000	1580.857727	0.000000	-828.591335	0.000000
108	SLE	-796.275946	0.000000	3139.091757	0.000000	-1098.307536	0.000000
112	SLE	-311.218646	0.000000	1890.056634	0.000000	-2170.750053	0.000000
114	SLE	105.364592	0.000000	3527.412689	0.000000	734.918026	0.000000
108	SLU	-919.870104	0.000000	1135.910109	0.000000	-1069.233353	0.000000
112	SLU	-163.891439	0.000000	2430.630461	0.000000	-1143.142787	0.000000
114	SLU	-118.794457	0.000000	1580.857727	0.000000	-828.591335	0.000000
108	NSLU_SS	-788.970507	0.000000	924.104257	0.000000	-1047.352098	0.000000
112	NSLU_SS	-543.882910	0.000000	1985.684134	0.000000	-3793.583299	0.000000
114	NSLU_SS	-394.226051	0.000000	1300.037689	0.000000	-2749.726705	0.000000

SUMMATION OF REACTION FORCES PRINTOUT

	Load	FX (kN)	FY (kN)	FZ (kN)			
	G1_Str	0.000000	0.000000	2455.001081			
	G1_Sovr	0.000000	0.000000	1754.810000			
	G2_Spinte	-1002.130000	0.000000	0.000000			
	P	-0.000000	0.000000	4283.000000			
	SN	0.000000	0.000000	63.750000			
	SS	-724.929468	0.000000	0.000000			
	NSLU_SS	-1727.079468	0.000000	4209.826081			

	SLU_P	-1202.556000	0.000000	9430.398297			
	SLU	-1202.556000	0.000000	5147.398297			
	SLE	-1002.130000	0.000000	8556.561081			
	SLU	-1202.556000	0.000000	5147.398297			
	NSLU_SS	-1727.079468	0.000000	4209.826081			

< Beam Force >

Elem	Load	Part	Axial (kN)	Shear-y (kN)	Shear-z (kN)	Torsion (kN*m)	Moment-y (kN*m)	Moment-z (kN*m)
111	G1_Str	I[108]	-428.62	0.00	0.00	0.00	0.00	0.00
111	G1_Str	J[109]	-404.03	0.00	0.00	0.00	0.00	0.00
112	G1_Str	I[110]	0.00	0.00	-133.49	0.00	0.00	0.00
112	G1_Str	J[111]	0.00	0.00	0.00	0.00	400.48	0.00
113	G1_Str	I[112]	-1108.27	0.00	0.00	0.00	0.00	0.00
113	G1_Str	J[113]	-236.40	0.00	0.00	0.00	0.00	0.00
114	G1_Str	I[114]	-918.11	0.00	0.00	0.00	0.00	0.00
114	G1_Str	J[115]	-102.90	0.00	0.00	0.00	0.00	0.00
115	G1_Str	I[113]	0.00	0.00	-102.90	0.00	0.00	0.00
115	G1_Str	J[116]	0.00	0.00	0.00	0.00	237.96	0.00
116	G1_Str	I[117]	-379.44	0.00	0.00	0.00	0.00	0.00
116	G1_Str	J[118]	-354.84	0.00	0.00	0.00	0.00	0.00
117	G1_Str	I[119]	-330.25	0.00	0.00	0.00	0.00	0.00
117	G1_Str	J[120]	-305.65	0.00	0.00	0.00	0.00	0.00
118	G1_Str	I[121]	-281.06	0.00	0.00	0.00	0.00	0.00
118	G1_Str	J[122]	-256.47	0.00	0.00	0.00	0.00	0.00

119	G1_Str	I [123]	-231.87	0.00	0.00	0.00	0.00	0.00
119	G1_Str	J [124]	-207.28	0.00	0.00	0.00	0.00	0.00
120	G1_Str	I [125]	-182.68	0.00	0.00	0.00	0.00	0.00
120	G1_Str	J [126]	-158.09	0.00	0.00	0.00	0.00	0.00
121	G1_Str	I [109]	-404.03	0.00	0.00	0.00	0.00	0.00
121	G1_Str	J [117]	-379.44	0.00	0.00	0.00	0.00	0.00
122	G1_Str	I [118]	-354.84	0.00	0.00	0.00	0.00	0.00
122	G1_Str	J [119]	-330.25	0.00	0.00	0.00	0.00	0.00
123	G1_Str	I [120]	-305.65	0.00	0.00	0.00	0.00	0.00
123	G1_Str	J [121]	-281.06	0.00	0.00	0.00	0.00	0.00
124	G1_Str	I [122]	-256.47	0.00	0.00	0.00	0.00	0.00
124	G1_Str	J [123]	-231.87	0.00	0.00	0.00	0.00	0.00
125	G1_Str	I [124]	-207.28	0.00	0.00	0.00	0.00	0.00
125	G1_Str	J [125]	-182.68	0.00	0.00	0.00	0.00	0.00
126	G1_Str	I [126]	-158.09	0.00	0.00	0.00	0.00	0.00
126	G1_Str	J [110]	-133.49	0.00	0.00	0.00	0.00	0.00
127	G1_Str	I [111]	0.00	0.00	0.00	0.00	400.48	0.00
127	G1_Str	J [113]	0.00	0.00	133.49	0.00	0.00	0.00
128	G1_Str	I [116]	0.00	0.00	0.00	0.00	237.96	0.00
128	G1_Str	J [115]	0.00	0.00	102.90	0.00	0.00	0.00
111	G1_Sovr	I [108]	-495.47	0.00	0.00	0.00	0.00	0.00
111	G1_Sovr	J [109]	-495.47	0.00	0.00	0.00	0.00	0.00
112	G1_Sovr	I [110]	0.00	0.00	-495.47	0.00	0.00	0.00
112	G1_Sovr	J [111]	0.00	0.00	-0.00	0.00	1486.42	0.00
113	G1_Sovr	I [112]	-877.41	0.00	0.00	0.00	0.00	0.00

113	G1_Sovr	J[113]	-877.41	0.00	0.00	0.00	0.00	0.00
114	G1_Sovr	I[114]	-381.93	0.00	0.00	0.00	0.00	0.00
114	G1_Sovr	J[115]	-381.93	0.00	0.00	0.00	0.00	0.00
115	G1_Sovr	I[113]	0.00	0.00	-381.93	0.00	0.00	0.00
115	G1_Sovr	J[116]	0.00	0.00	0.00	0.00	883.22	0.00
116	G1_Sovr	I[117]	-495.47	0.00	0.00	0.00	0.00	0.00
116	G1_Sovr	J[118]	-495.47	0.00	0.00	0.00	0.00	0.00
117	G1_Sovr	I[119]	-495.47	0.00	0.00	0.00	0.00	0.00
117	G1_Sovr	J[120]	-495.47	0.00	0.00	0.00	0.00	0.00
118	G1_Sovr	I[121]	-495.47	0.00	0.00	0.00	0.00	0.00
118	G1_Sovr	J[122]	-495.47	0.00	0.00	0.00	0.00	0.00
119	G1_Sovr	I[123]	-495.47	0.00	0.00	0.00	0.00	0.00
119	G1_Sovr	J[124]	-495.47	0.00	0.00	0.00	0.00	0.00
120	G1_Sovr	I[125]	-495.47	0.00	0.00	0.00	0.00	0.00
120	G1_Sovr	J[126]	-495.47	0.00	0.00	0.00	0.00	0.00
121	G1_Sovr	I[109]	-495.47	0.00	0.00	0.00	0.00	0.00
121	G1_Sovr	J[117]	-495.47	0.00	0.00	0.00	0.00	0.00
122	G1_Sovr	I[118]	-495.47	0.00	0.00	0.00	0.00	0.00
122	G1_Sovr	J[119]	-495.47	0.00	0.00	0.00	0.00	0.00
123	G1_Sovr	I[120]	-495.47	0.00	0.00	0.00	0.00	0.00
123	G1_Sovr	J[121]	-495.47	0.00	0.00	0.00	0.00	0.00
124	G1_Sovr	I[122]	-495.47	0.00	0.00	0.00	0.00	0.00
124	G1_Sovr	J[123]	-495.47	0.00	0.00	0.00	0.00	0.00
125	G1_Sovr	I[124]	-495.47	0.00	0.00	0.00	0.00	0.00
125	G1_Sovr	J[125]	-495.47	0.00	0.00	0.00	0.00	0.00

126	G1_Sovr	I[126]	-495.47	0.00	0.00	0.00	0.00	0.00
126	G1_Sovr	J[110]	-495.47	0.00	0.00	0.00	0.00	0.00
127	G1_Sovr	I[111]	0.00	0.00	-0.00	0.00	1486.42	0.00
127	G1_Sovr	J[113]	0.00	0.00	495.48	0.00	0.00	0.00
128	G1_Sovr	I[116]	0.00	0.00	0.00	0.00	883.22	0.00
128	G1_Sovr	J[115]	0.00	0.00	381.93	0.00	0.00	0.00
111	G2_Spinte	I[108]	0.00	0.00	636.51	0.00	891.03	0.00
111	G2_Spinte	J[109]	0.00	0.00	636.51	0.00	521.06	0.00
112	G2_Spinte	I[110]	-235.57	0.00	0.00	0.00	0.00	0.00
112	G2_Spinte	J[111]	-235.57	0.00	0.00	0.00	0.00	0.00
113	G2_Spinte	I[112]	0.00	0.00	136.58	0.00	952.62	0.00
113	G2_Spinte	J[113]	0.00	0.00	136.58	0.00	0.00	0.00
114	G2_Spinte	I[114]	0.00	0.00	99.00	0.00	690.49	0.00
114	G2_Spinte	J[115]	0.00	0.00	99.00	0.00	0.00	0.00
115	G2_Spinte	I[113]	-99.00	0.00	0.00	0.00	0.00	0.00
115	G2_Spinte	J[116]	-99.00	0.00	0.00	0.00	0.00	0.00
116	G2_Spinte	I[117]	0.00	0.00	401.51	0.00	222.20	0.00
116	G2_Spinte	J[118]	0.00	0.00	401.51	0.00	-11.17	0.00
117	G2_Spinte	I[119]	0.00	0.00	202.33	0.00	-184.14	0.00
117	G2_Spinte	J[120]	0.00	0.00	202.33	0.00	-301.74	0.00
118	G2_Spinte	I[121]	0.00	0.00	37.97	0.00	-369.05	0.00
118	G2_Spinte	J[122]	0.00	0.00	37.97	0.00	-391.12	0.00
119	G2_Spinte	I[123]	0.00	0.00	-91.57	0.00	-373.01	0.00
119	G2_Spinte	J[124]	0.00	0.00	-91.57	0.00	-319.78	0.00
120	G2_Spinte	I[125]	0.00	0.00	-186.29	0.00	-236.50	0.00

120	G2_Spinte	J[126]	0.00	0.00	-186.29	0.00	-128.22	0.00
121	G2_Spinte	I[109]	0.00	0.00	514.16	0.00	521.06	0.00
121	G2_Spinte	J[117]	0.00	0.00	514.16	0.00	222.20	0.00
122	G2_Spinte	I[118]	0.00	0.00	297.57	0.00	-11.17	0.00
122	G2_Spinte	J[119]	0.00	0.00	297.57	0.00	-184.14	0.00
123	G2_Spinte	I[120]	0.00	0.00	115.80	0.00	-301.74	0.00
123	G2_Spinte	J[121]	0.00	0.00	115.80	0.00	-369.05	0.00
124	G2_Spinte	I[122]	0.00	0.00	-31.15	0.00	-391.12	0.00
124	G2_Spinte	J[123]	0.00	0.00	-31.15	0.00	-373.01	0.00
125	G2_Spinte	I[124]	0.00	0.00	-143.28	0.00	-319.78	0.00
125	G2_Spinte	J[125]	0.00	0.00	-143.28	0.00	-236.50	0.00
126	G2_Spinte	I[126]	0.00	0.00	-220.59	0.00	-128.22	0.00
126	G2_Spinte	J[110]	0.00	0.00	-220.59	0.00	0.00	0.00
127	G2_Spinte	I[111]	-235.57	0.00	0.00	0.00	0.00	0.00
127	G2_Spinte	J[113]	-235.57	0.00	0.00	0.00	0.00	0.00
128	G2_Spinte	I[116]	-99.00	0.00	0.00	0.00	0.00	0.00
128	G2_Spinte	J[115]	-99.00	0.00	0.00	0.00	0.00	0.00
111	P	I[108]	-2197.00	0.00	29.72	0.00	207.28	0.00
111	P	J[109]	-2197.00	0.00	29.72	0.00	190.01	0.00
112	P	I[110]	-2740.28	0.00	72.00	0.00	0.00	0.00
112	P	J[111]	-2740.28	0.00	0.00	0.00	-216.00	0.00
113	P	I[112]	127.50	0.00	174.64	0.00	1218.13	0.00
113	P	J[113]	127.50	0.00	174.64	0.00	0.00	0.00
114	P	I[114]	-2213.50	0.00	-204.36	0.00	-1425.41	0.00
114	P	J[115]	-2213.50	0.00	-204.36	0.00	0.00	0.00

115	P	I [113]	-2565.64	0.00	55.50	0.00	0.00	0.00
115	P	J [116]	-2565.64	0.00	0.00	0.00	-128.34	0.00
116	P	I [117]	-2197.00	0.00	29.72	0.00	172.73	0.00
116	P	J [118]	-2197.00	0.00	29.72	0.00	155.46	0.00
117	P	I [119]	-2197.00	0.00	29.72	0.00	138.19	0.00
117	P	J [120]	-2197.00	0.00	29.72	0.00	120.91	0.00
118	P	I [121]	-2197.00	0.00	29.72	0.00	103.64	0.00
118	P	J [122]	-2197.00	0.00	29.72	0.00	86.37	0.00
119	P	I [123]	-2197.00	0.00	29.72	0.00	69.09	0.00
119	P	J [124]	-2197.00	0.00	29.72	0.00	51.82	0.00
120	P	I [125]	-2197.00	0.00	29.72	0.00	34.55	0.00
120	P	J [126]	-2197.00	0.00	29.72	0.00	17.27	0.00
121	P	I [109]	-2197.00	0.00	29.72	0.00	190.01	0.00
121	P	J [117]	-2197.00	0.00	29.72	0.00	172.73	0.00
122	P	I [118]	-2197.00	0.00	29.72	0.00	155.46	0.00
122	P	J [119]	-2197.00	0.00	29.72	0.00	138.19	0.00
123	P	I [120]	-2197.00	0.00	29.72	0.00	120.91	0.00
123	P	J [121]	-2197.00	0.00	29.72	0.00	103.64	0.00
124	P	I [122]	-2197.00	0.00	29.72	0.00	86.37	0.00
124	P	J [123]	-2197.00	0.00	29.72	0.00	69.09	0.00
125	P	I [124]	-2197.00	0.00	29.72	0.00	51.82	0.00
125	P	J [125]	-2197.00	0.00	29.72	0.00	34.55	0.00
126	P	I [126]	-2197.00	0.00	29.72	0.00	17.27	0.00
126	P	J [110]	-2197.00	0.00	29.72	0.00	0.00	0.00
127	P	I [111]	-2740.28	0.00	0.00	0.00	-216.00	0.00

127	P	J[113]	-2740.28	0.00	-72.00	0.00	0.00	0.00
128	P	I[116]	-2565.64	0.00	0.00	0.00	-128.34	0.00
128	P	J[115]	-2565.64	0.00	-55.50	0.00	0.00	0.00
111	SN	I[108]	-18.00	0.00	0.00	0.00	0.00	0.00
111	SN	J[109]	-18.00	0.00	0.00	0.00	0.00	0.00
112	SN	I[110]	0.00	0.00	-18.00	0.00	0.00	0.00
112	SN	J[111]	0.00	0.00	0.00	0.00	54.00	0.00
113	SN	I[112]	-31.87	0.00	0.00	0.00	0.00	0.00
113	SN	J[113]	-31.87	0.00	0.00	0.00	0.00	0.00
114	SN	I[114]	-13.87	0.00	0.00	0.00	0.00	0.00
114	SN	J[115]	-13.87	0.00	0.00	0.00	0.00	0.00
115	SN	I[113]	0.00	0.00	-13.87	0.00	0.00	0.00
115	SN	J[116]	0.00	0.00	0.00	0.00	32.09	0.00
116	SN	I[117]	-18.00	0.00	0.00	0.00	0.00	0.00
116	SN	J[118]	-18.00	0.00	0.00	0.00	0.00	0.00
117	SN	I[119]	-18.00	0.00	0.00	0.00	0.00	0.00
117	SN	J[120]	-18.00	0.00	0.00	0.00	0.00	0.00
118	SN	I[121]	-18.00	0.00	0.00	0.00	0.00	0.00
118	SN	J[122]	-18.00	0.00	0.00	0.00	0.00	0.00
119	SN	I[123]	-18.00	0.00	0.00	0.00	0.00	0.00
119	SN	J[124]	-18.00	0.00	0.00	0.00	0.00	0.00
120	SN	I[125]	-18.00	0.00	0.00	0.00	0.00	0.00
120	SN	J[126]	-18.00	0.00	0.00	0.00	0.00	0.00
121	SN	I[109]	-18.00	0.00	0.00	0.00	0.00	0.00
121	SN	J[117]	-18.00	0.00	0.00	0.00	0.00	0.00

122	SN	I [118]	-18.00	0.00	0.00	0.00	0.00	0.00
122	SN	J [119]	-18.00	0.00	0.00	0.00	0.00	0.00
123	SN	I [120]	-18.00	0.00	0.00	0.00	0.00	0.00
123	SN	J [121]	-18.00	0.00	0.00	0.00	0.00	0.00
124	SN	I [122]	-18.00	0.00	0.00	0.00	0.00	0.00
124	SN	J [123]	-18.00	0.00	0.00	0.00	0.00	0.00
125	SN	I [124]	-18.00	0.00	0.00	0.00	0.00	0.00
125	SN	J [125]	-18.00	0.00	0.00	0.00	0.00	0.00
126	SN	I [126]	-18.00	0.00	0.00	0.00	0.00	0.00
126	SN	J [110]	-18.00	0.00	0.00	0.00	0.00	0.00
127	SN	I [111]	0.00	0.00	0.00	0.00	54.00	0.00
127	SN	J [113]	0.00	0.00	18.00	0.00	0.00	0.00
128	SN	I [116]	0.00	0.00	0.00	0.00	32.09	0.00
128	SN	J [115]	0.00	0.00	13.87	0.00	0.00	0.00
111	SS	I [108]	0.00	0.00	17.57	0.00	122.56	0.00
111	SS	J [109]	0.00	0.00	17.57	0.00	112.35	0.00
112	SS	I [110]	-163.66	0.00	0.00	0.00	0.00	0.00
112	SS	J [111]	-163.66	0.00	0.00	0.00	0.00	0.00
113	SS	I [112]	0.00	0.00	397.55	0.00	2772.90	0.00
113	SS	J [113]	0.00	0.00	397.55	0.00	0.00	0.00
114	SS	I [114]	0.00	0.00	309.81	0.00	2160.93	0.00
114	SS	J [115]	0.00	0.00	309.81	0.00	0.00	0.00
115	SS	I [113]	-128.58	0.00	0.00	0.00	0.00	0.00
115	SS	J [116]	-128.58	0.00	0.00	0.00	0.00	0.00
116	SS	I [117]	0.00	0.00	17.57	0.00	102.13	0.00

116	ss	J[118]	0.00	0.00	17.57	0.00	91.92	0.00
117	ss	I[119]	0.00	0.00	17.57	0.00	81.71	0.00
117	ss	J[120]	0.00	0.00	17.57	0.00	71.49	0.00
118	ss	I[121]	0.00	0.00	17.57	0.00	61.28	0.00
118	ss	J[122]	0.00	0.00	17.57	0.00	51.07	0.00
119	ss	I[123]	0.00	0.00	17.57	0.00	40.85	0.00
119	ss	J[124]	0.00	0.00	17.57	0.00	30.64	0.00
120	ss	I[125]	0.00	0.00	17.57	0.00	20.43	0.00
120	ss	J[126]	0.00	0.00	17.57	0.00	10.21	0.00
121	ss	I[109]	0.00	0.00	17.57	0.00	112.35	0.00
121	ss	J[117]	0.00	0.00	17.57	0.00	102.13	0.00
122	ss	I[118]	0.00	0.00	17.57	0.00	91.92	0.00
122	ss	J[119]	0.00	0.00	17.57	0.00	81.71	0.00
123	ss	I[120]	0.00	0.00	17.57	0.00	71.49	0.00
123	ss	J[121]	0.00	0.00	17.57	0.00	61.28	0.00
124	ss	I[122]	0.00	0.00	17.57	0.00	51.07	0.00
124	ss	J[123]	0.00	0.00	17.57	0.00	40.85	0.00
125	ss	I[124]	0.00	0.00	17.57	0.00	30.64	0.00
125	ss	J[125]	0.00	0.00	17.57	0.00	20.43	0.00
126	ss	I[126]	0.00	0.00	17.57	0.00	10.21	0.00
126	ss	J[110]	0.00	0.00	17.57	0.00	0.00	0.00
127	ss	I[111]	-163.66	0.00	0.00	0.00	0.00	0.00
127	ss	J[113]	-163.66	0.00	0.00	0.00	0.00	0.00
128	ss	I[116]	-128.58	0.00	0.00	0.00	0.00	0.00
128	ss	J[115]	-128.58	0.00	0.00	0.00	0.00	0.00

111	NSLU_SS	I [108]	-924.10	0.00	658.92	0.00	1047.35	0.00
111	NSLU_SS	J [109]	-899.51	0.00	658.92	0.00	664.35	0.00
112	NSLU_SS	I [110]	-938.11	0.00	-628.97	0.00	0.00	0.00
112	NSLU_SS	J [111]	-938.11	0.00	0.00	0.00	1886.92	0.00
113	NSLU_SS	I [112]	-1985.68	0.00	543.88	0.00	3793.58	0.00
113	NSLU_SS	J [113]	-1113.81	0.00	543.88	0.00	0.00	0.00
114	NSLU_SS	I [114]	-1300.04	0.00	394.23	0.00	2749.73	0.00
114	NSLU_SS	J [115]	-484.83	0.00	394.23	0.00	0.00	0.00
115	NSLU_SS	I [113]	-394.23	0.00	-484.83	0.00	0.00	0.00
115	NSLU_SS	J [116]	-394.23	0.00	0.00	0.00	1121.18	0.00
116	NSLU_SS	I [117]	-874.92	0.00	423.92	0.00	352.47	0.00
116	NSLU_SS	J [118]	-850.32	0.00	423.92	0.00	106.07	0.00
117	NSLU_SS	I [119]	-825.73	0.00	224.74	0.00	-79.92	0.00
117	NSLU_SS	J [120]	-801.13	0.00	224.74	0.00	-210.55	0.00
118	NSLU_SS	I [121]	-776.54	0.00	60.38	0.00	-290.88	0.00
118	NSLU_SS	J [122]	-751.95	0.00	60.38	0.00	-325.98	0.00
119	NSLU_SS	I [123]	-727.35	0.00	-69.16	0.00	-320.90	0.00
119	NSLU_SS	J [124]	-702.76	0.00	-69.16	0.00	-280.70	0.00
120	NSLU_SS	I [125]	-678.16	0.00	-163.88	0.00	-210.45	0.00
120	NSLU_SS	J [126]	-653.57	0.00	-163.88	0.00	-115.19	0.00
121	NSLU_SS	I [109]	-899.51	0.00	536.57	0.00	664.35	0.00
121	NSLU_SS	J [117]	-874.92	0.00	536.57	0.00	352.47	0.00
122	NSLU_SS	I [118]	-850.32	0.00	319.98	0.00	106.07	0.00
122	NSLU_SS	J [119]	-825.73	0.00	319.98	0.00	-79.92	0.00
123	NSLU_SS	I [120]	-801.13	0.00	138.21	0.00	-210.55	0.00

123	NSLU_SS	J[121]	-776.54	0.00	138.21	0.00	-290.88	0.00
124	NSLU_SS	I[122]	-751.95	0.00	-8.74	0.00	-325.98	0.00
124	NSLU_SS	J[123]	-727.35	0.00	-8.74	0.00	-320.90	0.00
125	NSLU_SS	I[124]	-702.76	0.00	-120.87	0.00	-280.70	0.00
125	NSLU_SS	J[125]	-678.16	0.00	-120.87	0.00	-210.45	0.00
126	NSLU_SS	I[126]	-653.57	0.00	-198.18	0.00	-115.19	0.00
126	NSLU_SS	J[110]	-628.97	0.00	-198.18	0.00	0.00	0.00
127	NSLU_SS	I[111]	-938.11	0.00	0.00	0.00	1886.92	0.00
127	NSLU_SS	J[113]	-938.11	0.00	628.97	0.00	0.00	0.00
128	NSLU_SS	I[116]	-394.23	0.00	0.00	0.00	1121.18	0.00
128	NSLU_SS	J[115]	-394.23	0.00	484.83	0.00	0.00	0.00
111	SLU_P	I[108]	-3332.91	0.00	793.53	0.00	1276.51	0.00
111	SLU_P	J[109]	-3303.40	0.00	793.53	0.00	815.28	0.00
112	SLU_P	I[110]	-3022.97	0.00	-709.75	0.00	0.00	0.00
112	SLU_P	J[111]	-3022.97	0.00	-0.00	0.00	2129.29	0.00
113	SLU_P	I[112]	-2303.13	0.00	338.53	0.00	2361.27	0.00
113	SLU_P	J[113]	-1256.88	0.00	338.53	0.00	0.00	0.00
114	SLU_P	I[114]	-3794.36	0.00	-85.57	0.00	-596.82	0.00
114	SLU_P	J[115]	-2816.11	0.00	-85.57	0.00	0.00	0.00
115	SLU_P	I[113]	-2684.43	0.00	-547.11	0.00	0.00	0.00
115	SLU_P	J[116]	-2684.43	0.00	0.00	0.00	1265.20	0.00
116	SLU_P	I[117]	-3273.88	0.00	511.53	0.00	439.38	0.00
116	SLU_P	J[118]	-3244.37	0.00	511.53	0.00	142.05	0.00
117	SLU_P	I[119]	-3214.86	0.00	272.51	0.00	-82.78	0.00
117	SLU_P	J[120]	-3185.35	0.00	272.51	0.00	-241.17	0.00

118	SLU_P	I [121]	-3155.83	0.00	75.28	0.00	-339.22	0.00
118	SLU_P	J [122]	-3126.32	0.00	75.28	0.00	-382.97	0.00
119	SLU_P	I [123]	-3096.81	0.00	-80.17	0.00	-378.52	0.00
119	SLU_P	J [124]	-3067.29	0.00	-80.17	0.00	-331.92	0.00
120	SLU_P	I [125]	-3037.78	0.00	-193.83	0.00	-249.25	0.00
120	SLU_P	J [126]	-3008.27	0.00	-193.83	0.00	-136.59	0.00
121	SLU_P	I [109]	-3303.40	0.00	646.71	0.00	815.28	0.00
121	SLU_P	J [117]	-3273.88	0.00	646.71	0.00	439.38	0.00
122	SLU_P	I [118]	-3244.37	0.00	386.80	0.00	142.05	0.00
122	SLU_P	J [119]	-3214.86	0.00	386.80	0.00	-82.78	0.00
123	SLU_P	I [120]	-3185.35	0.00	168.68	0.00	-241.17	0.00
123	SLU_P	J [121]	-3155.83	0.00	168.68	0.00	-339.22	0.00
124	SLU_P	I [122]	-3126.32	0.00	-7.66	0.00	-382.97	0.00
124	SLU_P	J [123]	-3096.81	0.00	-7.66	0.00	-378.52	0.00
125	SLU_P	I [124]	-3067.29	0.00	-142.22	0.00	-331.92	0.00
125	SLU_P	J [125]	-3037.78	0.00	-142.22	0.00	-249.25	0.00
126	SLU_P	I [126]	-3008.27	0.00	-234.99	0.00	-136.59	0.00
126	SLU_P	J [110]	-2978.75	0.00	-234.99	0.00	0.00	0.00
127	SLU_P	I [111]	-3022.97	0.00	-0.00	0.00	2129.29	0.00
127	SLU_P	J [113]	-3022.97	0.00	709.77	0.00	0.00	0.00
128	SLU_P	I [116]	-2684.43	0.00	0.00	0.00	1265.20	0.00
128	SLU_P	J [115]	-2684.43	0.00	547.11	0.00	0.00	0.00
111	SLU	I [108]	-1135.91	0.00	763.81	0.00	1069.23	0.00
111	SLU	J [109]	-1106.40	0.00	763.81	0.00	625.27	0.00
112	SLU	I [110]	-282.69	0.00	-781.75	0.00	0.00	0.00

112	SLU	J[111]	-282.69	0.00	-0.00	0.00	2345.29	0.00
113	SLU	I[112]	-2430.63	0.00	163.89	0.00	1143.14	0.00
113	SLU	J[113]	-1384.38	0.00	163.89	0.00	0.00	0.00
114	SLU	I[114]	-1580.86	0.00	118.79	0.00	828.59	0.00
114	SLU	J[115]	-602.61	0.00	118.79	0.00	0.00	0.00
115	SLU	I[113]	-118.79	0.00	-602.61	0.00	0.00	0.00
115	SLU	J[116]	-118.79	0.00	0.00	0.00	1393.54	0.00
116	SLU	I[117]	-1076.88	0.00	481.81	0.00	266.64	0.00
116	SLU	J[118]	-1047.37	0.00	481.81	0.00	-13.41	0.00
117	SLU	I[119]	-1017.86	0.00	242.79	0.00	-220.96	0.00
117	SLU	J[120]	-988.35	0.00	242.79	0.00	-362.09	0.00
118	SLU	I[121]	-958.83	0.00	45.56	0.00	-442.86	0.00
118	SLU	J[122]	-929.32	0.00	45.56	0.00	-469.34	0.00
119	SLU	I[123]	-899.81	0.00	-109.89	0.00	-447.61	0.00
119	SLU	J[124]	-870.29	0.00	-109.89	0.00	-383.74	0.00
120	SLU	I[125]	-840.78	0.00	-223.55	0.00	-283.80	0.00
120	SLU	J[126]	-811.27	0.00	-223.55	0.00	-153.86	0.00
121	SLU	I[109]	-1106.40	0.00	616.99	0.00	625.27	0.00
121	SLU	J[117]	-1076.88	0.00	616.99	0.00	266.64	0.00
122	SLU	I[118]	-1047.37	0.00	357.08	0.00	-13.41	0.00
122	SLU	J[119]	-1017.86	0.00	357.08	0.00	-220.96	0.00
123	SLU	I[120]	-988.35	0.00	138.96	0.00	-362.09	0.00
123	SLU	J[121]	-958.83	0.00	138.96	0.00	-442.86	0.00
124	SLU	I[122]	-929.32	0.00	-37.38	0.00	-469.34	0.00
124	SLU	J[123]	-899.81	0.00	-37.38	0.00	-447.61	0.00

125	SLU	I [124]	-870.29	0.00	-171.94	0.00	-383.74	0.00
125	SLU	J [125]	-840.78	0.00	-171.94	0.00	-283.80	0.00
126	SLU	I [126]	-811.27	0.00	-264.71	0.00	-153.86	0.00
126	SLU	J [110]	-781.75	0.00	-264.71	0.00	0.00	0.00
127	SLU	I [111]	-282.69	0.00	-0.00	0.00	2345.29	0.00
127	SLU	J [113]	-282.69	0.00	781.77	0.00	0.00	0.00
128	SLU	I [116]	-118.79	0.00	0.00	0.00	1393.54	0.00
128	SLU	J [115]	-118.79	0.00	602.61	0.00	0.00	0.00
111	SLE	I [108]	-3139.09	0.00	666.23	0.00	1098.31	0.00
111	SLE	J [109]	-3114.50	0.00	666.23	0.00	711.06	0.00
112	SLE	I [110]	-2975.85	0.00	-574.96	0.00	0.00	0.00
112	SLE	J [111]	-2975.85	0.00	-0.00	0.00	1724.91	0.00
113	SLE	I [112]	-1890.06	0.00	311.22	0.00	2170.75	0.00
113	SLE	J [113]	-1018.18	0.00	311.22	0.00	0.00	0.00
114	SLE	I [114]	-3527.41	0.00	-105.36	0.00	-734.92	0.00
114	SLE	J [115]	-2712.21	0.00	-105.36	0.00	0.00	0.00
115	SLE	I [113]	-2664.64	0.00	-443.21	0.00	0.00	0.00
115	SLE	J [116]	-2664.64	0.00	0.00	0.00	1024.92	0.00
116	SLE	I [117]	-3089.90	0.00	431.23	0.00	394.94	0.00
116	SLE	J [118]	-3065.31	0.00	431.23	0.00	144.29	0.00
117	SLE	I [119]	-3040.72	0.00	232.05	0.00	-45.95	0.00
117	SLE	J [120]	-3016.12	0.00	232.05	0.00	-180.83	0.00
118	SLE	I [121]	-2991.53	0.00	67.69	0.00	-265.41	0.00
118	SLE	J [122]	-2966.93	0.00	67.69	0.00	-304.75	0.00
119	SLE	I [123]	-2942.34	0.00	-61.85	0.00	-303.92	0.00

119	SLE	J[124]	-2917.74	0.00	-61.85	0.00	-267.96	0.00
120	SLE	I[125]	-2893.15	0.00	-156.57	0.00	-201.95	0.00
120	SLE	J[126]	-2868.56	0.00	-156.57	0.00	-110.95	0.00
121	SLE	I[109]	-3114.50	0.00	543.88	0.00	711.06	0.00
121	SLE	J[117]	-3089.90	0.00	543.88	0.00	394.94	0.00
122	SLE	I[118]	-3065.31	0.00	327.29	0.00	144.29	0.00
122	SLE	J[119]	-3040.72	0.00	327.29	0.00	-45.95	0.00
123	SLE	I[120]	-3016.12	0.00	145.52	0.00	-180.83	0.00
123	SLE	J[121]	-2991.53	0.00	145.52	0.00	-265.41	0.00
124	SLE	I[122]	-2966.93	0.00	-1.43	0.00	-304.75	0.00
124	SLE	J[123]	-2942.34	0.00	-1.43	0.00	-303.92	0.00
125	SLE	I[124]	-2917.74	0.00	-113.56	0.00	-267.96	0.00
125	SLE	J[125]	-2893.15	0.00	-113.56	0.00	-201.95	0.00
126	SLE	I[126]	-2868.56	0.00	-190.87	0.00	-110.95	0.00
126	SLE	J[110]	-2843.96	0.00	-190.87	0.00	0.00	0.00
127	SLE	I[111]	-2975.85	0.00	-0.00	0.00	1724.91	0.00
127	SLE	J[113]	-2975.85	0.00	574.97	0.00	0.00	0.00
128	SLE	I[116]	-2664.64	0.00	0.00	0.00	1024.92	0.00
128	SLE	J[115]	-2664.64	0.00	443.21	0.00	0.00	0.00
111	SLU	I[108]	-1135.91	0.00	763.81	0.00	1069.23	0.00
111	SLU	J[109]	-1106.40	0.00	763.81	0.00	625.27	0.00
112	SLU	I[110]	-282.69	0.00	-781.75	0.00	0.00	0.00
112	SLU	J[111]	-282.69	0.00	-0.00	0.00	2345.29	0.00
113	SLU	I[112]	-2430.63	0.00	163.89	0.00	1143.14	0.00
113	SLU	J[113]	-1384.38	0.00	163.89	0.00	0.00	0.00

114	SLU	I [114]	-1580.86	0.00	118.79	0.00	828.59	0.00
114	SLU	J [115]	-602.61	0.00	118.79	0.00	0.00	0.00
115	SLU	I [113]	-118.79	0.00	-602.61	0.00	0.00	0.00
115	SLU	J [116]	-118.79	0.00	0.00	0.00	1393.54	0.00
116	SLU	I [117]	-1076.88	0.00	481.81	0.00	266.64	0.00
116	SLU	J [118]	-1047.37	0.00	481.81	0.00	-13.41	0.00
117	SLU	I [119]	-1017.86	0.00	242.79	0.00	-220.96	0.00
117	SLU	J [120]	-988.35	0.00	242.79	0.00	-362.09	0.00
118	SLU	I [121]	-958.83	0.00	45.56	0.00	-442.86	0.00
118	SLU	J [122]	-929.32	0.00	45.56	0.00	-469.34	0.00
119	SLU	I [123]	-899.81	0.00	-109.89	0.00	-447.61	0.00
119	SLU	J [124]	-870.29	0.00	-109.89	0.00	-383.74	0.00
120	SLU	I [125]	-840.78	0.00	-223.55	0.00	-283.80	0.00
120	SLU	J [126]	-811.27	0.00	-223.55	0.00	-153.86	0.00
121	SLU	I [109]	-1106.40	0.00	616.99	0.00	625.27	0.00
121	SLU	J [117]	-1076.88	0.00	616.99	0.00	266.64	0.00
122	SLU	I [118]	-1047.37	0.00	357.08	0.00	-13.41	0.00
122	SLU	J [119]	-1017.86	0.00	357.08	0.00	-220.96	0.00
123	SLU	I [120]	-988.35	0.00	138.96	0.00	-362.09	0.00
123	SLU	J [121]	-958.83	0.00	138.96	0.00	-442.86	0.00
124	SLU	I [122]	-929.32	0.00	-37.38	0.00	-469.34	0.00
124	SLU	J [123]	-899.81	0.00	-37.38	0.00	-447.61	0.00
125	SLU	I [124]	-870.29	0.00	-171.94	0.00	-383.74	0.00
125	SLU	J [125]	-840.78	0.00	-171.94	0.00	-283.80	0.00
126	SLU	I [126]	-811.27	0.00	-264.71	0.00	-153.86	0.00

126	SLU	J[110]	-781.75	0.00	-264.71	0.00	0.00	0.00
127	SLU	I[111]	-282.69	0.00	-0.00	0.00	2345.29	0.00
127	SLU	J[113]	-282.69	0.00	781.77	0.00	0.00	0.00
128	SLU	I[116]	-118.79	0.00	0.00	0.00	1393.54	0.00
128	SLU	J[115]	-118.79	0.00	602.61	0.00	0.00	0.00
111	NSLU_SS	I[108]	-924.10	0.00	658.92	0.00	1047.35	0.00
111	NSLU_SS	J[109]	-899.51	0.00	658.92	0.00	664.35	0.00
112	NSLU_SS	I[110]	-938.11	0.00	-628.97	0.00	0.00	0.00
112	NSLU_SS	J[111]	-938.11	0.00	0.00	0.00	1886.92	0.00
113	NSLU_SS	I[112]	-1985.68	0.00	543.88	0.00	3793.58	0.00
113	NSLU_SS	J[113]	-1113.81	0.00	543.88	0.00	0.00	0.00
114	NSLU_SS	I[114]	-1300.04	0.00	394.23	0.00	2749.73	0.00
114	NSLU_SS	J[115]	-484.83	0.00	394.23	0.00	0.00	0.00
115	NSLU_SS	I[113]	-394.23	0.00	-484.83	0.00	0.00	0.00
115	NSLU_SS	J[116]	-394.23	0.00	0.00	0.00	1121.18	0.00
116	NSLU_SS	I[117]	-874.92	0.00	423.92	0.00	352.47	0.00
116	NSLU_SS	J[118]	-850.32	0.00	423.92	0.00	106.07	0.00
117	NSLU_SS	I[119]	-825.73	0.00	224.74	0.00	-79.92	0.00
117	NSLU_SS	J[120]	-801.13	0.00	224.74	0.00	-210.55	0.00
118	NSLU_SS	I[121]	-776.54	0.00	60.38	0.00	-290.88	0.00
118	NSLU_SS	J[122]	-751.95	0.00	60.38	0.00	-325.98	0.00
119	NSLU_SS	I[123]	-727.35	0.00	-69.16	0.00	-320.90	0.00
119	NSLU_SS	J[124]	-702.76	0.00	-69.16	0.00	-280.70	0.00
120	NSLU_SS	I[125]	-678.16	0.00	-163.88	0.00	-210.45	0.00
120	NSLU_SS	J[126]	-653.57	0.00	-163.88	0.00	-115.19	0.00

121	NSLU_SS	I[109]	-899.51	0.00	536.57	0.00	664.35	0.00
121	NSLU_SS	J[117]	-874.92	0.00	536.57	0.00	352.47	0.00
122	NSLU_SS	I[118]	-850.32	0.00	319.98	0.00	106.07	0.00
122	NSLU_SS	J[119]	-825.73	0.00	319.98	0.00	-79.92	0.00
123	NSLU_SS	I[120]	-801.13	0.00	138.21	0.00	-210.55	0.00
123	NSLU_SS	J[121]	-776.54	0.00	138.21	0.00	-290.88	0.00
124	NSLU_SS	I[122]	-751.95	0.00	-8.74	0.00	-325.98	0.00
124	NSLU_SS	J[123]	-727.35	0.00	-8.74	0.00	-320.90	0.00
125	NSLU_SS	I[124]	-702.76	0.00	-120.87	0.00	-280.70	0.00
125	NSLU_SS	J[125]	-678.16	0.00	-120.87	0.00	-210.45	0.00
126	NSLU_SS	I[126]	-653.57	0.00	-198.18	0.00	-115.19	0.00
126	NSLU_SS	J[110]	-628.97	0.00	-198.18	0.00	0.00	0.00
127	NSLU_SS	I[111]	-938.11	0.00	0.00	0.00	1886.92	0.00
127	NSLU_SS	J[113]	-938.11	0.00	628.97	0.00	0.00	0.00
128	NSLU_SS	I[116]	-394.23	0.00	0.00	0.00	1121.18	0.00
128	NSLU_SS	J[115]	-394.23	0.00	484.83	0.00	0.00	0.00

< Displacements >

Node	Load	DX (mm)	DY (mm)	DZ (mm)	RX ([rad])	RY ([rad])	RZ ([rad])
108	G1_Str	0.000000	0.000000	0.000000	0.000000	0.000000	0.000000
109	G1_Str	0.000000	0.000000	-0.004060	0.000000	0.000000	0.000000
110	G1_Str	0.000000	0.000000	-0.032887	0.000000	0.000000	0.000000
111	G1_Str	0.000000	0.000000	-3.306446	0.000000	-0.000001	0.000000
112	G1_Str	0.000000	0.000000	0.000000	0.000000	0.000000	0.000000
113	G1_Str	0.000000	0.000000	-0.026630	0.000000	0.000000	0.000000

114	G1_Str	0.000000	0.000000	0.000000	0.000000	0.000000	0.000000
115	G1_Str	0.000000	0.000000	-0.021626	0.000000	0.000000	0.000000
116	G1_Str	0.000000	0.000000	-1.267921	0.000000	-0.000001	0.000000
117	G1_Str	0.000000	0.000000	-0.007879	0.000000	0.000000	0.000000
118	G1_Str	0.000000	0.000000	-0.011459	0.000000	0.000000	0.000000
119	G1_Str	0.000000	0.000000	-0.014799	0.000000	0.000000	0.000000
120	G1_Str	0.000000	0.000000	-0.017900	0.000000	0.000000	0.000000
121	G1_Str	0.000000	0.000000	-0.020760	0.000000	0.000000	0.000000
122	G1_Str	0.000000	0.000000	-0.023381	0.000000	0.000000	0.000000
123	G1_Str	0.000000	0.000000	-0.025762	0.000000	0.000000	0.000000
124	G1_Str	0.000000	0.000000	-0.027903	0.000000	0.000000	0.000000
125	G1_Str	0.000000	0.000000	-0.029804	0.000000	0.000000	0.000000
126	G1_Str	0.000000	0.000000	-0.031465	0.000000	0.000000	0.000000
108	G1_Sovr	0.000000	0.000000	0.000000	0.000000	0.000000	0.000000
109	G1_Sovr	0.000000	0.000000	-0.004831	0.000000	0.000000	0.000000
110	G1_Sovr	0.000000	0.000000	-0.057975	0.000000	0.000000	0.000000
111	G1_Sovr	0.000000	0.000000	-12.208021	0.000000	-0.000002	0.000000
112	G1_Sovr	0.000000	0.000000	0.000000	0.000000	0.000000	0.000000
113	G1_Sovr	0.000000	0.000000	-0.034753	0.000000	0.000000	0.000000
114	G1_Sovr	0.000000	0.000000	0.000000	0.000000	0.000000	0.000000
115	G1_Sovr	0.000000	0.000000	-0.016179	0.000000	0.000000	0.000000
116	G1_Sovr	0.000000	0.000000	-4.641945	0.000000	-0.000002	0.000000
117	G1_Sovr	0.000000	0.000000	-0.009663	0.000000	0.000000	0.000000
118	G1_Sovr	0.000000	0.000000	-0.014494	0.000000	0.000000	0.000000
119	G1_Sovr	0.000000	0.000000	-0.019325	0.000000	0.000000	0.000000

120	G1_Sovr	0.000000	0.000000	-0.024156	0.000000	0.000000	0.000000
121	G1_Sovr	0.000000	0.000000	-0.028988	0.000000	0.000000	0.000000
122	G1_Sovr	0.000000	0.000000	-0.033819	0.000000	0.000000	0.000000
123	G1_Sovr	0.000000	0.000000	-0.038650	0.000000	0.000000	0.000000
124	G1_Sovr	0.000000	0.000000	-0.043481	0.000000	0.000000	0.000000
125	G1_Sovr	0.000000	0.000000	-0.048313	0.000000	0.000000	0.000000
126	G1_Sovr	0.000000	0.000000	-0.053144	0.000000	0.000000	0.000000
108	G2_Spinte	0.000000	0.000000	0.000000	0.000000	0.000000	0.000000
109	G2_Spinte	0.074836	0.000000	0.000000	0.000000	0.000180	0.000000
110	G2_Spinte	0.375897	0.000000	0.000000	0.000000	-0.000287	0.000000
111	G2_Spinte	0.327327	0.000000	0.000000	0.000000	0.000000	0.000000
112	G2_Spinte	0.000000	0.000000	0.000000	0.000000	0.000000	0.000000
113	G2_Spinte	0.278757	0.000000	0.000000	0.000000	0.000057	0.000000
114	G2_Spinte	0.000000	0.000000	0.000000	0.000000	0.000000	0.000000
115	G2_Spinte	0.245452	0.000000	0.000000	0.000000	0.000050	0.000000
116	G2_Spinte	0.262104	0.000000	0.000000	0.000000	0.000000	0.000000
117	G2_Spinte	0.225315	0.000000	0.000000	0.000000	0.000275	0.000000
118	G2_Spinte	0.407224	0.000000	0.000000	0.000000	0.000302	0.000000
119	G2_Spinte	0.586049	0.000000	0.000000	0.000000	0.000277	0.000000
120	G2_Spinte	0.736245	0.000000	0.000000	0.000000	0.000215	0.000000
121	G2_Spinte	0.840479	0.000000	0.000000	0.000000	0.000129	0.000000
122	G2_Spinte	0.888883	0.000000	0.000000	0.000000	0.000032	0.000000
123	G2_Spinte	0.878300	0.000000	0.000000	0.000000	-0.000065	0.000000
124	G2_Spinte	0.811537	0.000000	0.000000	0.000000	-0.000154	0.000000
125	G2_Spinte	0.696613	0.000000	0.000000	0.000000	-0.000225	0.000000

126	G2_Spinte	0.546003	0.000000	0.000000	0.000000	-0.000271	0.000000
108	P	0.000000	0.000000	0.000000	0.000000	0.000000	0.000000
109	P	0.015787	0.000000	-0.021423	0.000000	0.000051	0.000000
110	P	1.486435	0.000000	-0.257073	0.000000	0.000318	0.000000
111	P	0.921443	0.000000	1.641262	0.000000	-0.000022	0.000000
112	P	0.000000	0.000000	0.000000	0.000000	0.000000	0.000000
113	P	0.356451	0.000000	0.005050	0.000000	0.000072	0.000000
114	P	0.000000	0.000000	0.000000	0.000000	0.000000	0.000000
115	P	-0.506696	0.000000	-0.093768	0.000000	-0.000104	0.000000
116	P	-0.075122	0.000000	0.626479	0.000000	0.000011	0.000000
117	P	0.059769	0.000000	-0.042845	0.000000	0.000097	0.000000
118	P	0.129383	0.000000	-0.064268	0.000000	0.000139	0.000000
119	P	0.222067	0.000000	-0.085691	0.000000	0.000176	0.000000
120	P	0.335256	0.000000	-0.107114	0.000000	0.000209	0.000000
121	P	0.466389	0.000000	-0.128536	0.000000	0.000238	0.000000
122	P	0.612900	0.000000	-0.149959	0.000000	0.000262	0.000000
123	P	0.772227	0.000000	-0.171382	0.000000	0.000282	0.000000
124	P	0.941808	0.000000	-0.192805	0.000000	0.000298	0.000000
125	P	1.119078	0.000000	-0.214227	0.000000	0.000309	0.000000
126	P	1.301475	0.000000	-0.235650	0.000000	0.000315	0.000000
108	SN	0.000000	0.000000	0.000000	0.000000	0.000000	0.000000
109	SN	0.000000	0.000000	-0.000176	0.000000	0.000000	0.000000
110	SN	0.000000	0.000000	-0.002106	0.000000	0.000000	0.000000
111	SN	0.000000	0.000000	-0.443503	0.000000	-0.000000	0.000000
112	SN	0.000000	0.000000	0.000000	0.000000	0.000000	0.000000

113	SN	0.000000	0.000000	-0.001263	0.000000	0.000000	0.000000
114	SN	0.000000	0.000000	0.000000	0.000000	0.000000	0.000000
115	SN	0.000000	0.000000	-0.000588	0.000000	0.000000	0.000000
116	SN	0.000000	0.000000	-0.168634	0.000000	-0.000000	0.000000
117	SN	0.000000	0.000000	-0.000351	0.000000	0.000000	0.000000
118	SN	0.000000	0.000000	-0.000527	0.000000	0.000000	0.000000
119	SN	0.000000	0.000000	-0.000702	0.000000	0.000000	0.000000
120	SN	0.000000	0.000000	-0.000878	0.000000	0.000000	0.000000
121	SN	0.000000	0.000000	-0.001053	0.000000	0.000000	0.000000
122	SN	0.000000	0.000000	-0.001229	0.000000	0.000000	0.000000
123	SN	0.000000	0.000000	-0.001404	0.000000	0.000000	0.000000
124	SN	0.000000	0.000000	-0.001580	0.000000	0.000000	0.000000
125	SN	0.000000	0.000000	-0.001755	0.000000	0.000000	0.000000
126	SN	0.000000	0.000000	-0.001931	0.000000	0.000000	0.000000
108	SS	0.000000	0.000000	0.000000	0.000000	0.000000	0.000000
109	SS	0.009334	0.000000	0.000000	0.000000	0.000030	0.000000
110	SS	0.878896	0.000000	0.000000	0.000000	0.000188	0.000000
111	SS	0.845153	0.000000	0.000000	0.000000	0.000000	0.000000
112	SS	0.000000	0.000000	0.000000	0.000000	0.000000	0.000000
113	SS	0.811409	0.000000	0.000000	0.000000	0.000165	0.000000
114	SS	0.000000	0.000000	0.000000	0.000000	0.000000	0.000000
115	SS	0.768152	0.000000	0.000000	0.000000	0.000157	0.000000
116	SS	0.789781	0.000000	0.000000	0.000000	0.000000	0.000000
117	SS	0.035340	0.000000	0.000000	0.000000	0.000057	0.000000
118	SS	0.076502	0.000000	0.000000	0.000000	0.000082	0.000000

119	SS	0.131303	0.000000	0.000000	0.000000	0.000104	0.000000
120	SS	0.198230	0.000000	0.000000	0.000000	0.000124	0.000000
121	SS	0.275765	0.000000	0.000000	0.000000	0.000141	0.000000
122	SS	0.362394	0.000000	0.000000	0.000000	0.000155	0.000000
123	SS	0.456601	0.000000	0.000000	0.000000	0.000167	0.000000
124	SS	0.556871	0.000000	0.000000	0.000000	0.000176	0.000000
125	SS	0.661687	0.000000	0.000000	0.000000	0.000183	0.000000
126	SS	0.769534	0.000000	0.000000	0.000000	0.000186	0.000000
108	SLE	0.000000	0.000000	0.000000	0.000000	0.000000	0.000000
109	SLE	0.090622	0.000000	-0.030489	0.000000	0.000231	0.000000
110	SLE	1.862332	0.000000	-0.350041	0.000000	0.000030	0.000000
111	SLE	1.248770	0.000000	-14.316707	0.000000	-0.000024	0.000000
112	SLE	0.000000	0.000000	0.000000	0.000000	0.000000	0.000000
113	SLE	0.635208	0.000000	-0.057595	0.000000	0.000129	0.000000
114	SLE	0.000000	0.000000	0.000000	0.000000	0.000000	0.000000
115	SLE	-0.261244	0.000000	-0.132160	0.000000	-0.000053	0.000000
116	SLE	0.186982	0.000000	-5.452022	0.000000	0.000008	0.000000
117	SLE	0.285084	0.000000	-0.060738	0.000000	0.000372	0.000000
118	SLE	0.536607	0.000000	-0.090748	0.000000	0.000441	0.000000
119	SLE	0.808116	0.000000	-0.120517	0.000000	0.000454	0.000000
120	SLE	1.071502	0.000000	-0.150047	0.000000	0.000425	0.000000
121	SLE	1.306868	0.000000	-0.179337	0.000000	0.000368	0.000000
122	SLE	1.501783	0.000000	-0.208387	0.000000	0.000295	0.000000
123	SLE	1.650527	0.000000	-0.237198	0.000000	0.000217	0.000000
124	SLE	1.753345	0.000000	-0.265768	0.000000	0.000144	0.000000

125	SLE	1.815691	0.000000	-0.294099	0.000000	0.000084	0.000000
126	SLE	1.847478	0.000000	-0.322190	0.000000	0.000044	0.000000

9.2 AFFIDABILITA' DEL CODICE DI CALCOLO MIDAS GEN

La documentazione fornita dal produttore e/o dal distributore del software contiene una esaurente descrizione delle basi teoriche e degli algoritmi impiegati, l'individuazione dei campi d'impiego, nonché casi prova interamente risolti e commentati, per i quali sono forniti i file di input necessari a riprodurre l'elaborazione.

A tal proposito si riporta la seconda pagina dell'Indice del Verification Examples:

Introduction

Gen Verification Examples contain the verified results of various program functions.

Each example entails a general verification process which confirms the validity of the structural analysis results. These results are compared with theoretical results and the results based on recognized technical reports. Each example is also compared with other similar programs results in this manual.

This manual consists of Title, Description, Model, Results and Comparison of Results of each example with brief explanations.

The references list publications at the end of each example and include lists of other analysis programs used to verify the examples.

Other programs used are as follows:

ADINA

ADINA R&D Inc.

ANSYS

ANSYS Inc.

ETABS

Computers and Structures, Inc.

MSC/NASTRAN

MSC. Software Co. Ltd.

NISA II

Engineering Mechanics Research Corporation

SAP2000

Computers and Structures, Inc.

STAAD/PRO

Research Engineers, Inc.

Relatively small magnitude of structural programs are illustrated in this manual in order to example specific capabilities of the program.

Per il programma di calcolo Midas Gen, il progettista ha esaminato preliminarmente la documentazione a corredo dei software e ne ha valutato l'affidabilità e l'idoneità al caso specifico.